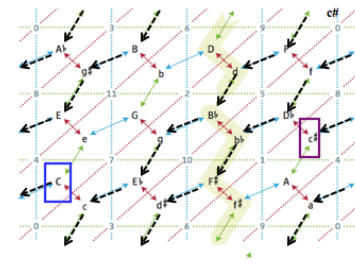


Journées LAC – GeoCal



Laboratoire d'Informatique de l'Ecole Polytechnique

24-25 novembre 2011

Outils algébriques et représentations géométriques en
musicologie computationnelle :

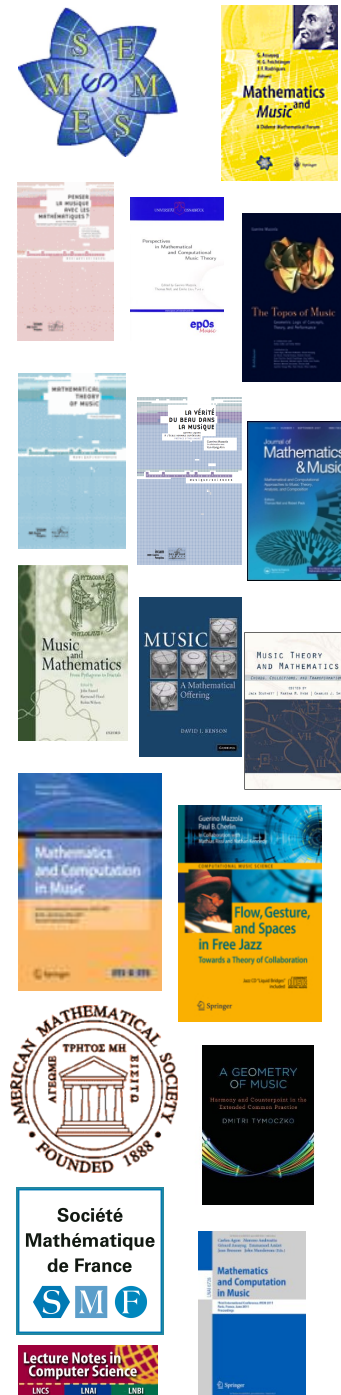
le paradigme de la programmation spatiale et ses
applications en informatique musicale

C. Agon, M. Andreatta, L. Bigo, J.-L. Giavitto, O. Michel, A. Spicher
Equipe Représentations Musicales (IRCAM/CNRS/UPMC)

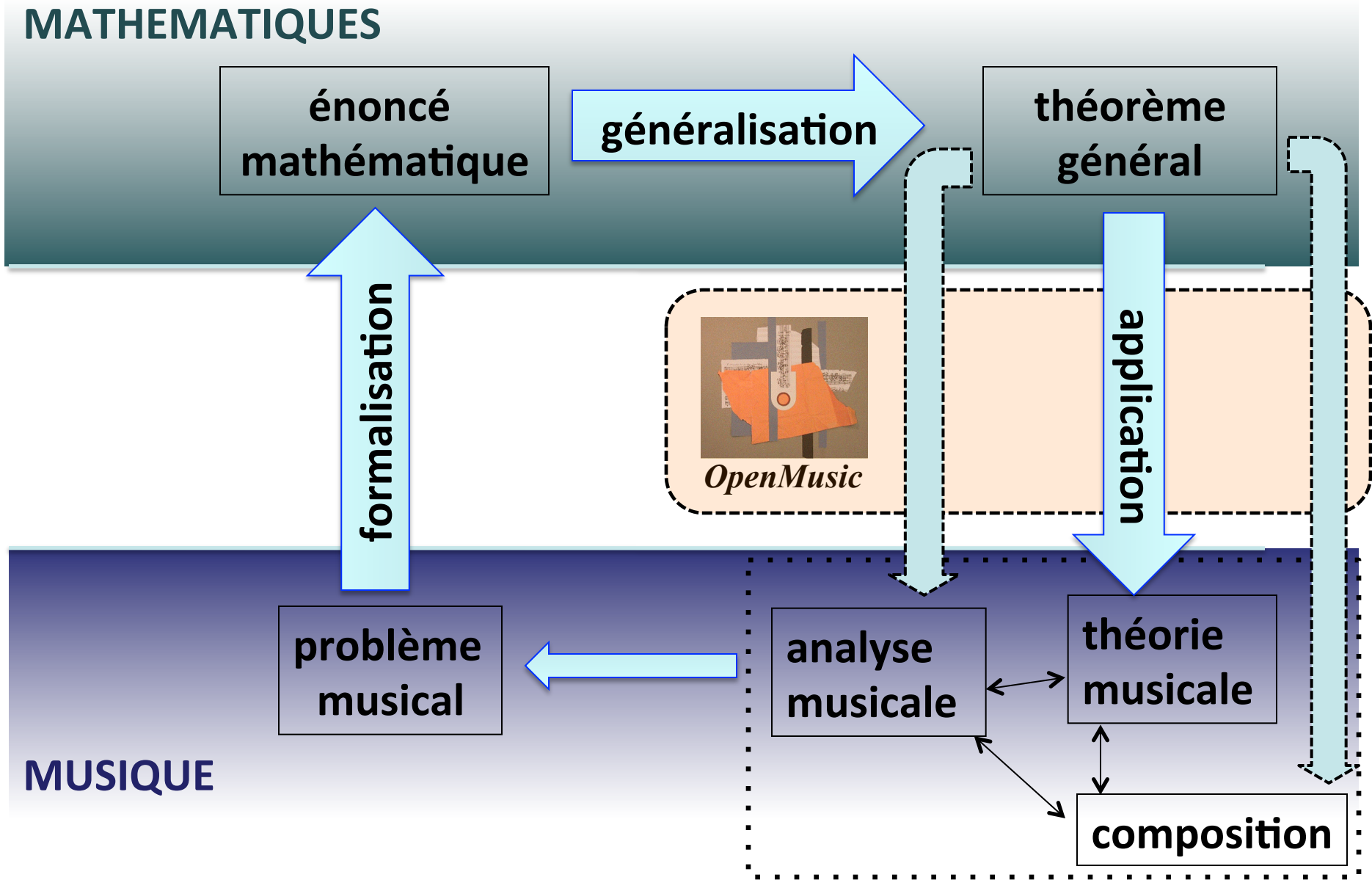
Laboratoire d'Algorithmique, Complexité et Logique (lacl, Université Paris-Est, Creteil)

Mathématiques/Musique...une histoire récente!

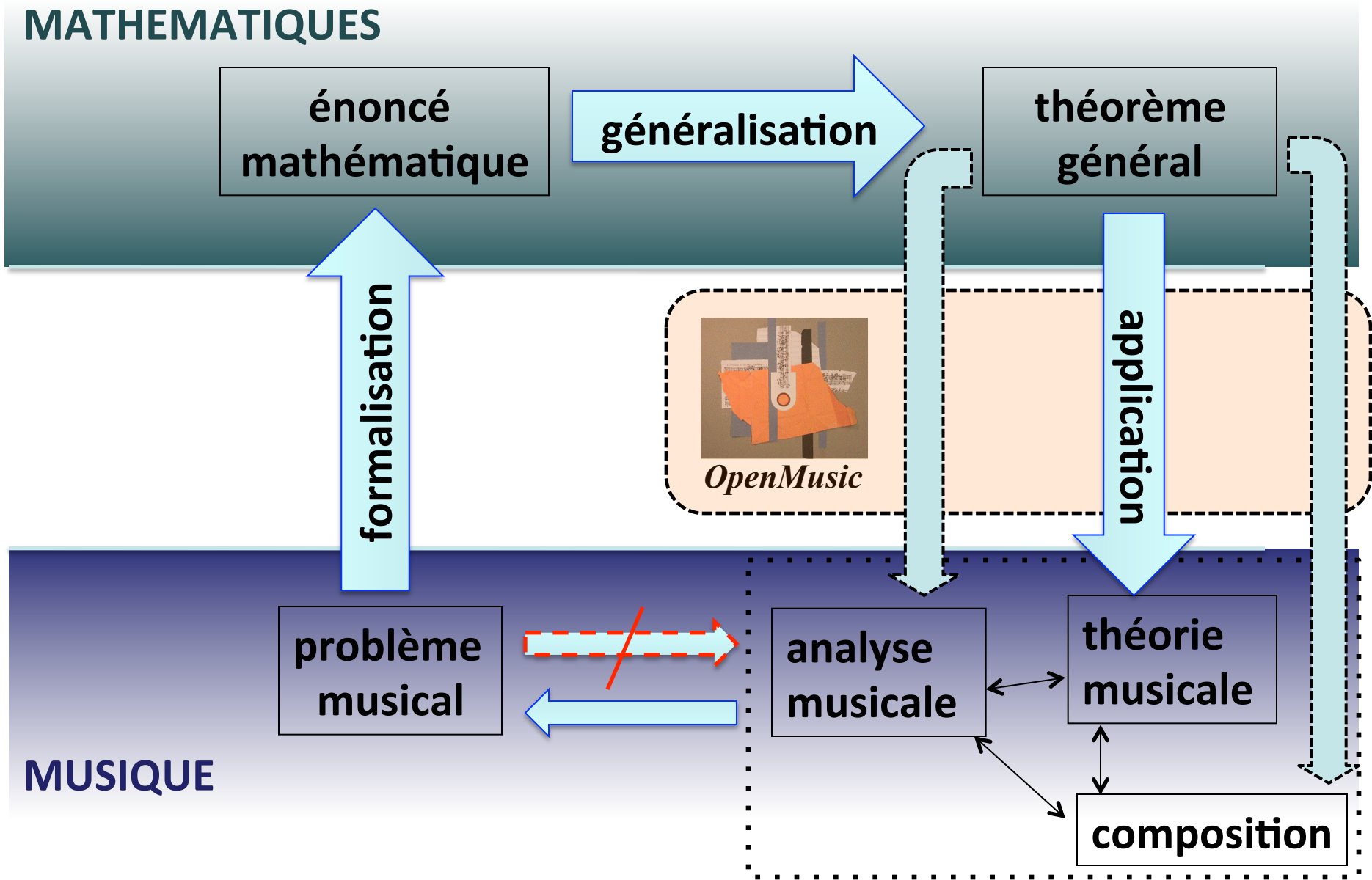
- 1999 : 4^e Forum Diderot (Paris, Vienne, Lisbonne), *Mathematics and Music* (G. Assayag, H.G. Feichtinger, J.F. Rodrigues, Springer, 2001)
- 2000-2001 : Séminaire *MaMuPhi*, *Penser la musique avec les mathématiques ?* (Assayag, Mazzola, Nicolas édés., Coll. « M/S », Ircam/Delatour, 2006)
- 2000-2003 : International Seminar on *MaMuTh* (*Perspectives in Mathematical and Computational Music Theory*) (Mazzola, Noll, Luis-Puebla eds, epOs, 2004)
- 2003 : *The Topos of Music* (G. Mazzola et al.)
- 2003 : *Music and Mathematics. From Pythagoras to Fractals* (J. Fauvel et al.)
- 2001 - 2011 : Séminaire *MaMuX* de l'Ircam
- 2004 - 2011 : Séminaire *mamuphi* (Ens/Ircam)
- 2006 : *Mathematical Theory of Music* (F. Jędrzejewski), Coll. « M/S »
- 2007 : *La vérité du beau dans la musique* (G. Mazzola), Coll. « Musique/Sciences »
- 2007 : *Journal of Mathematics and Music* (Taylor & Francis) et MCM 2007
- 2007 : *Music. A Mathematical Offering* (Dave Benson), CUP
- 2008 : *Music Theory and Mathematics* (Jack Douthett et al.), URP
- 2009 : *Computational Music Science Series* (Springer)
- 2009 : MCM 2009 (Yale) et Proceedings chez Springer
- 2010 : Mathematics Subject Classification : 00A65 Mathematics and music
- 2011 : Conférence de la SMCM (Ircam, 15-17 juin 2011)



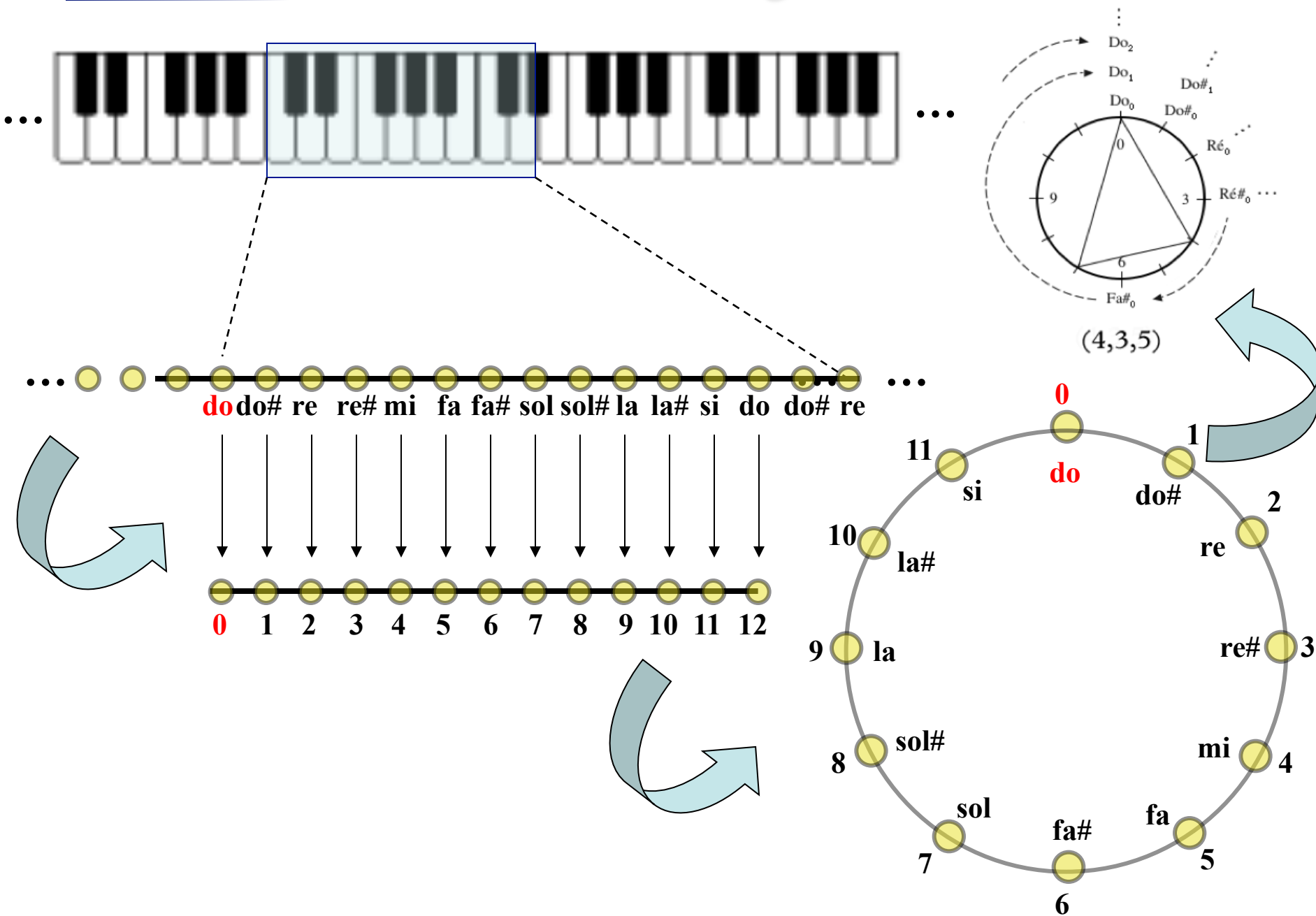
Double mouvement d'une dynamique mathémusicale



Double mouvement d'une dynamique mathémusicale



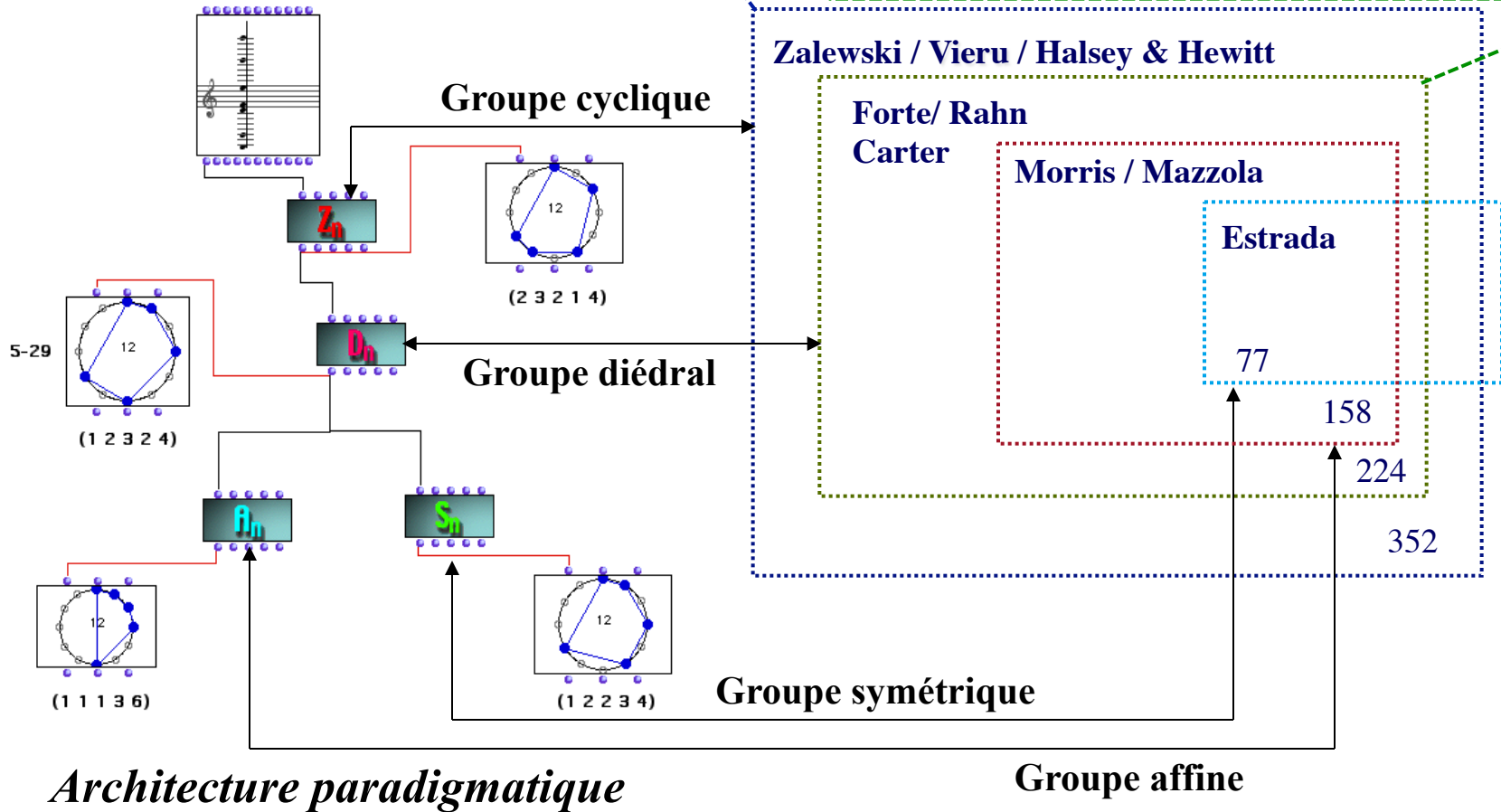
Réduction à l'octave et congruence modulo 12



Classification paradigmatique des structures musicales

$$\# \text{ of } k\text{-chords} = \frac{1}{n} \sum_{j|(n,k)} \phi(j) \binom{n/j}{k/j} = \frac{1}{n} \Phi_n(k)$$

$$\# \text{ of } k\text{-chords} = \begin{cases} \frac{1}{2n} \left[\Phi_n(k) + n \binom{(n-1)/2}{[k/2]} \right], & \text{if } n \text{ is odd,} \\ \frac{1}{2n} \left[\Phi_n(k) + n \binom{n/2}{k/2} \right], & \text{if } n \text{ is even and } k \text{ is even,} \\ \frac{1}{2n} \left[\Phi_n(k) + n \binom{(n/2)-1}{[k/2]} \right], & \text{if } n \text{ is even and } k \text{ is odd.} \end{cases}$$

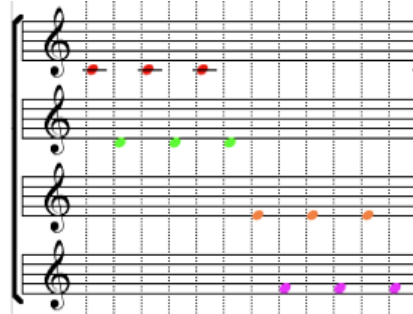
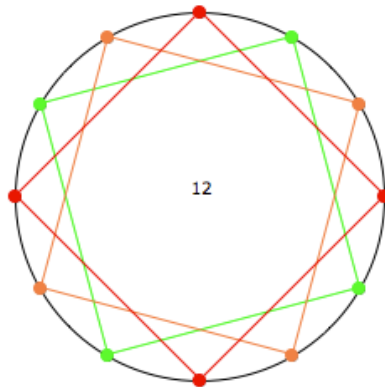


- D. Halsey & E. Hewitt: « Eine gruppentheoretische Methode in der Musik-theorie », *Jahresber. Der Dt. Math.-Vereinigung*, 80, 1978.
- D. Reiner: « Enumeration in Music Theory », *Amer. Math. Month.* 92:51-54, 1985
- R.C. Read: « Combinatorial problems in the theory of music », *Discrete Math.*, 1997
- H. Friepfänger: « Enumeration of mosaics », *Discrete Math.*, 1999

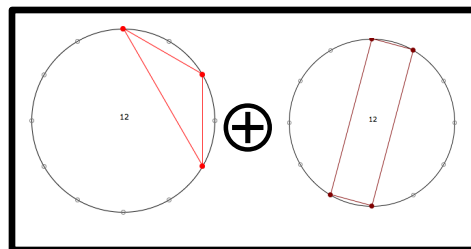
Factorisations de groupes et canons rythmiques mosaïques

$$A < \mathbb{Z}_n$$

$$B < \mathbb{Z}_n$$

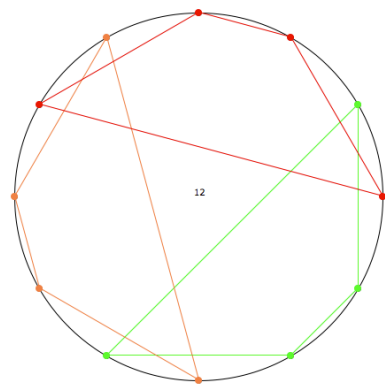


$$\mathbb{Z}_n = A \oplus B$$



$$A \subset \mathbb{Z}_n$$

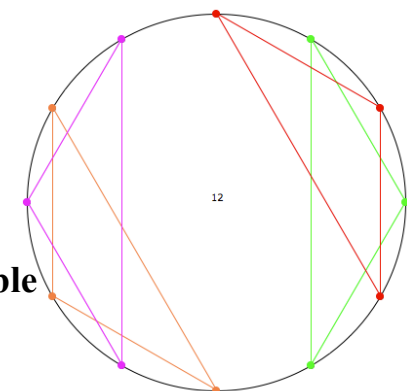
$$B < \mathbb{Z}_n$$



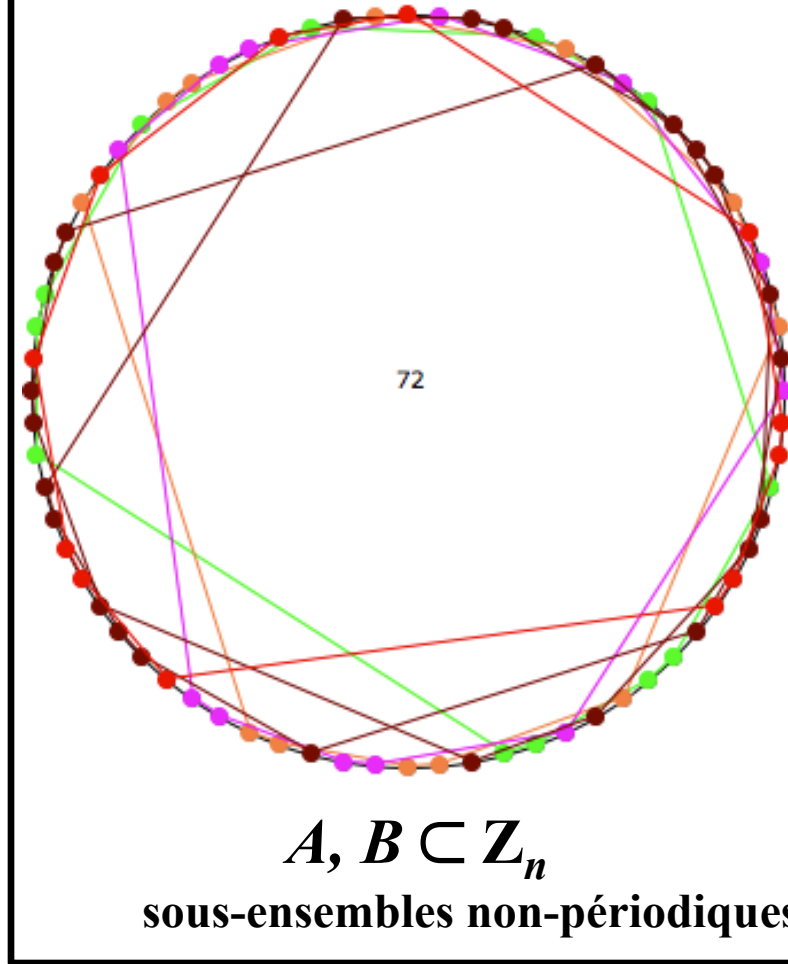
$$A \subset \mathbb{Z}_n$$

$$B \subset \mathbb{Z}_n$$

sous-ensemble
périodique



Canon de Vuza



$$A, B \subset \mathbb{Z}_n$$

sous-ensembles non-périodiques

Canons mosaïques et conjecture spectrale

La conjecture de Fuglede (1974)

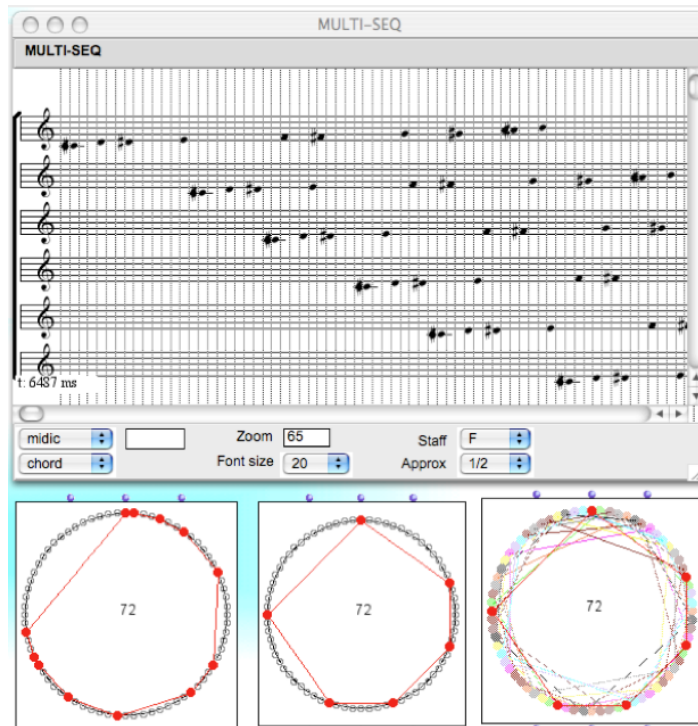


Un sous-ensemble de \mathbb{R}^n pave par translation ssi il est spectral (i.e. il admet une décomposition hilbertienne d'exponentiels complexes)

J. Func. Anal. 16, 1974.

Fausse en dim. $n \geq 3$

Ouverte en dim. 1 et 2



Canons de Vuza de période n

72

108 120 144 168 180

200 216 240 252 264 270 280 288

300 312 324 336 360 378 392 396

400 408 432 440 450 456 468 480

500 504 520 528 540 552 560 576 588 594

600 612 616 624 648 672 675 680 684 696

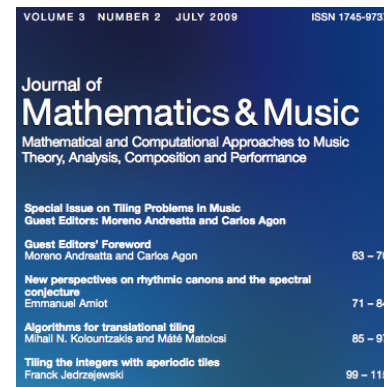
700 702 720 728 744 750 756 760 784 792

800 810 816 828 864 880 882 888...

Résultat (Amiot 2009) :

Si A pave mais il n'est pas spectral

$\Rightarrow A$ est le rythme d'un canon de Vuza

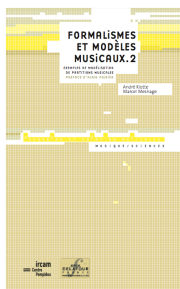
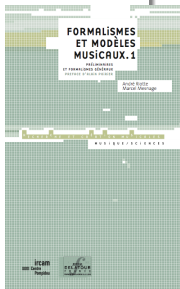
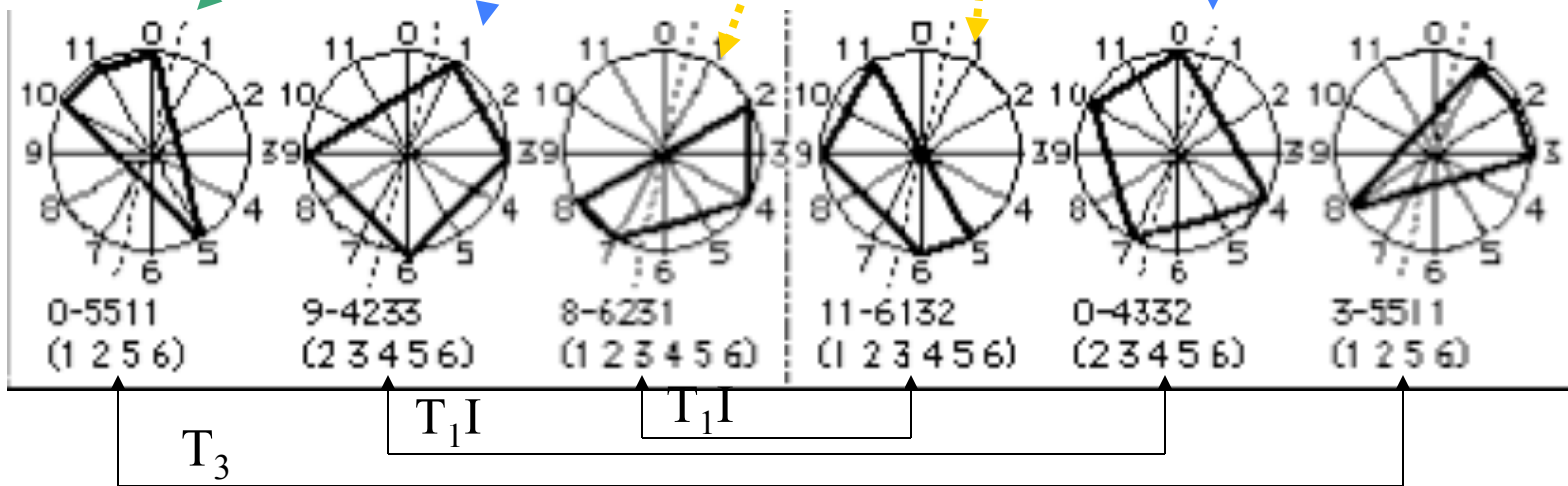
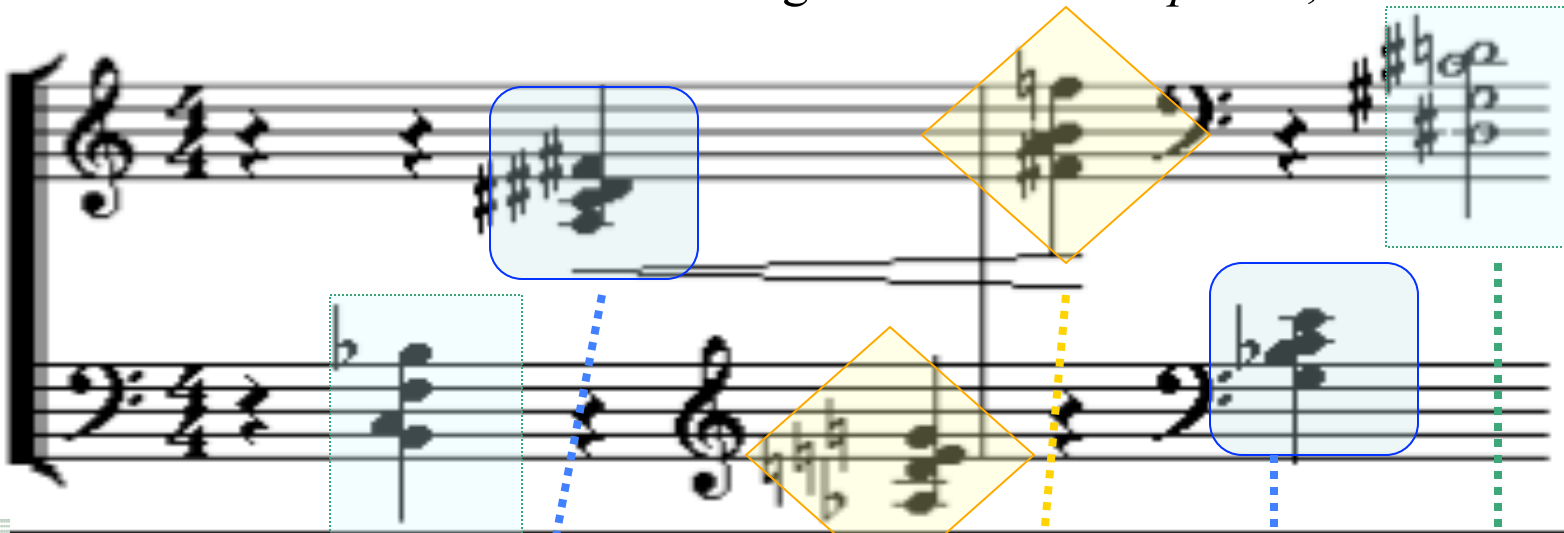


PROBLEME OUVERT : Trouver un algorithme qui permet d'obtenir toutes les factorisations d'un groupe cyclique non-Hajos en somme directe de deux sous-ensembles non périodiques (i.e. classifier tous les Canons de Vuza)

L'analyse formalisée ou les entités formelles en musique

André Riotte & Marcel Mesnage

A. Schoenberg : *Klavierstück Op. 33a*, 1929

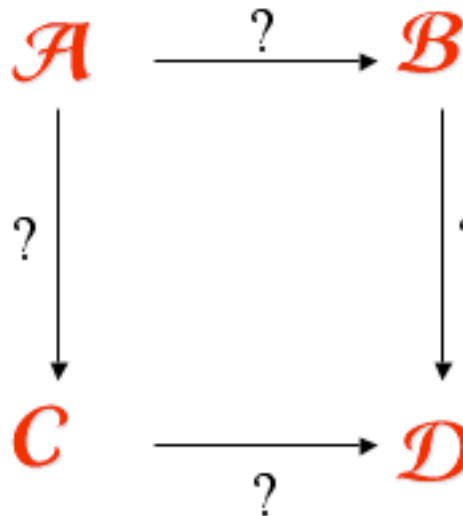


Klumpenhower Networks (K-réseaux) : isographies positives et récursivité

David Lewin: «A Tutorial on K-nets using the Chorale in Schoenberg's Op.11, N°2 », JMT, 1994

$$\langle T_k \rangle : T_m \rightarrow T_m$$

$$I_m \rightarrow I_{k+m}$$



mi $\xrightarrow{T_5}$ la

$I_{10} \updownarrow$ **a** $\downarrow I_7$

fa# $\xrightarrow{T_4}$ sib

$\langle T_7 \rangle$

si $\xrightarrow{T_5}$ mi

$I_5 \updownarrow$ **b** $\downarrow I_2$

fa# $\xrightarrow{T_4}$ sib

A

$\langle T_2 \rangle$

$\langle T_3 \rangle$

la $\xrightarrow{T_5}$ ré

$I_0 \updownarrow$ **c** $\downarrow I_9$

mib $\xrightarrow{T_4}$ sol

$\langle T_8 \rangle$

la $\xrightarrow{T_5}$ ré

$I_8 \updownarrow$ **d** $\downarrow I_5$

si $\xrightarrow{T_4}$ mib



Segmentation par « imbrication »: progression transformationnelle

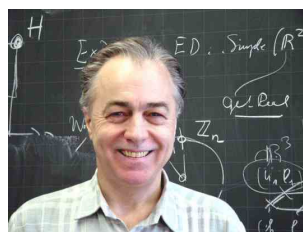
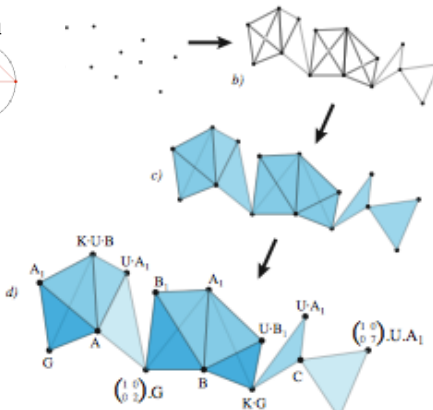
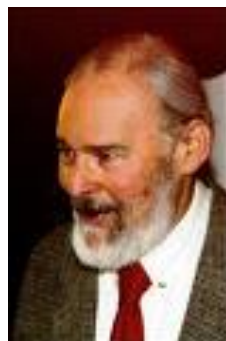
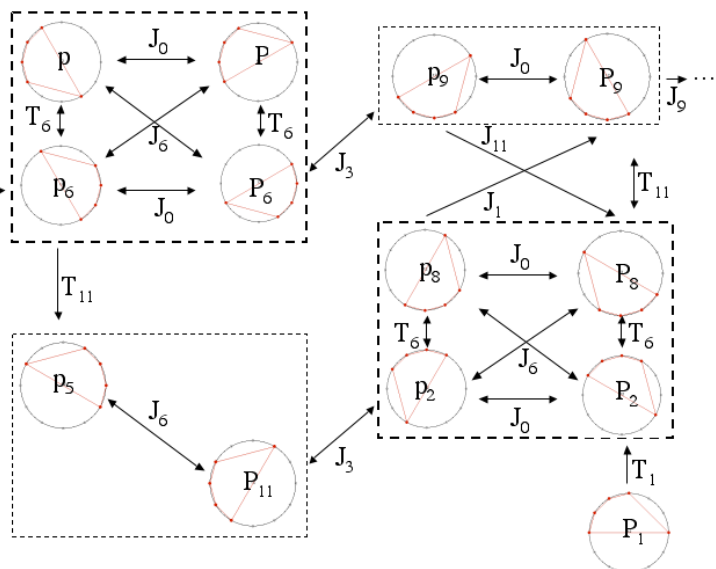
Stockhausen: *Klavierstück III* (Analyse de D. Lewin)

Musical score for Klavierstück III, measures 1-4. The score is in 4/8, 5/8, and 3/8 time signatures. The first measure is in 4/8 with dynamics *p*, *p*, *p*, *mf*. The second measure is in 5/8 with dynamics *f*, *f*, *mf*, *p*. The third measure is in 3/8 with dynamics *p*, *mf*. The score includes various rhythmic markings such as $\overbrace{3}$, $\overbrace{3}$, $\overbrace{5}$, and $\overbrace{3}$.

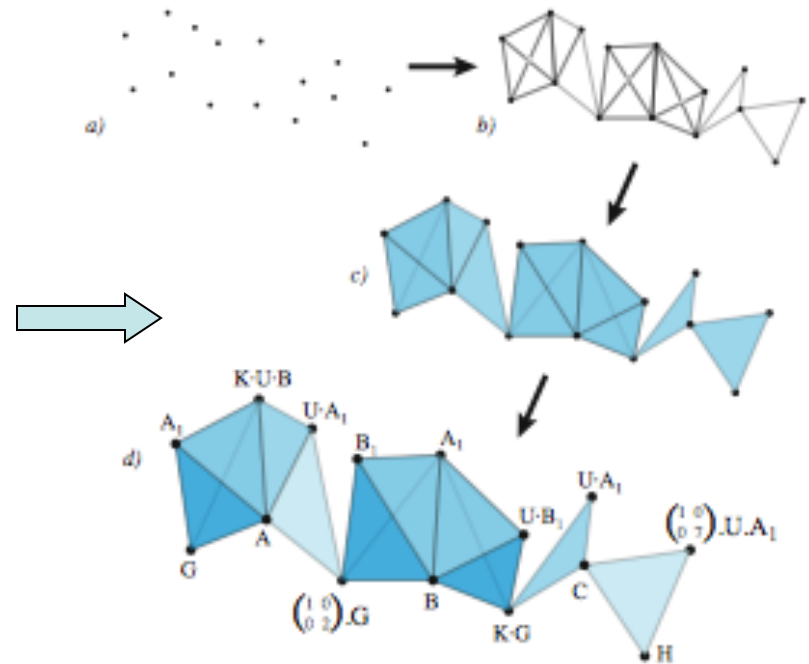
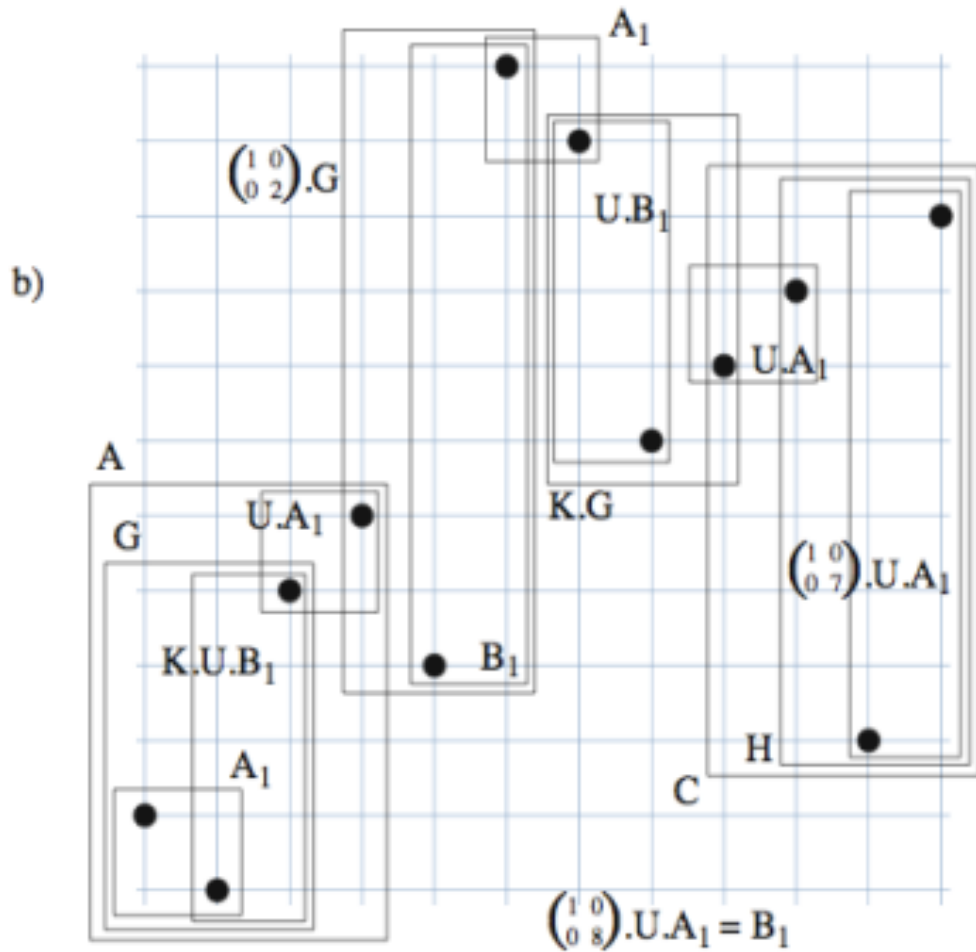
Diagram illustrating the transformational progression of the music. The top part shows a musical score with boxes highlighting specific segments. Arrows point from these boxes to a sequence of five circular diagrams representing transformations. The diagrams are labeled T_7I , T_6 , T_7I , $T_{10}I$, and $T_{10}I$. The diagrams show the evolution of a set of notes (represented by dots on a circle) through a series of transformations, with dashed lines indicating the movement of notes between stages.

Vers une modélisation informatique de l'analyse transformationnelle

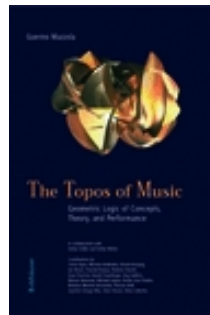
YunKang Ahn, L'analyse musicale computationnelle, thèse, Université de Paris VI / Ircam, déc 2009

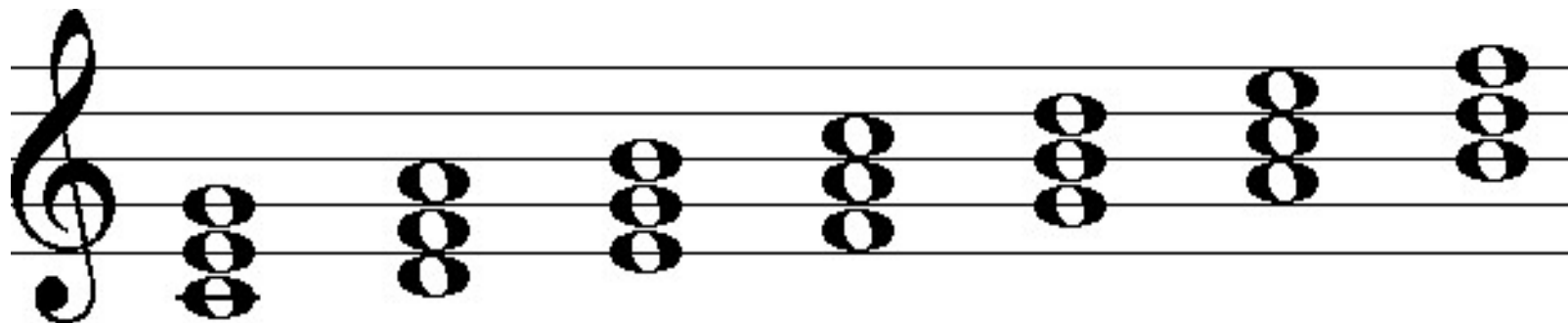


Nerf topologique et analyse musicale



G. Mazzola : *The Topos of Music*,
 ch. 13 - "What are
 global compositions ?"





I

II

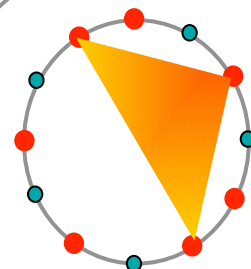
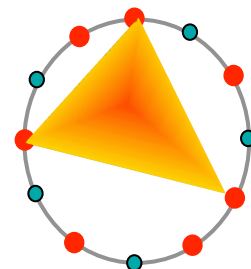
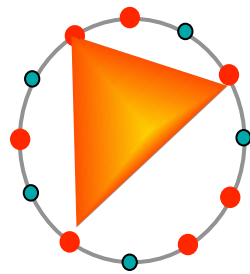
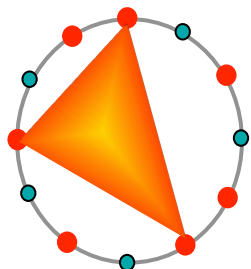
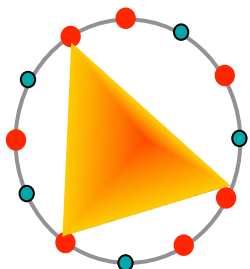
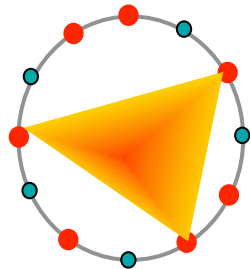
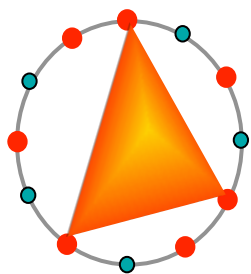
III

IV

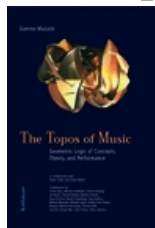
V

VI

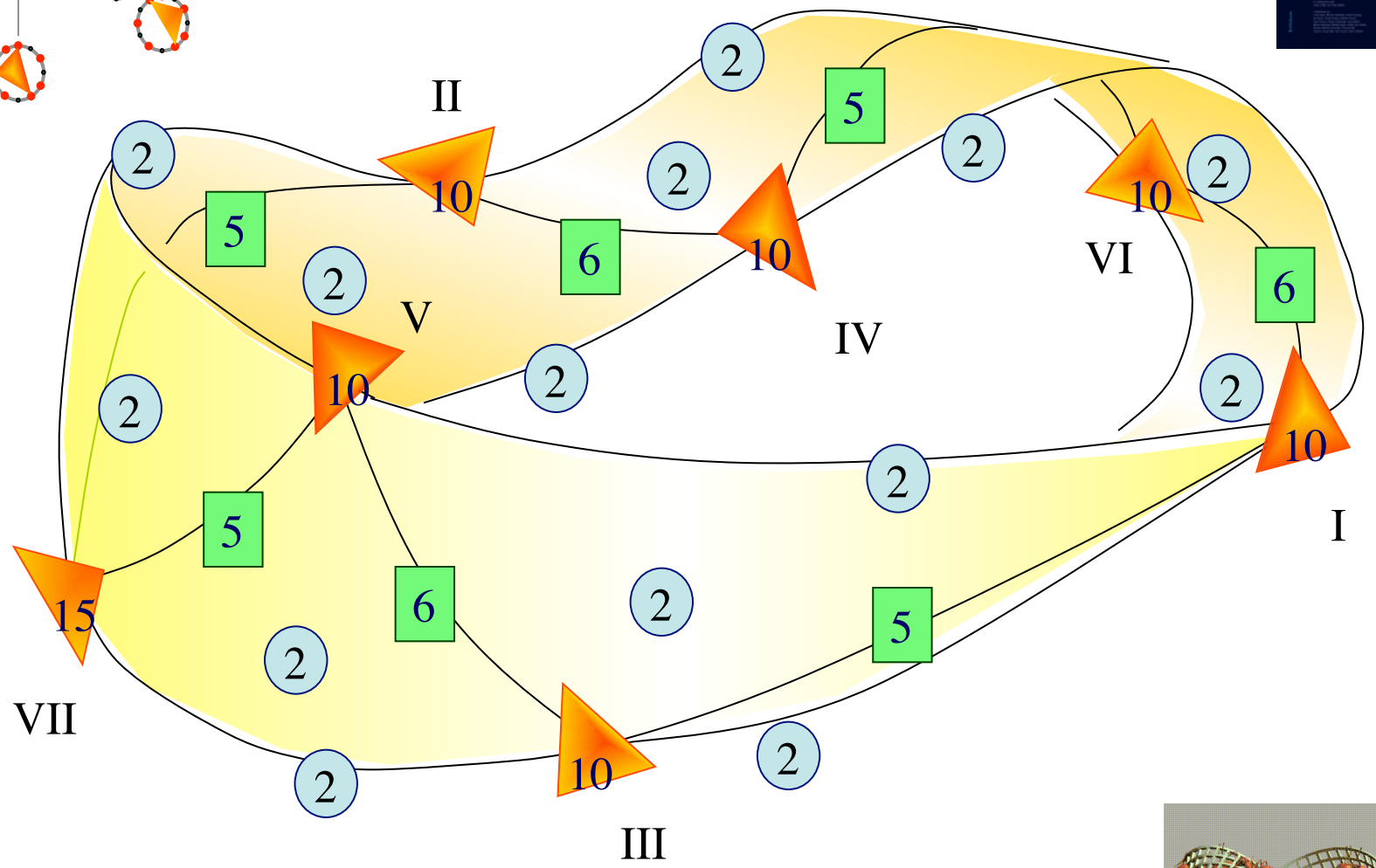
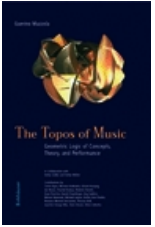
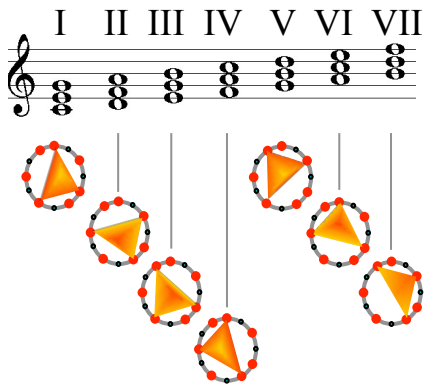
VII



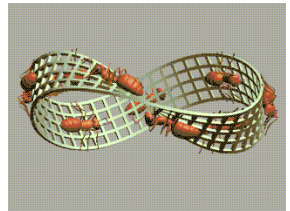
Un atlas pour la gamme diatonique...



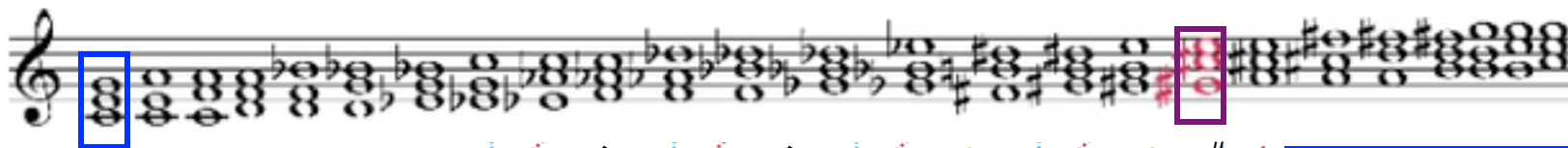
G. Mazzola, *The Topos of Music*



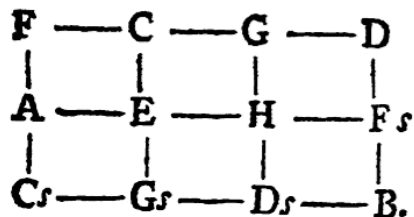
...et le nerf topologique associé



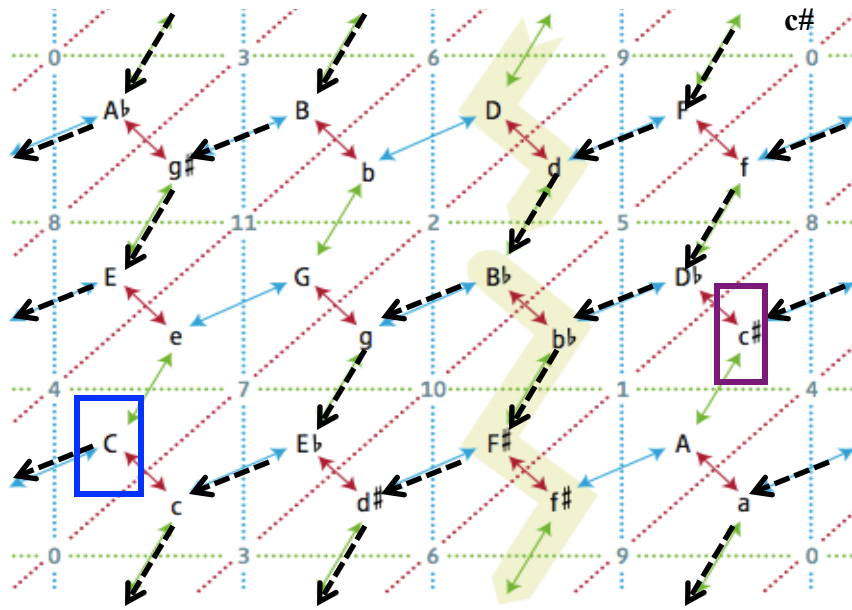
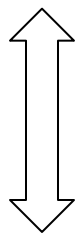
Du réseau d'Euler à la programmation spatiale



C



Euler : *Speculum musicum*, 1773



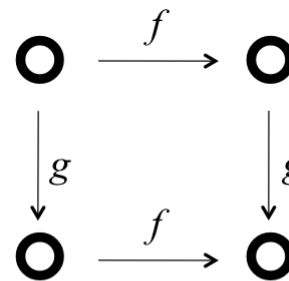
$$\rho = \langle L, R \mid L^2 = (LR)^{12} = 1 \rangle$$

$$LRL = L(LR)^{-1}$$

↕ dualité

$$D_{12} = \langle I, T \mid I^2 = T^{12} = 1 \rangle$$

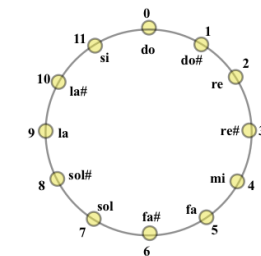
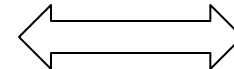
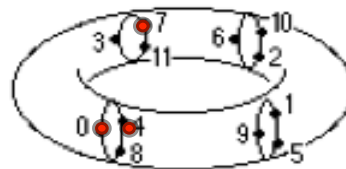
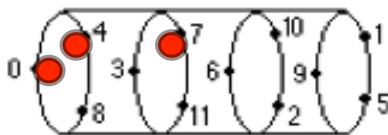
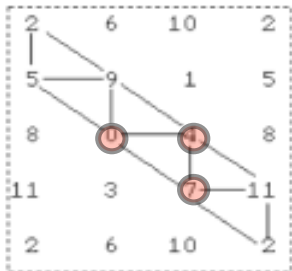
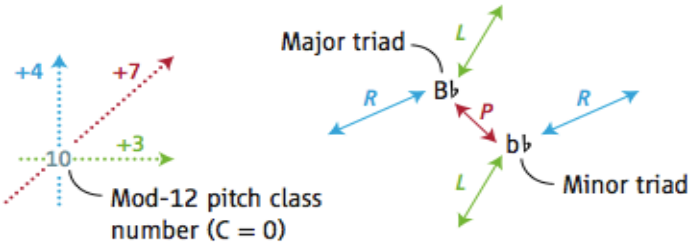
$$ITI = I(IT)^{-1}$$



Tout diagramme commute

$$\forall f \in D_{12}$$

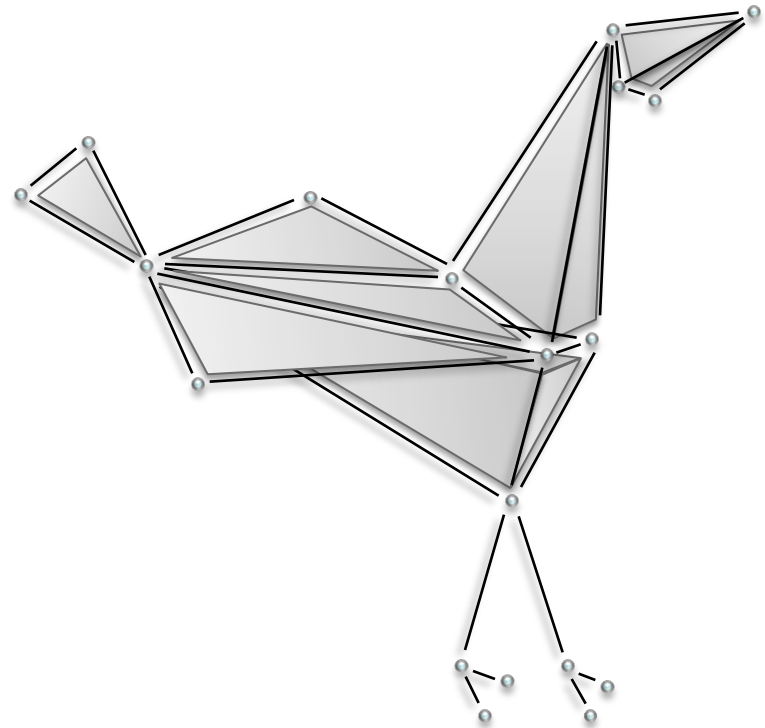
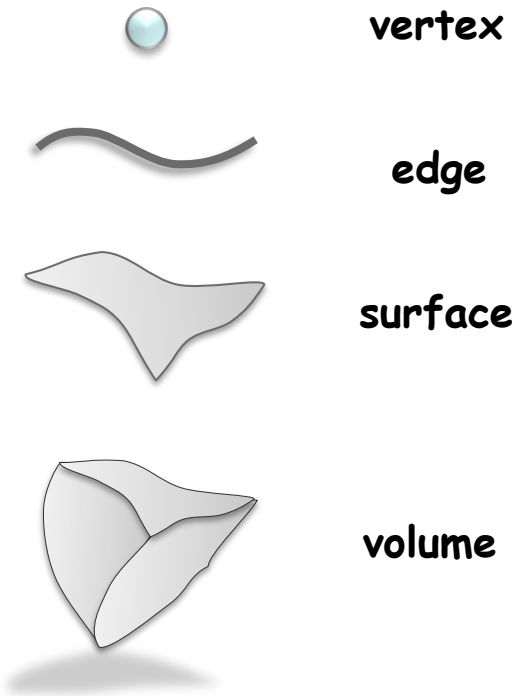
$$\forall g \in \rho$$



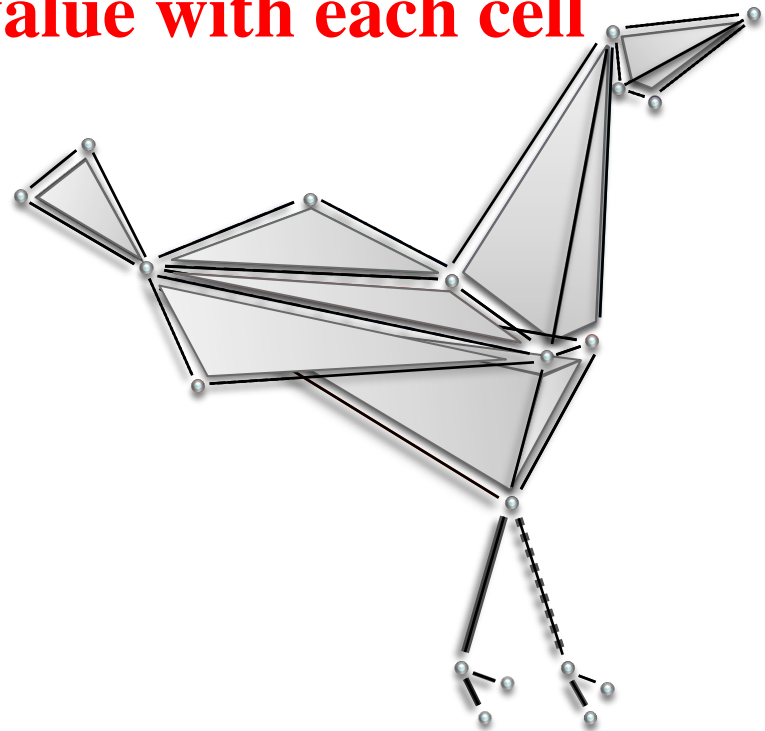
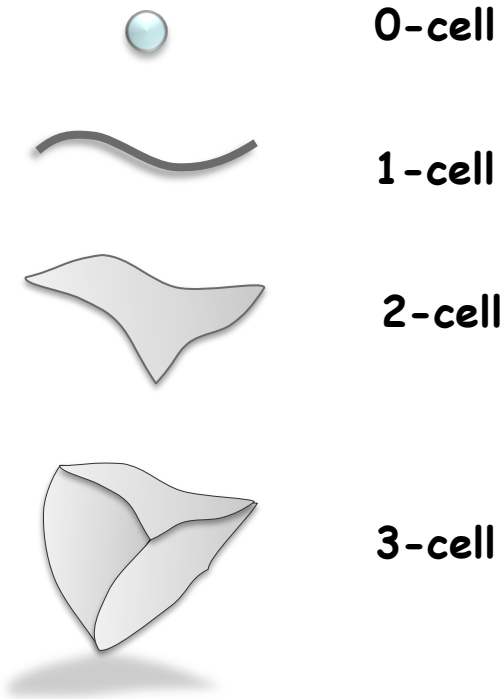
The MGS project

- Abstract rewriting of complex spatial structures
 - Data structure = topological collections
 - sequence, generalized array, (multi-)set, arbitrary graph, Delaunay triangulation, g-map, ..., cell complexes
 - Control structure = transformation
 - two powerful languages to specify sub-collections (elements in interaction)
 - Various rule application strategies: maximal parallel, asynchronous, stochastic, Gillespie-like, ...
- Applications
 - modeling and simulation of (DS)²: morphogenesis, systems biology, knowledge representation, complex systems
 - topological representation of musical processes

- Topological collections
 - Structure
 - A collection of topological cells
 - An *incidence relationship*



- Topological collections
 - Structure
 - A collection of topological cells
 - An incidence relationship
 - Data: **association of a value with each cell**



- Transformations

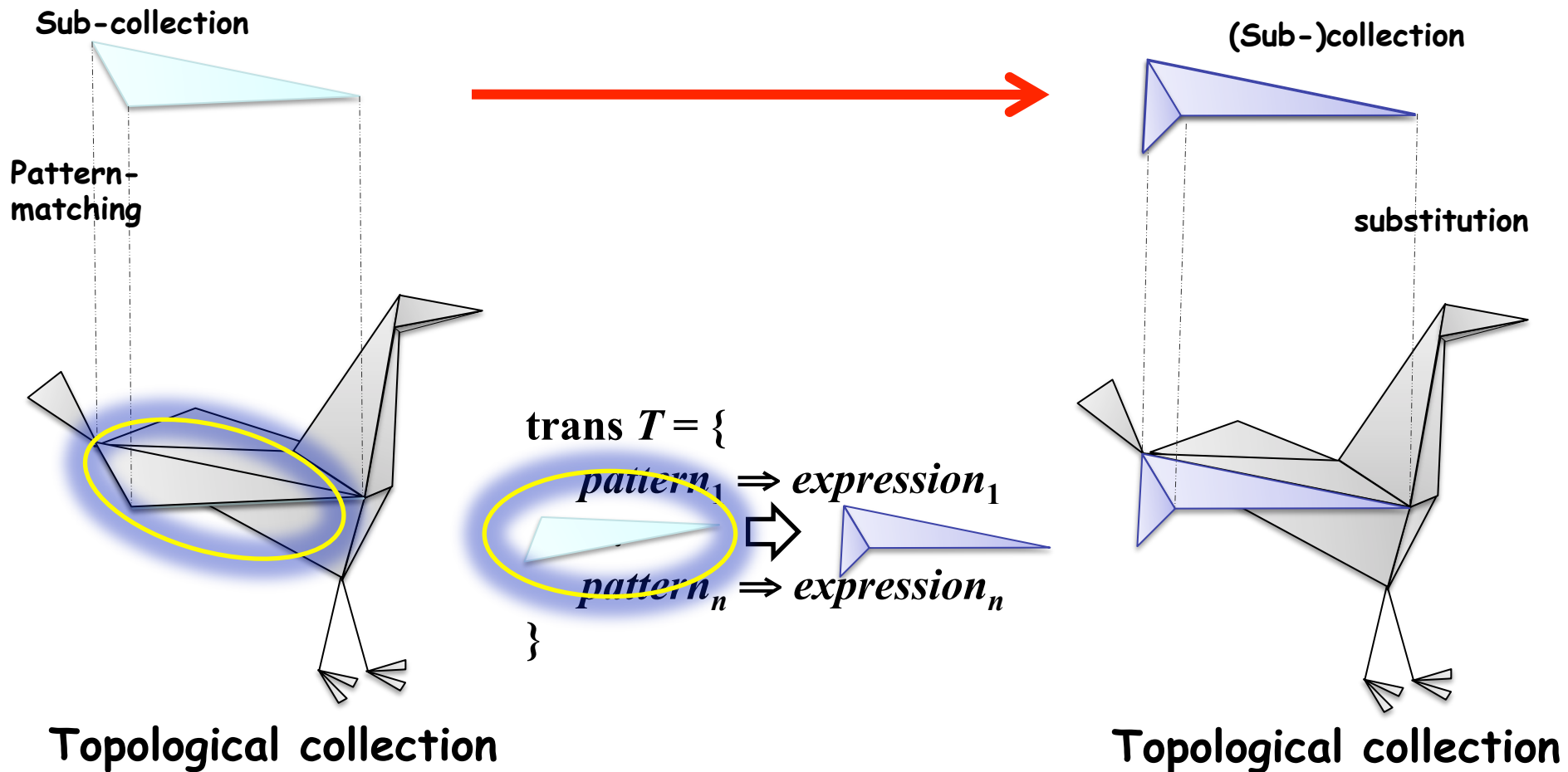
- Functions defined by case on collections

- Each case (pattern) matches a sub-collection

- Defining a rewriting relationship: *topological rewriting*

$$\text{trans } T = \{$$
$$pattern_1 \Rightarrow expression_1$$
$$\dots$$
$$pattern_n \Rightarrow expression_n$$
$$\}$$

- Transformations



Topological rewriting = transformation

$1 + 2 \rightarrow \dots$ (arithmetic) term rewriting

←
arithmetic operation

$a . b \rightarrow \dots$ string rewriting (\sim L systems)

←
string concatenation: « . » is a formal associative operation

$2H + O \rightarrow H_2O$ multiset rewriting (\sim chemistry)

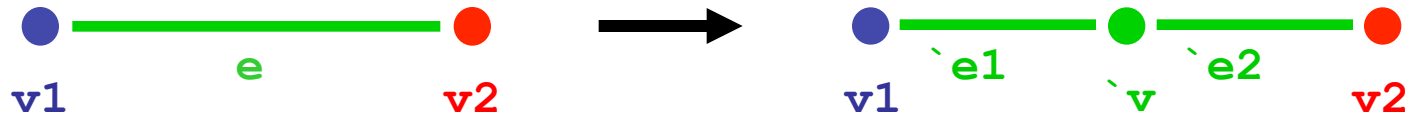
←
multiset concatenation (= the chemical soup): « . » is AC

$v_1 \cdot \sigma_1 + v_2 \cdot \sigma_2 \rightarrow \dots$ **topological rewriting (MGS)**

←
gluing cell in a cell complex: ... (AC and algebraic machinery)

Topological rewriting \neq graph rewriting

$v_1 \cdot \sigma_1 + v_2 \cdot \sigma_2 \rightarrow \dots$ **topological rewriting (MGS)**
 the structure is in the cells σ not in $+$



$$\begin{aligned}
 & x_1 \cdot v_1 + (x \cdot e + x_2 \cdot v_2) \\
 &= (x_1 \cdot v_1 + x \cdot e) + x_2 \cdot v_2 \\
 &= (x_1 \cdot v_1 + x_2 \cdot v_2) + x \cdot e \\
 &= x \cdot e + (x_1 \cdot v_1 + x_2 \cdot v_2) \\
 &= \dots
 \end{aligned}$$

$v_1 < e : [\text{dim} = 1] > v_2 \Rightarrow$

v_1

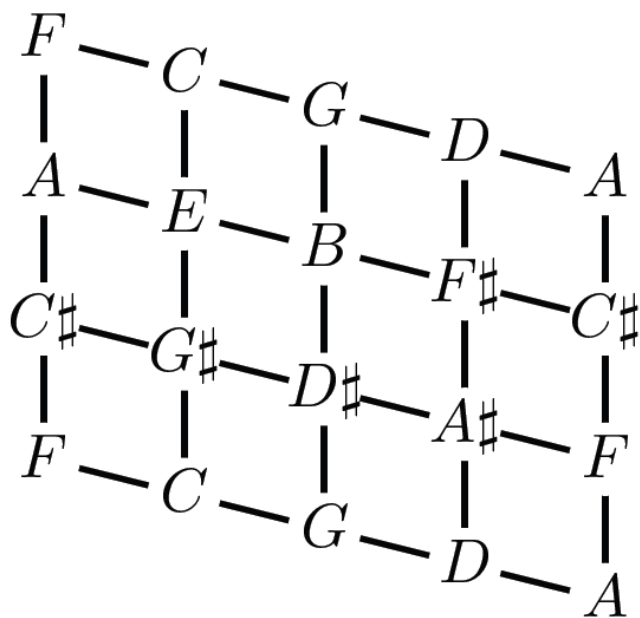
$\text{`e1} : [\text{dim} = 1, \text{ faces} = (\wedge v_1, \text{`v}), \text{ val} = \dots]$

$\text{`v} : [\text{dim} = 0, \text{ cofaces} = (\text{`e1}, \text{`e2}), \text{ val} = (v_1 + v_2) / 2]$

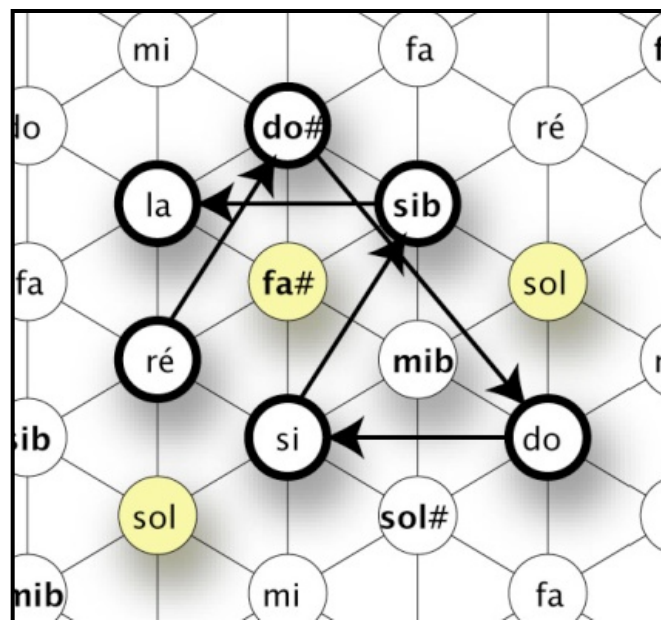
$\text{`e2} : [\text{dim} = 1, \text{ faces} = (\wedge v_2, \text{`v}), \text{ val} = \dots]$

v_2

Neo-Riemannian Problematic



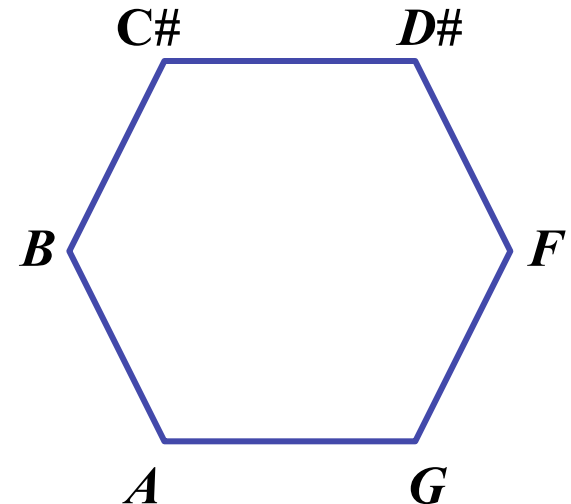
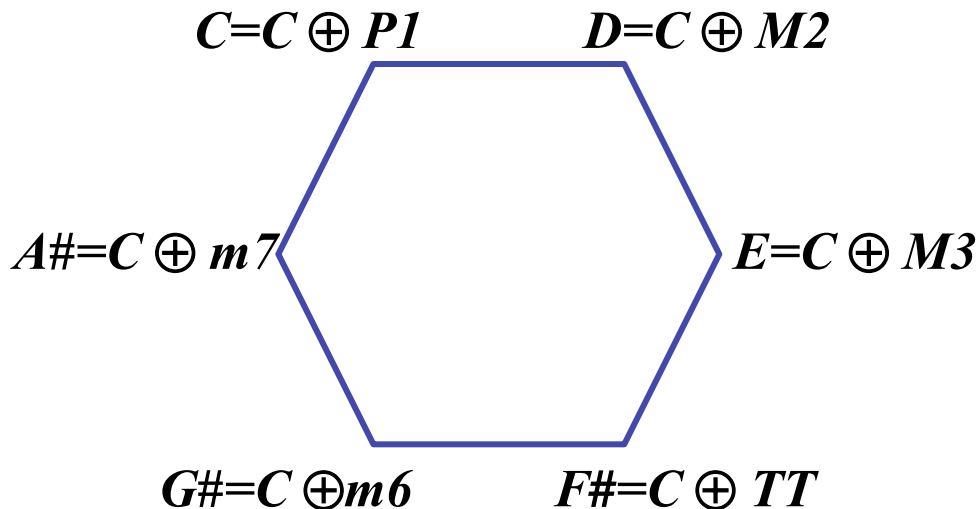
Euler's tonnetz



**Hexagonal network of notes
(J.-M. Chouvel)**

Formalization of Notes Neighborhoods

- Spatial representation of S
 - I as a set of group generators
 - Graph representation of $\langle I \rangle$
 - Representation of S based on Cayley graph
 - Action of $\langle I \rangle$ on N
 - Example with $I = \{ M2 \}$



Examples

- Scale representations
 - Chromatic scale $I = \{ m2 \}$

<i>C</i>	<i>C#</i>	<i>D</i>	<i>D#</i>	<i>E</i>	<i>F</i>	<i>F#</i>	<i>G</i>	<i>G#</i>	<i>A</i>	<i>A#</i>	<i>B</i>
----------	-----------	----------	-----------	----------	----------	-----------	----------	-----------	----------	-----------	----------

- Whole-tone scale $I = \{ M2 \}$

<i>C</i>	<i>D</i>	<i>E</i>	<i>F#</i>	<i>G#</i>	<i>A#</i>
<i>C#</i>	<i>D#</i>	<i>F</i>	<i>G</i>	<i>A</i>	<i>B</i>

- Diminished scale $I = \{ m2, M2 \}$

<i>C</i>	<i>C#</i>	<i>D</i>	<i>D#</i>	<i>E</i>
<i>D</i>	<i>D#</i>	<i>E</i>	<i>F</i>	<i>F#</i>
<i>E</i>	<i>F</i>	<i>F#</i>	<i>G</i>	<i>G#</i>
<i>F#</i>	<i>G</i>	<i>G#</i>	<i>A</i>	<i>A#</i>

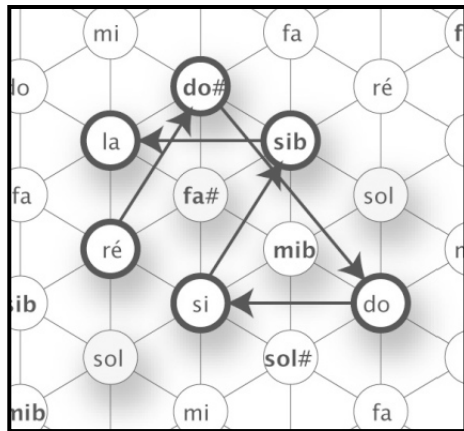
Diagram illustrating the diminished scale $I = \{ m2, M2 \}$ using a grid. The grid shows the sequence of notes: C, C#, D, D#, E, F, F#, G, G#, A, A#. Arrows indicate the intervals between adjacent notes: a half step (m2) from C to C#, a whole step (M2) from C# to D, a half step (m2) from D to D#, a whole step (M2) from D# to E, a half step (m2) from E to F, a whole step (M2) from F to F#, a half step (m2) from F# to G, a whole step (M2) from G to G#, a half step (m2) from G# to A, and a whole step (M2) from A to A#.

Applications

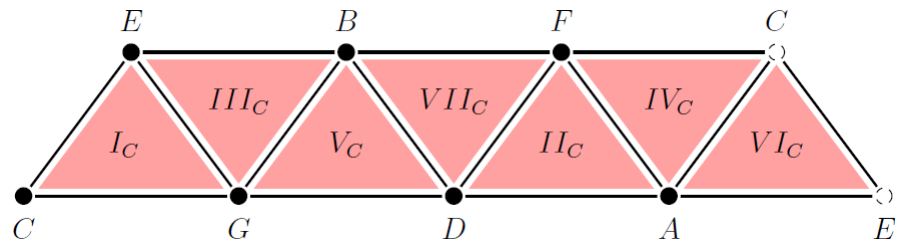
- Analysis example
 - Signature of a piece
 - Example : F. Chopin Prelude

Extract of the 2nd
movement of the
Symphony No. 9
L. van Beethoven

Extract of the
Prelude N.4 Op28 of
F. Chopin



Music in a space



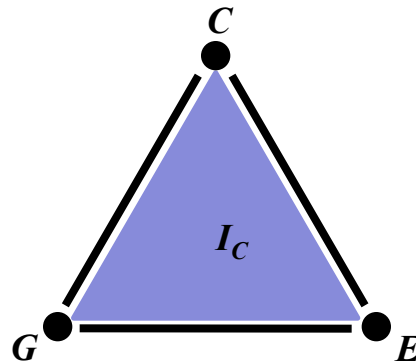
Computing the space of music

Tonality and Möbius Strip

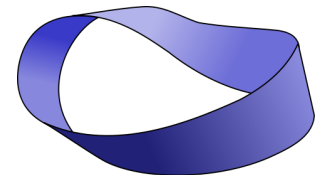
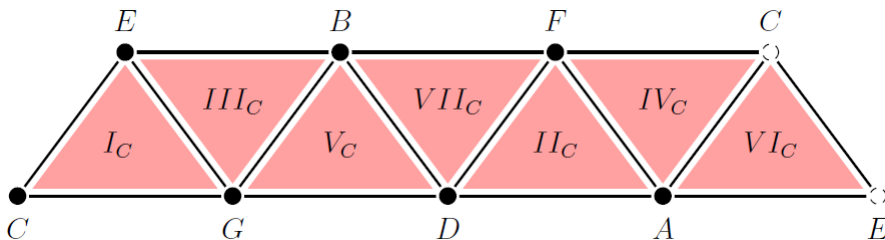
- Motivation: spatial visualization of tonality
- Association of a chord set with the tonality: the *degrees*
 - Example: C-major tonality



- Spatial representations
 - Note = vertex
 - Chord = surface

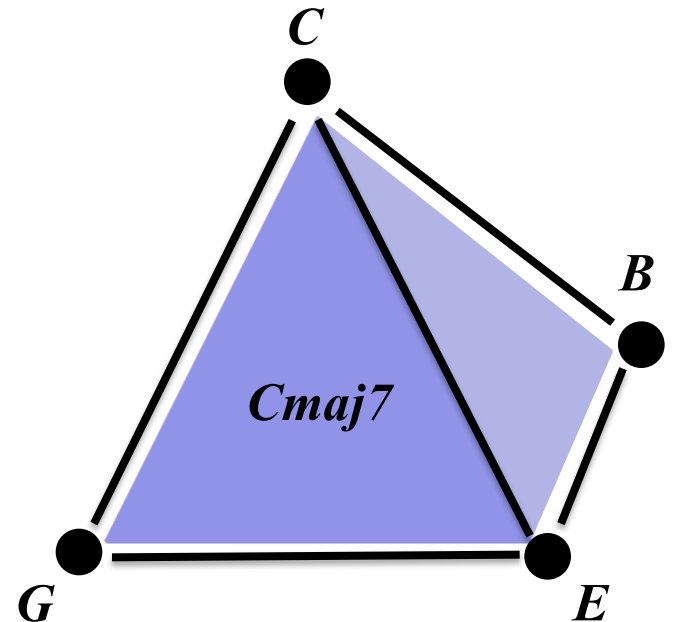


- Fusion of the common notes for the 7 degrees



Self-Assembly of Chords

- Automation of the process for the analysis of other chords sequences
- *Reaction* of the chords between themselves
- Simplicial representation of musical objects
 - Note: 0-simplex
 - 2-note chord: 1-simplex
 - 3-note chord: 2-simplex
 - 4-note chord: 3-simplex

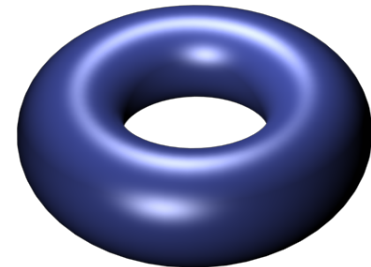
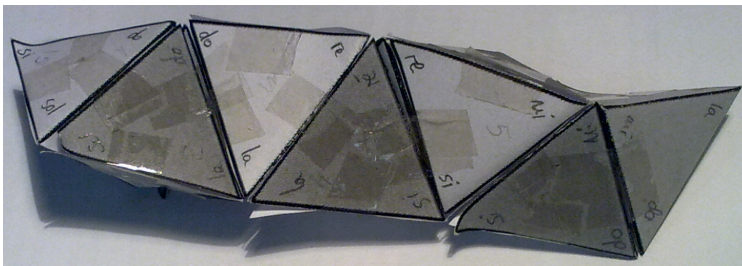


Applications

- Four-note degrees of C-major tonality

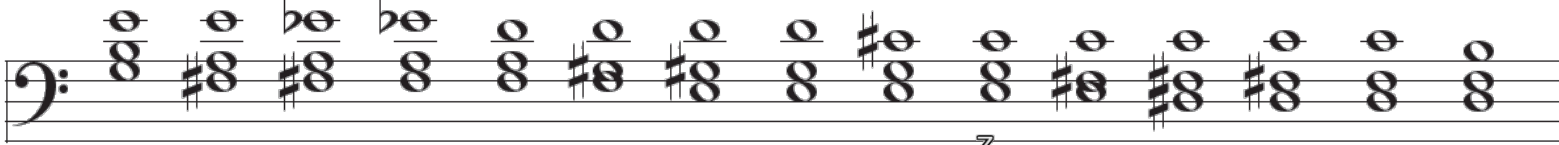


- Chord = 3-simplex (tetrahedrons)
- Self-assembly

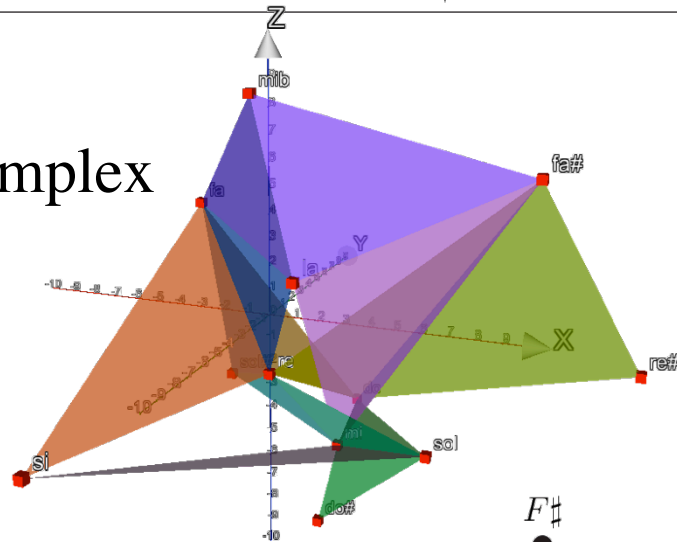


Applications

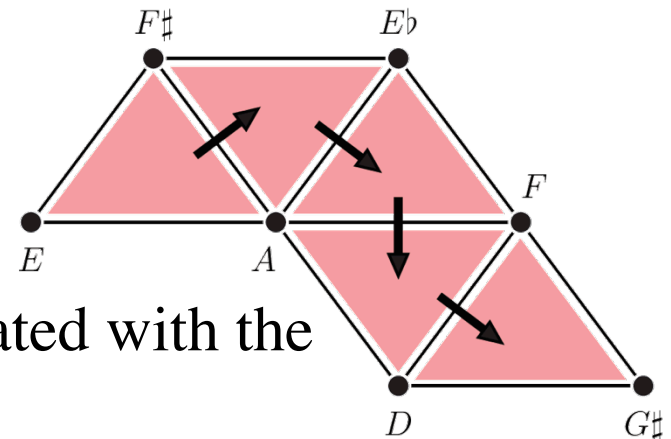
- Extract of the Prelude No. 4 Op. 28 of F. Chopin



- Associated simplicial complex



- Analysis of the path under the chords



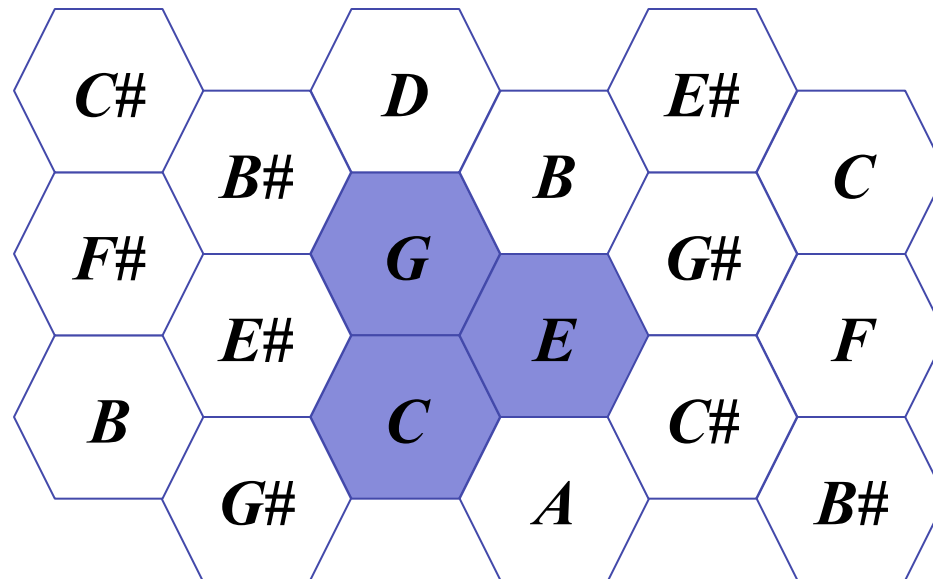
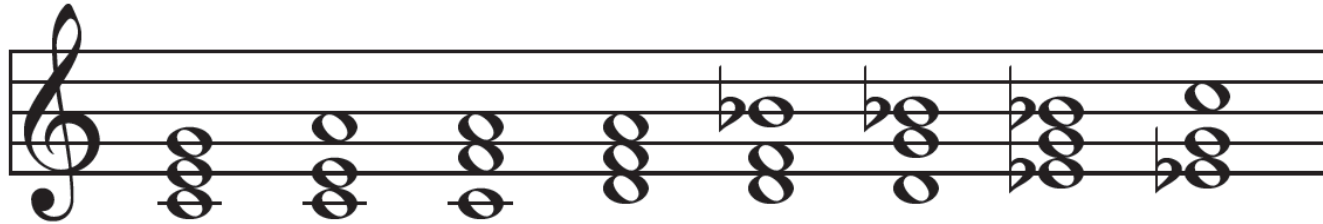
- The path chosen by F. Chopin is associated with the smallest movements on the chords

Music & spatial computing ?

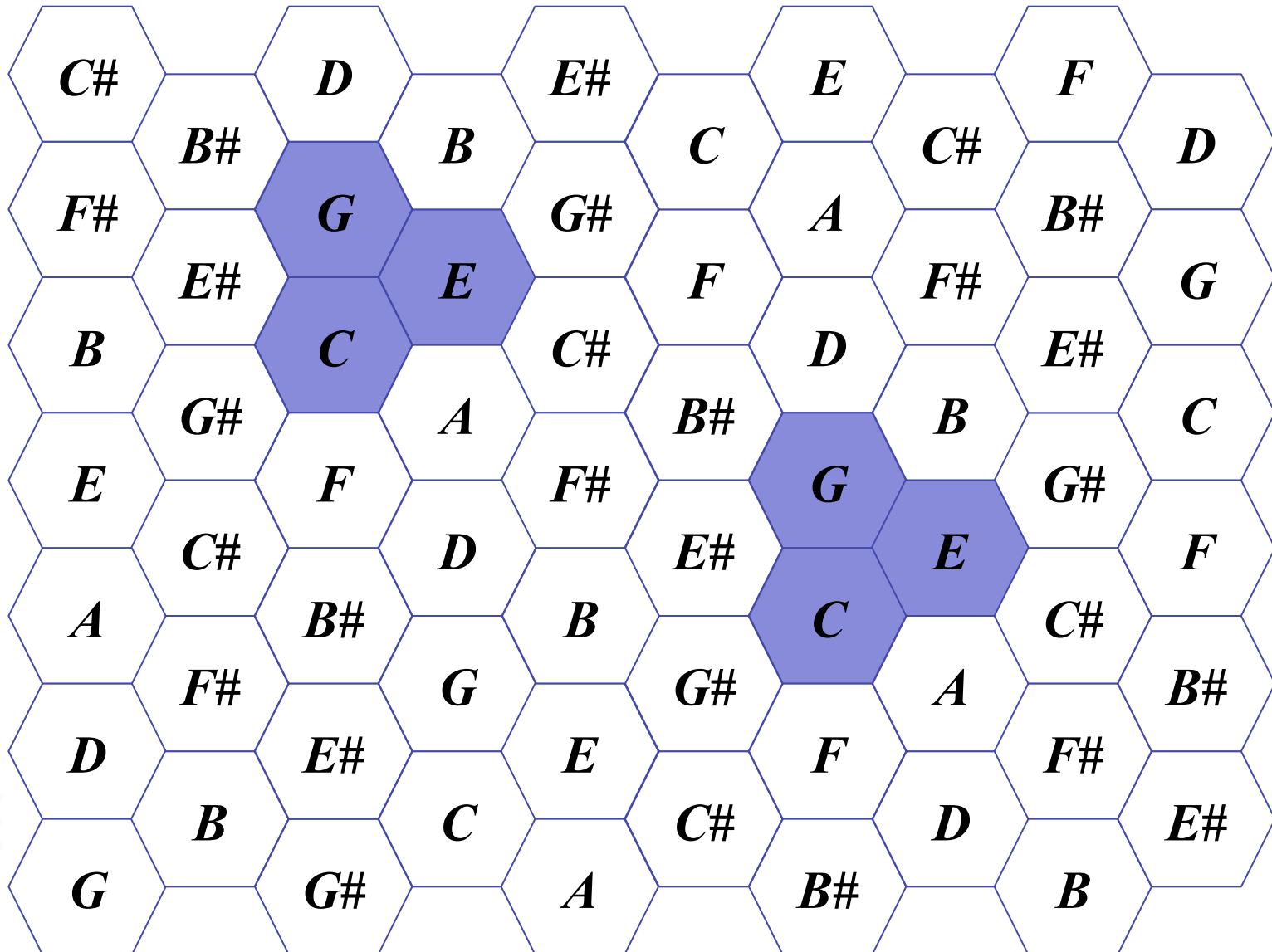
- Preliminary work
- Strong collaborations with composers / musicologists
- Extend the validation on more musical problems
- Extension to study musical styles
- Spatial properties \Leftrightarrow musical properties
 - “cinematic” of musical processes
 - rule as evolution function (derivative)

<http://mgs.spatial-computing.org>

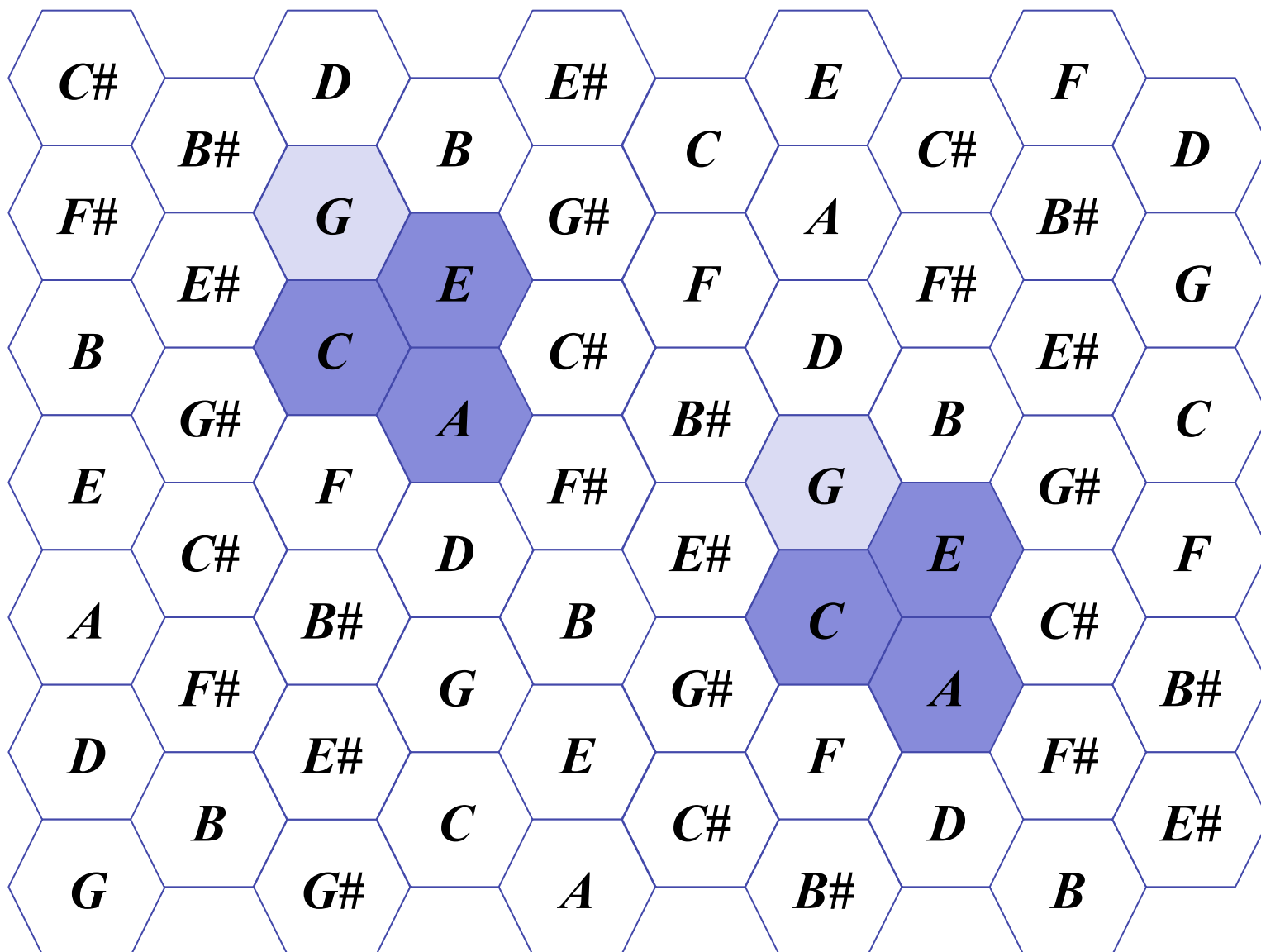
Exemple : Extract of the 2nd movement of the Symphony No. 9 (L. van Beethoven)



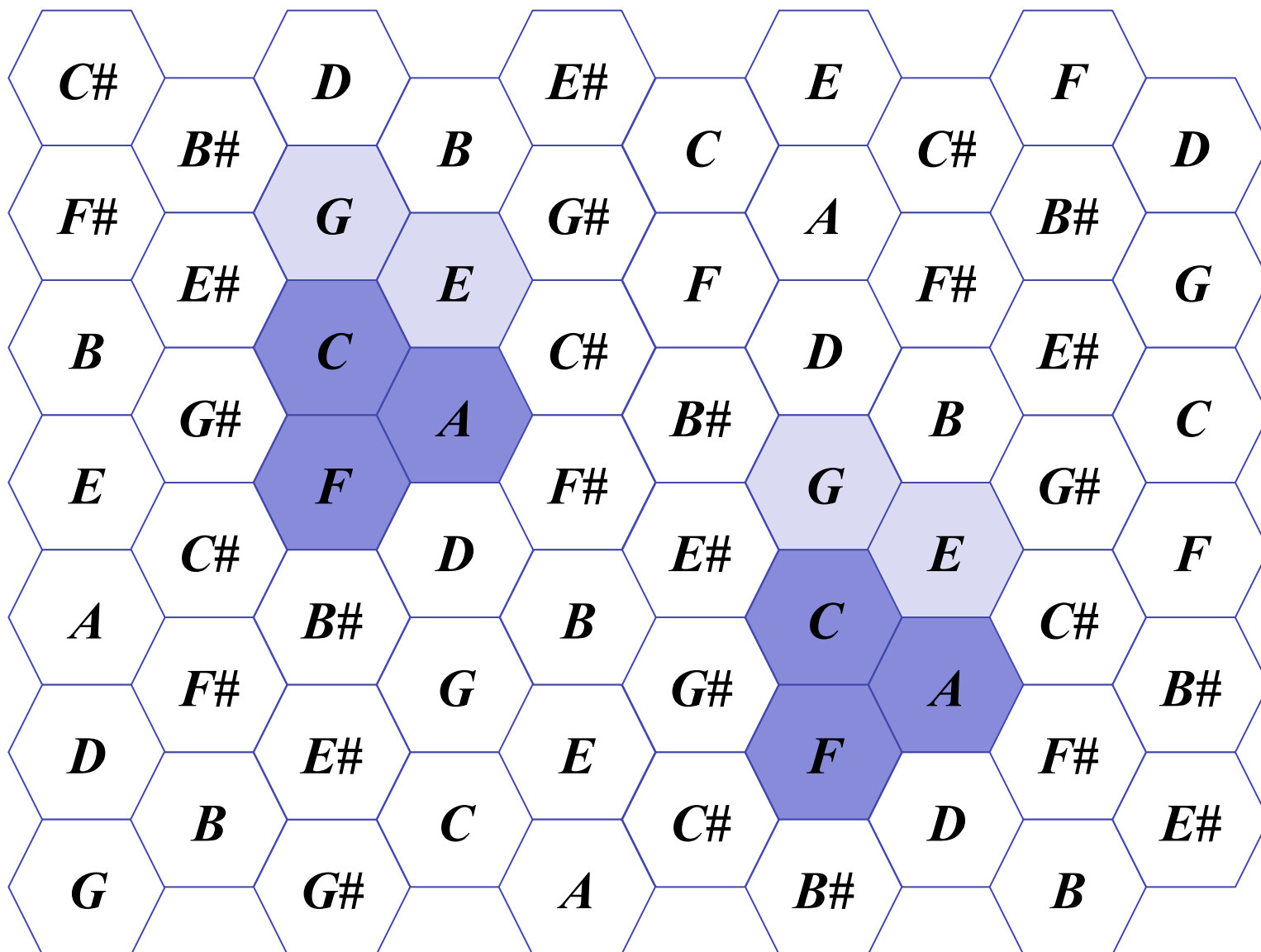
Extract of the 2nd movement of the Symphony No. 9 (L. van Beethoven)



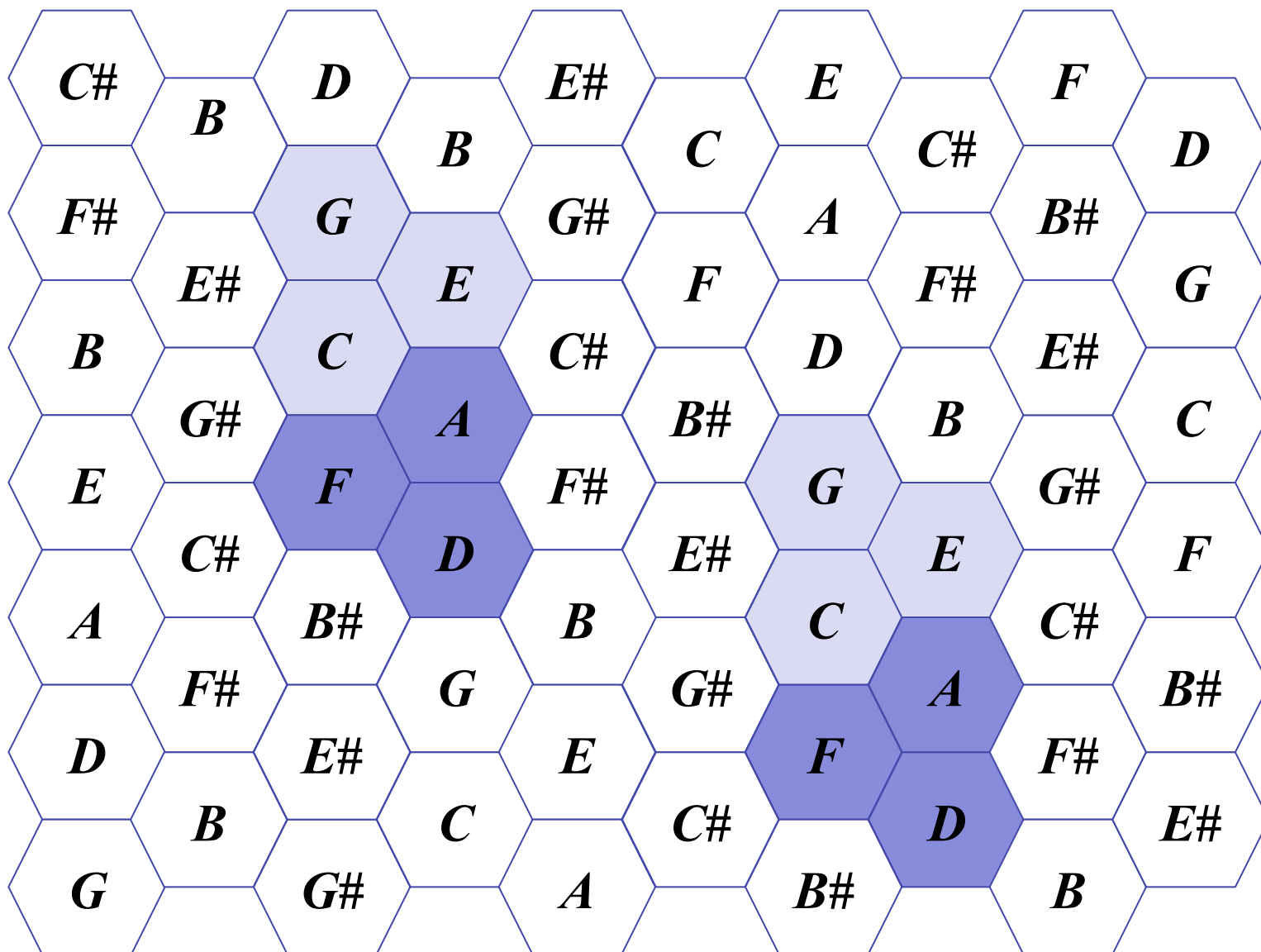
Extract of the 2nd movement of the Symphony No. 9 (L. van Beethoven)



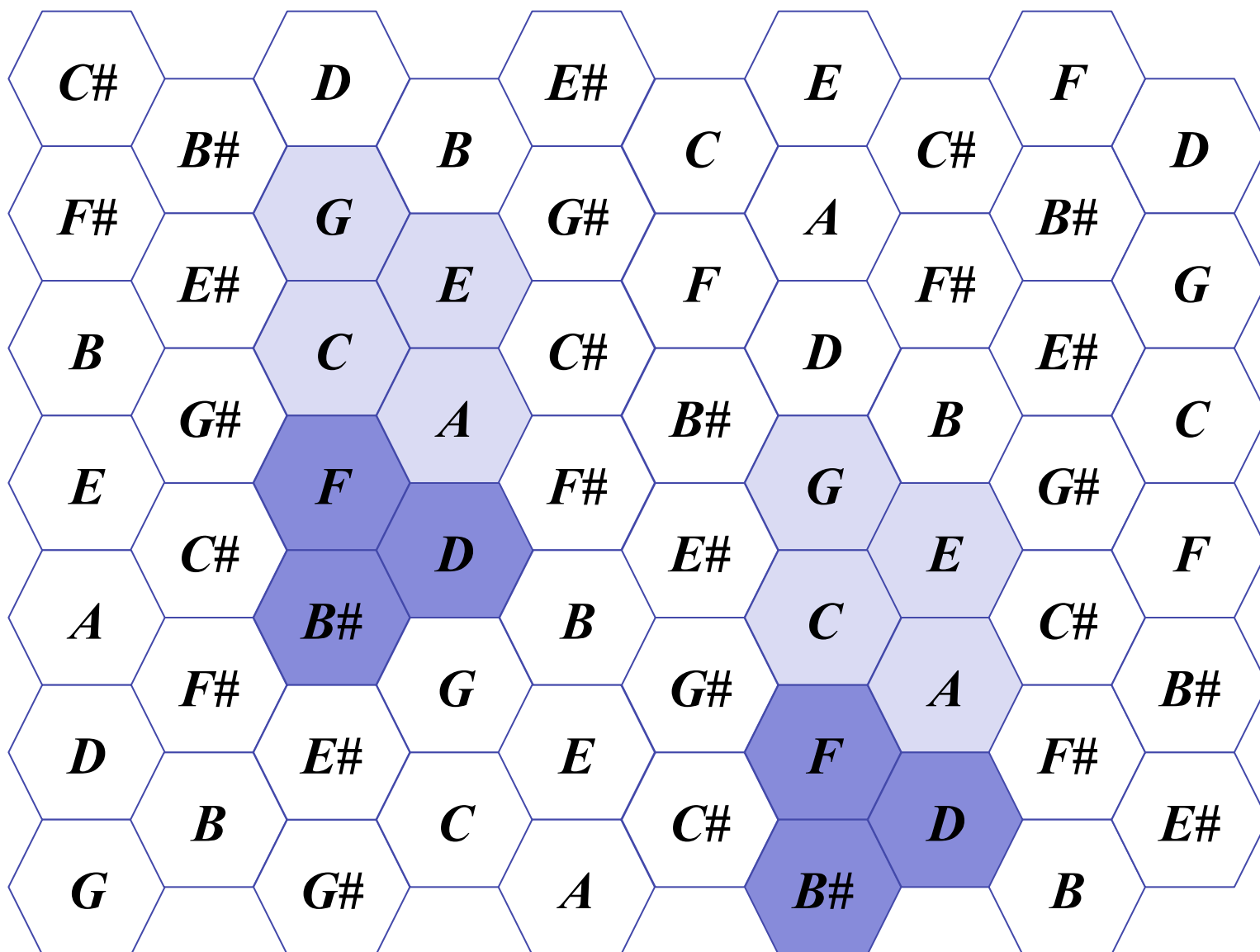
Extract of the 2nd movement of the Symphony No. 9 (L. van Beethoven)



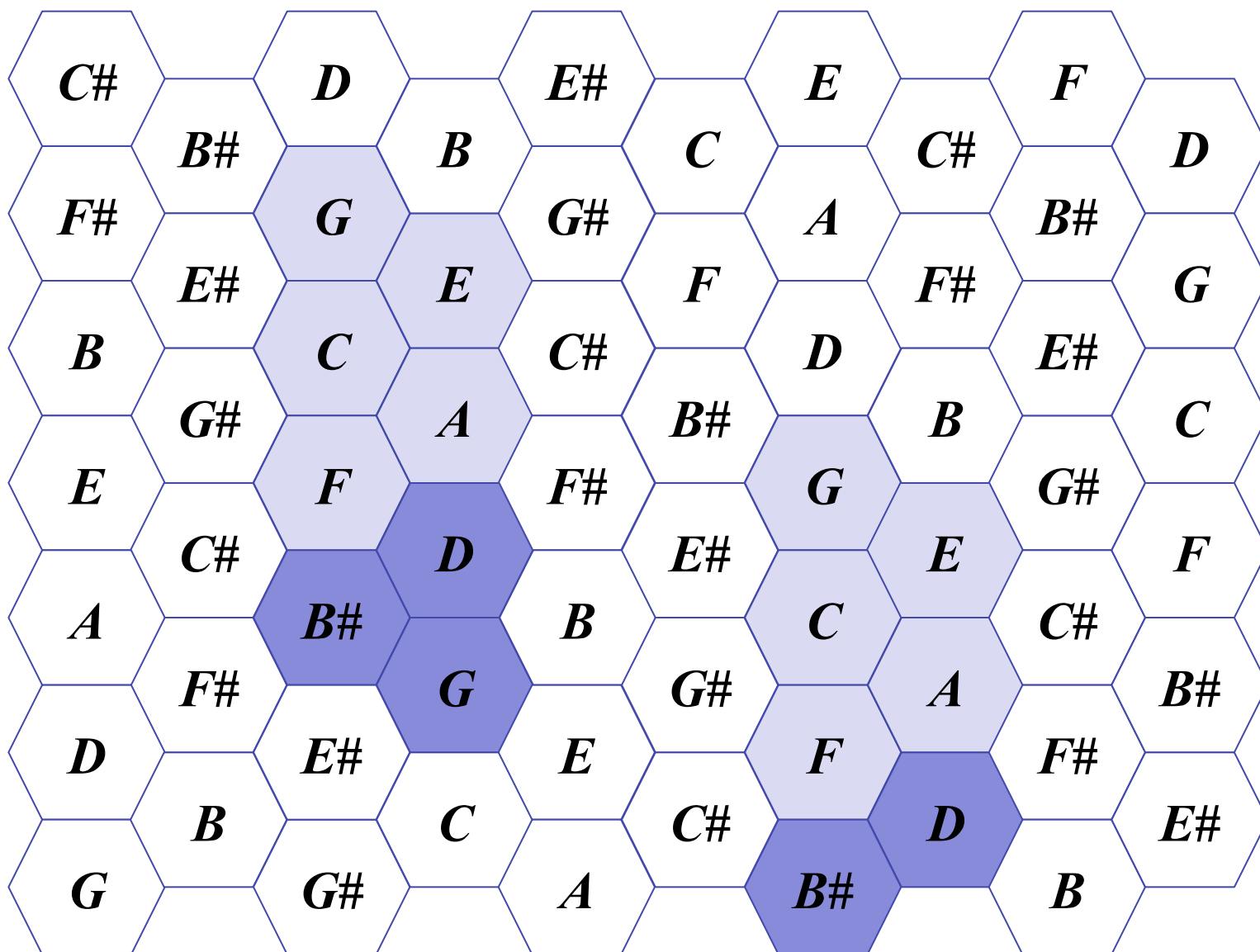
Extract of the 2nd movement of the Symphony No. 9 (L. van Beethoven)



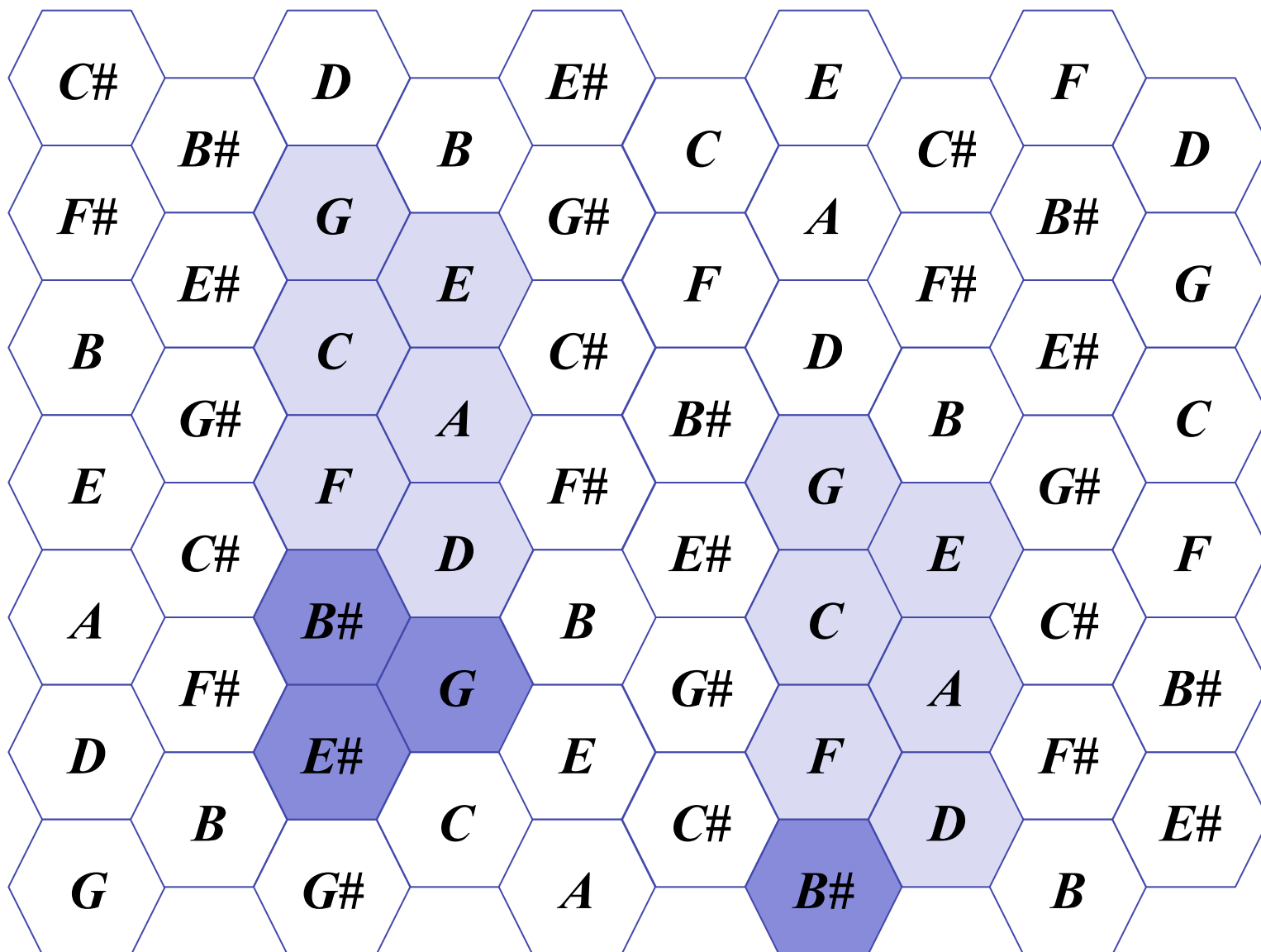
Extract of the 2nd movement of the Symphony No. 9 (L. van Beethoven)



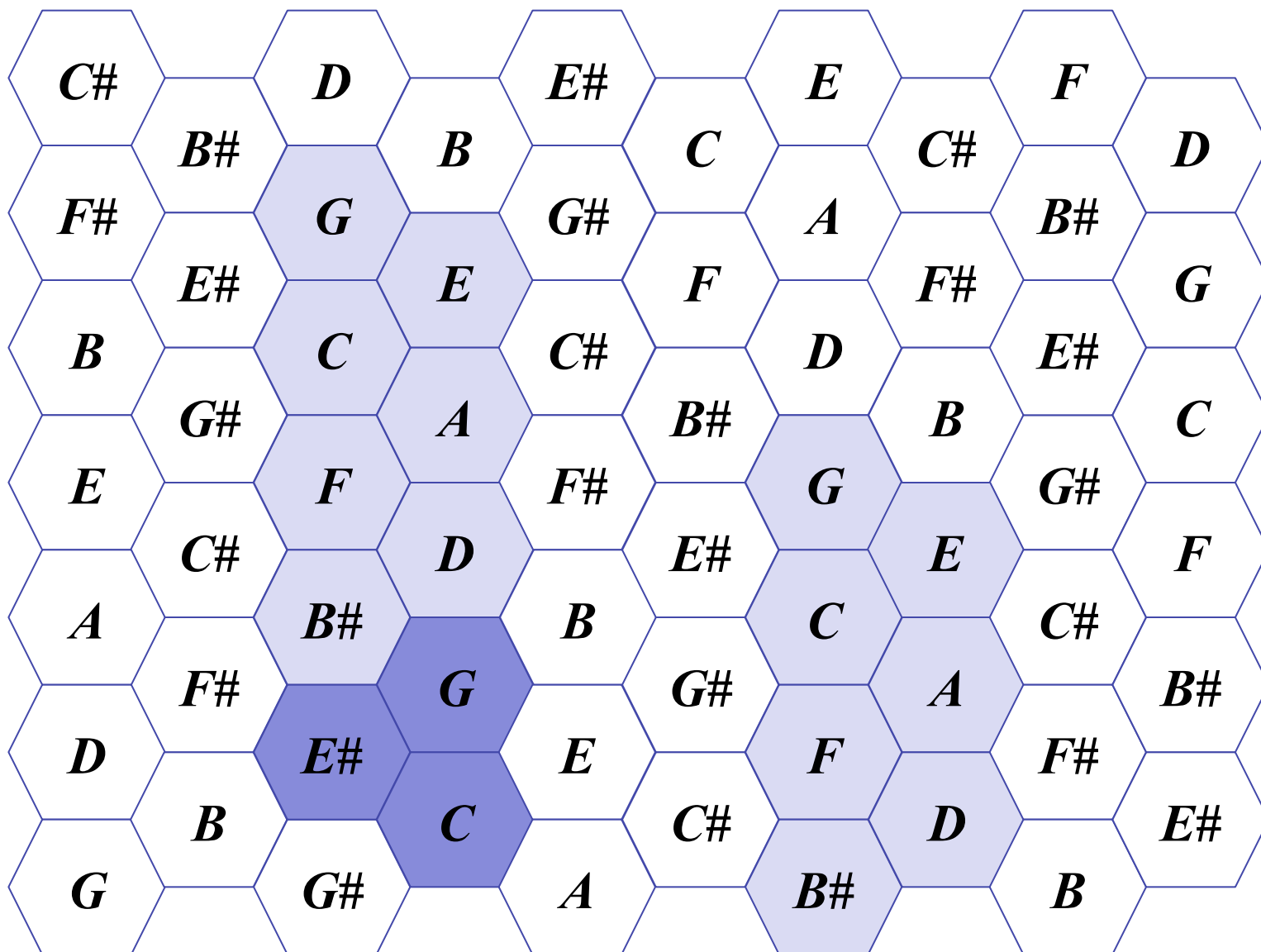
Extract of the 2nd movement of the Symphony No. 9 (L. van Beethoven)



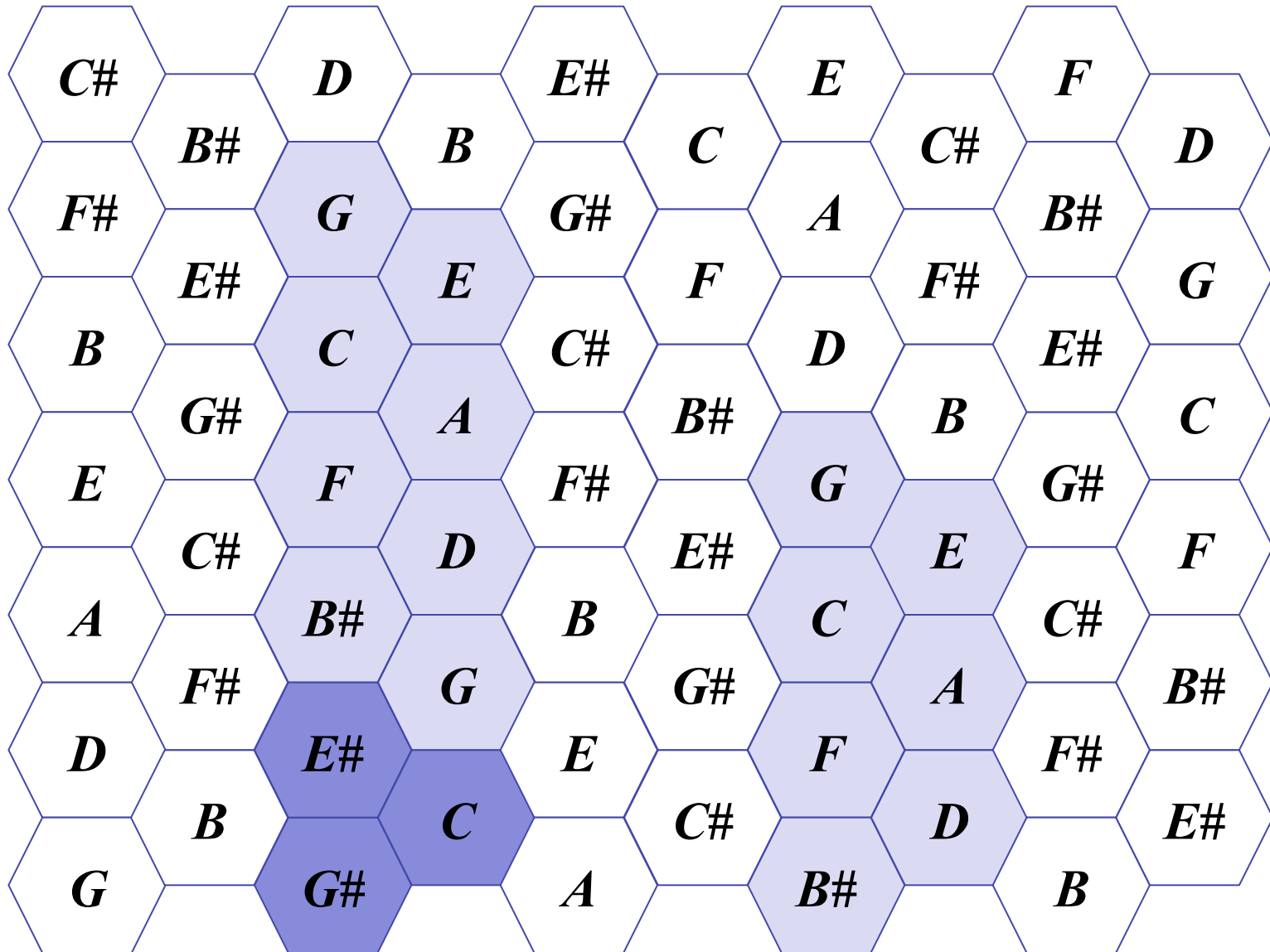
Extract of the 2nd movement of the Symphony No. 9 (L. van Beethoven)



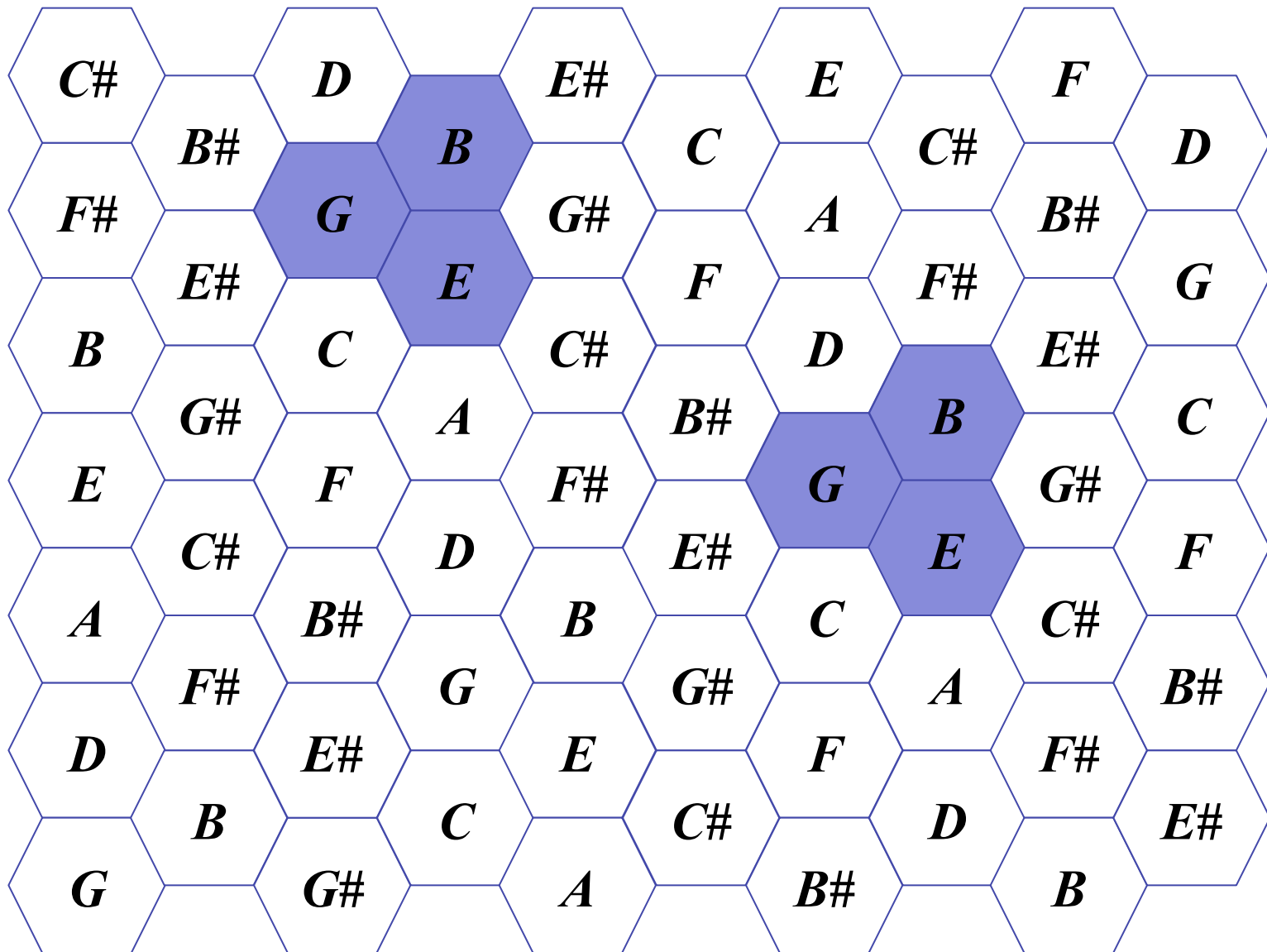
Extract of the 2nd movement of the Symphony No. 9 (L. van Beethoven)



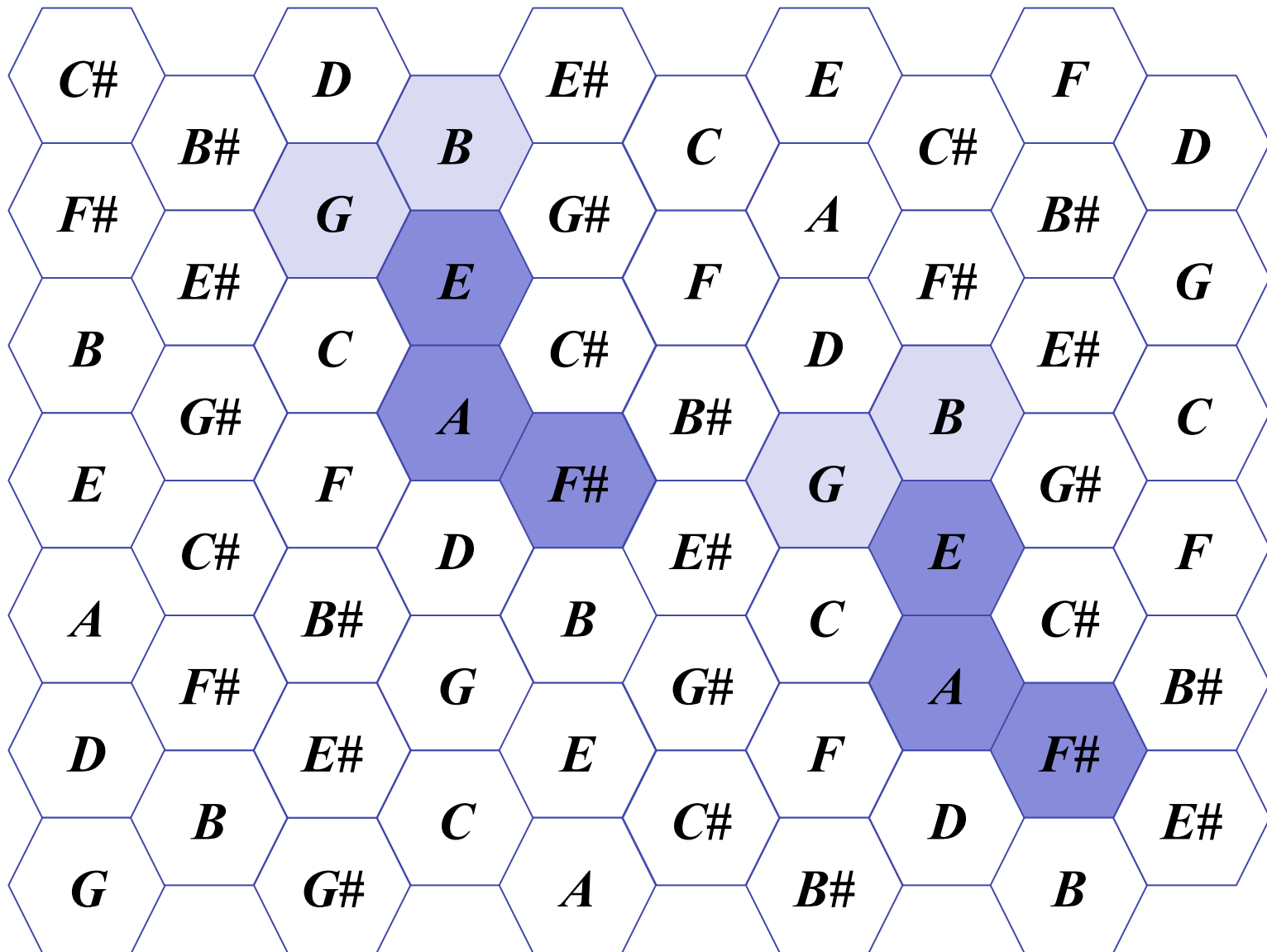
Extract of the 2nd movement of the Symphony No. 9 (L. van Beethoven)



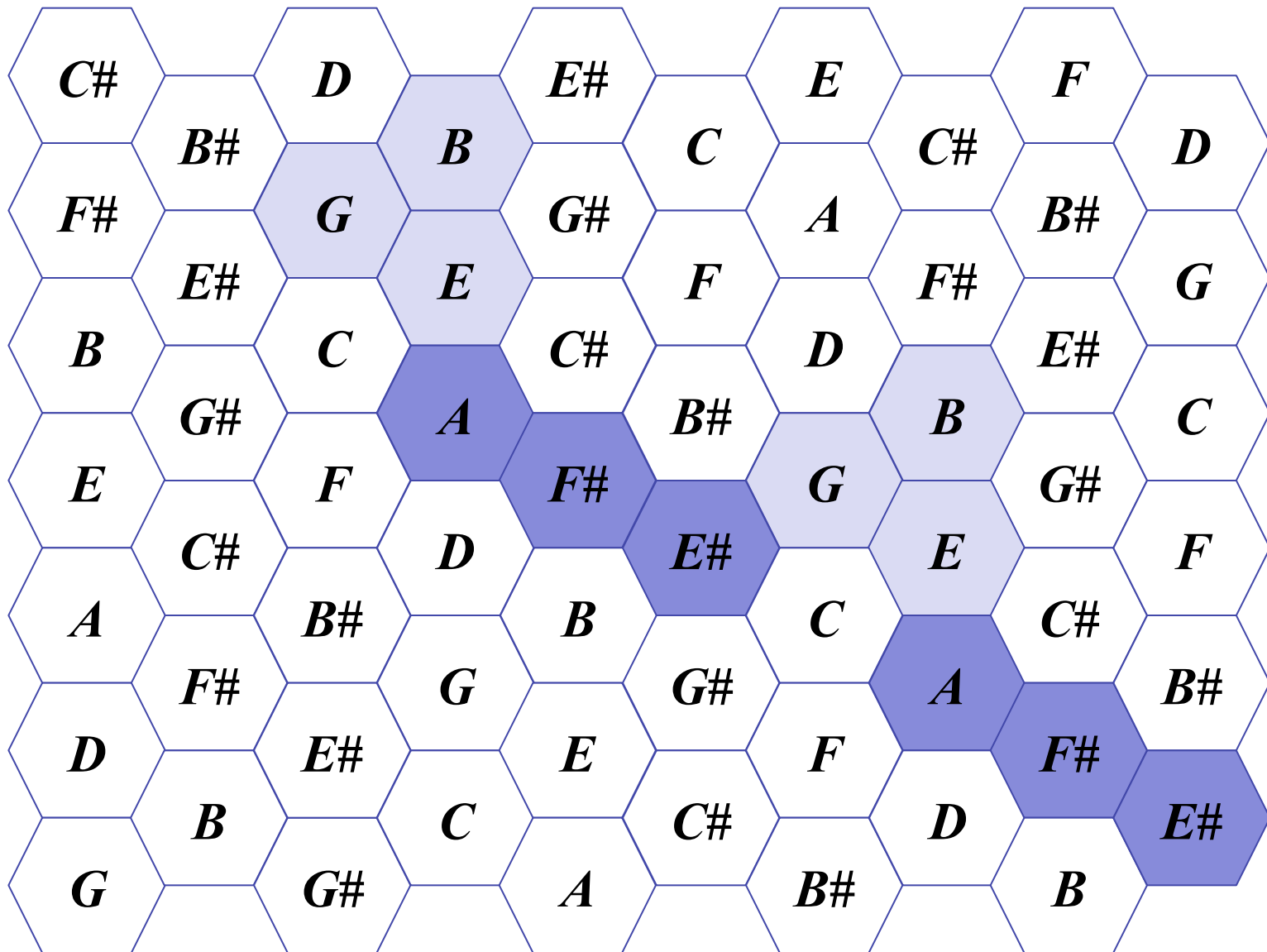
Extract of the Prelude Op.28 N.4 (F. Chopin)



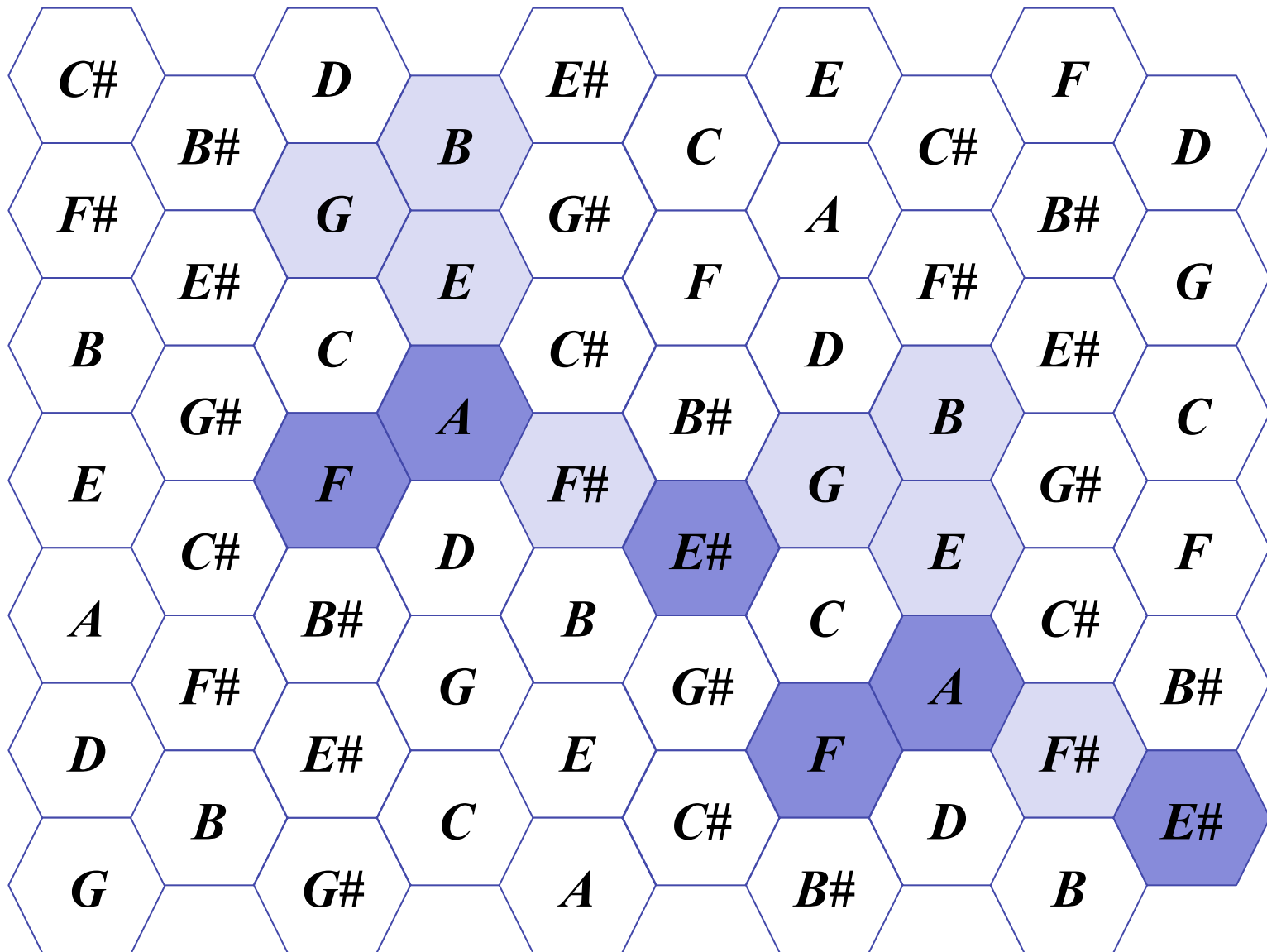
Extract of the Prelude Op.28 N.4 (F. Chopin)



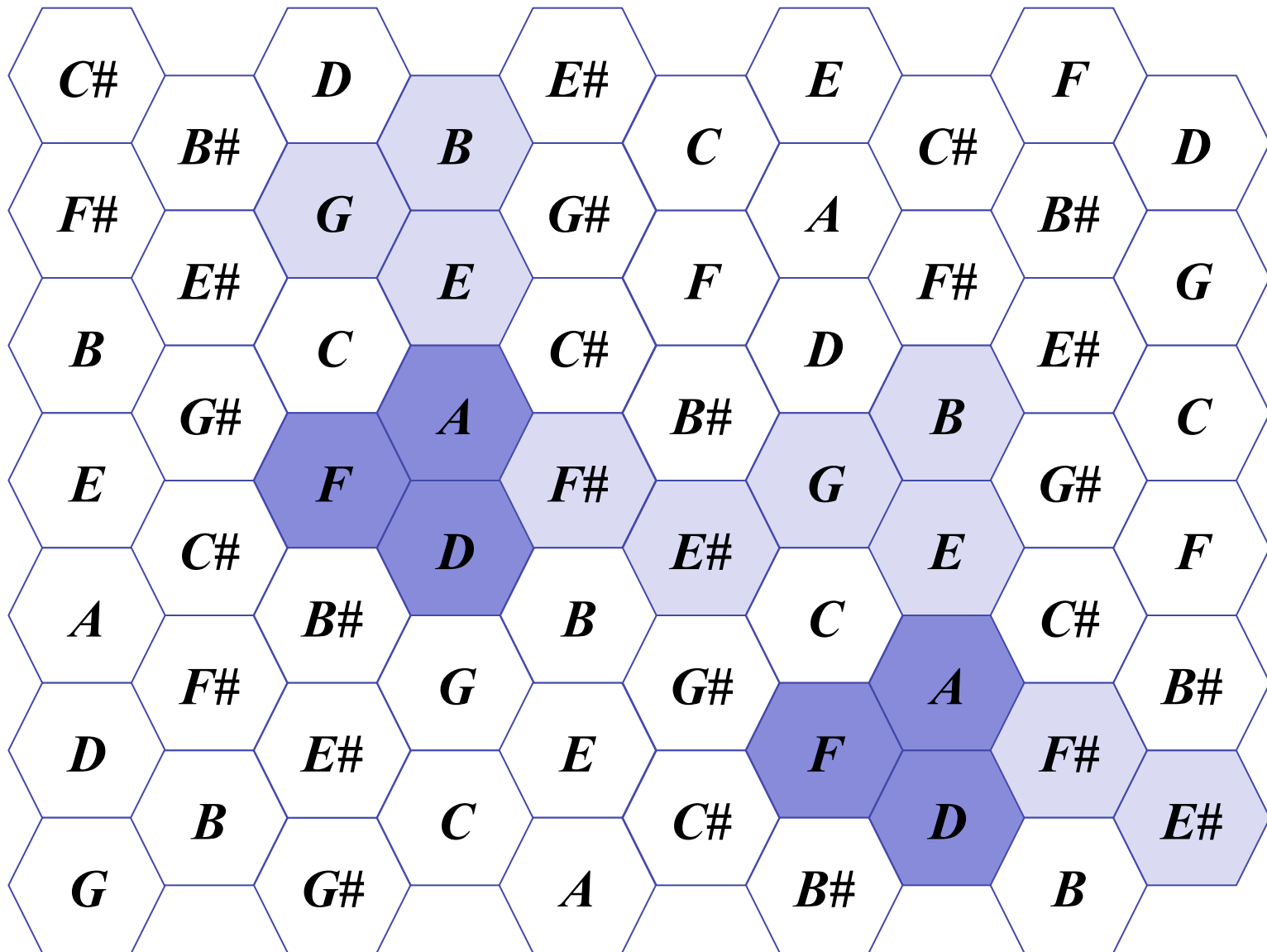
Extract of the Prelude Op.28 N.4 (F. Chopin)



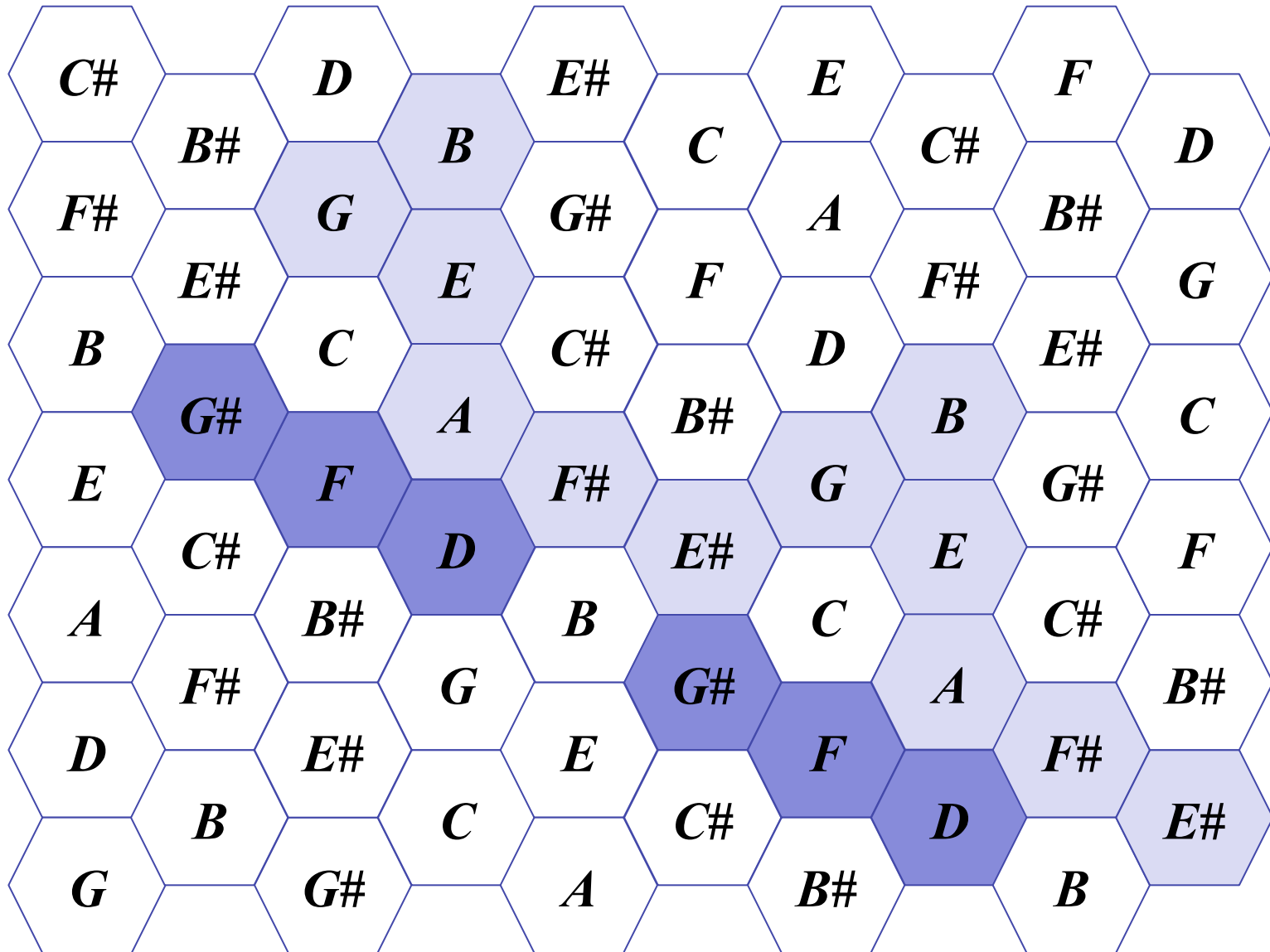
Extract of the Prelude Op.28 N.4 (F. Chopin)



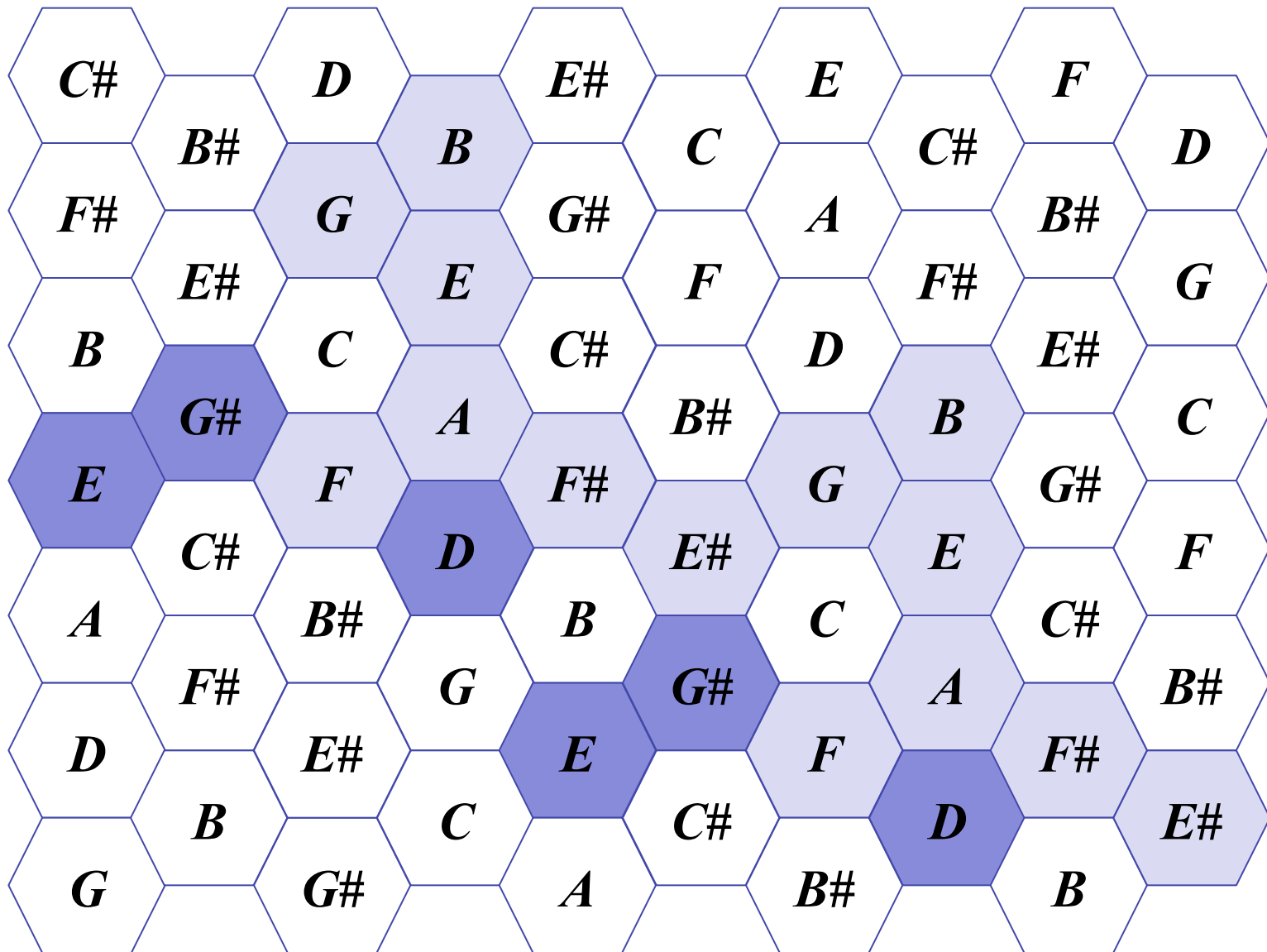
Extract of the Prelude Op.28 N.4 (F. Chopin)



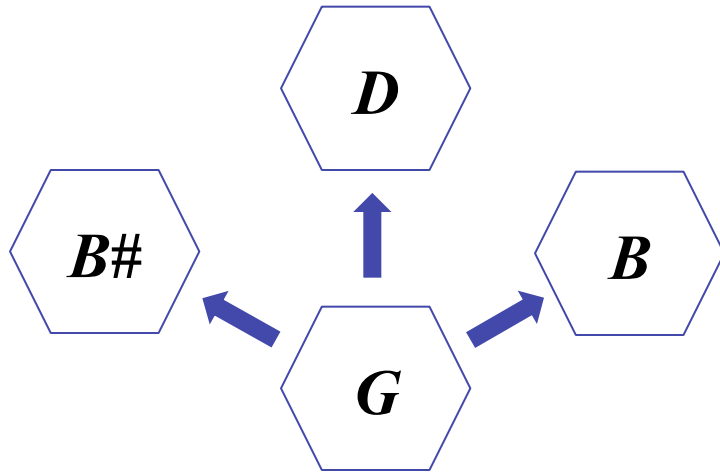
Extract of the Prelude Op.28 N.4 (F. Chopin)



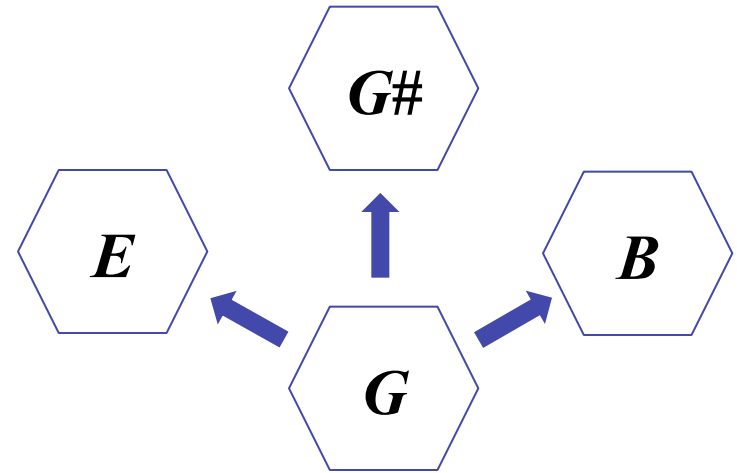
Extract of the Prelude Op.28 N.4 (F. Chopin)



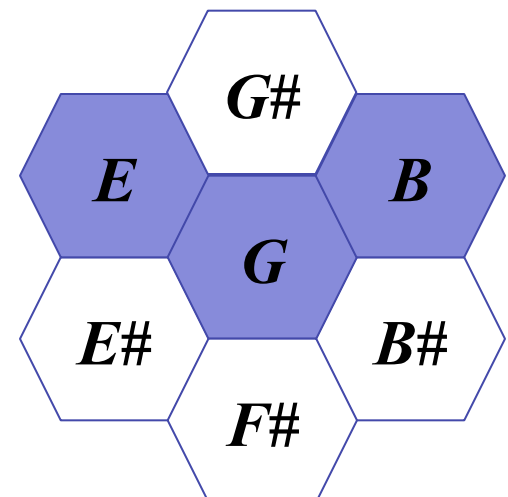
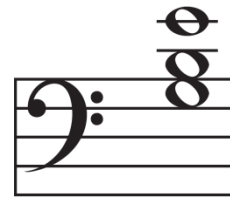
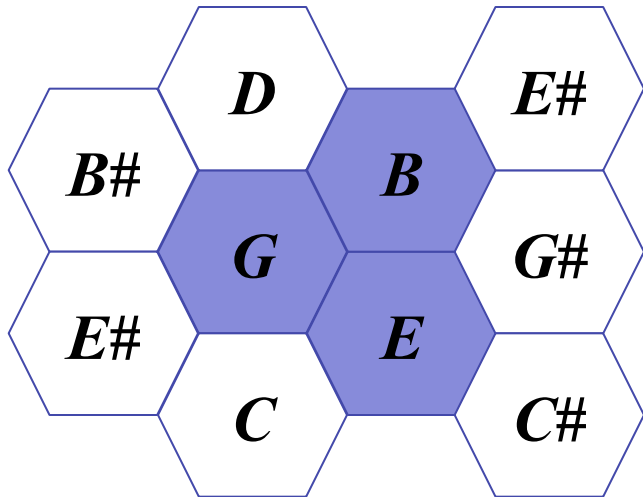
Extract of the Prelude Op.28 N.4 (F. Chopin)



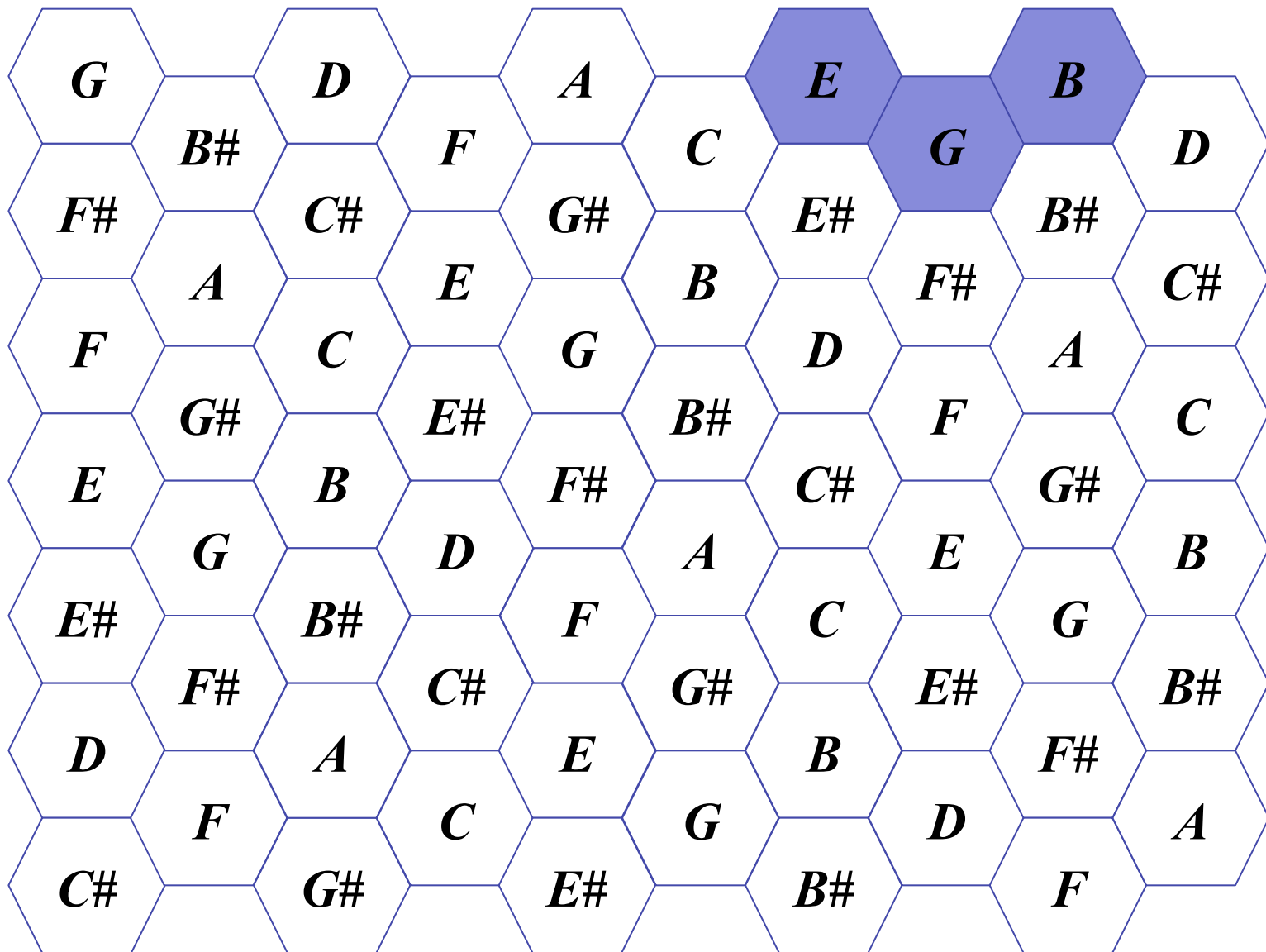
$I = \{m3, M3, P5\}$



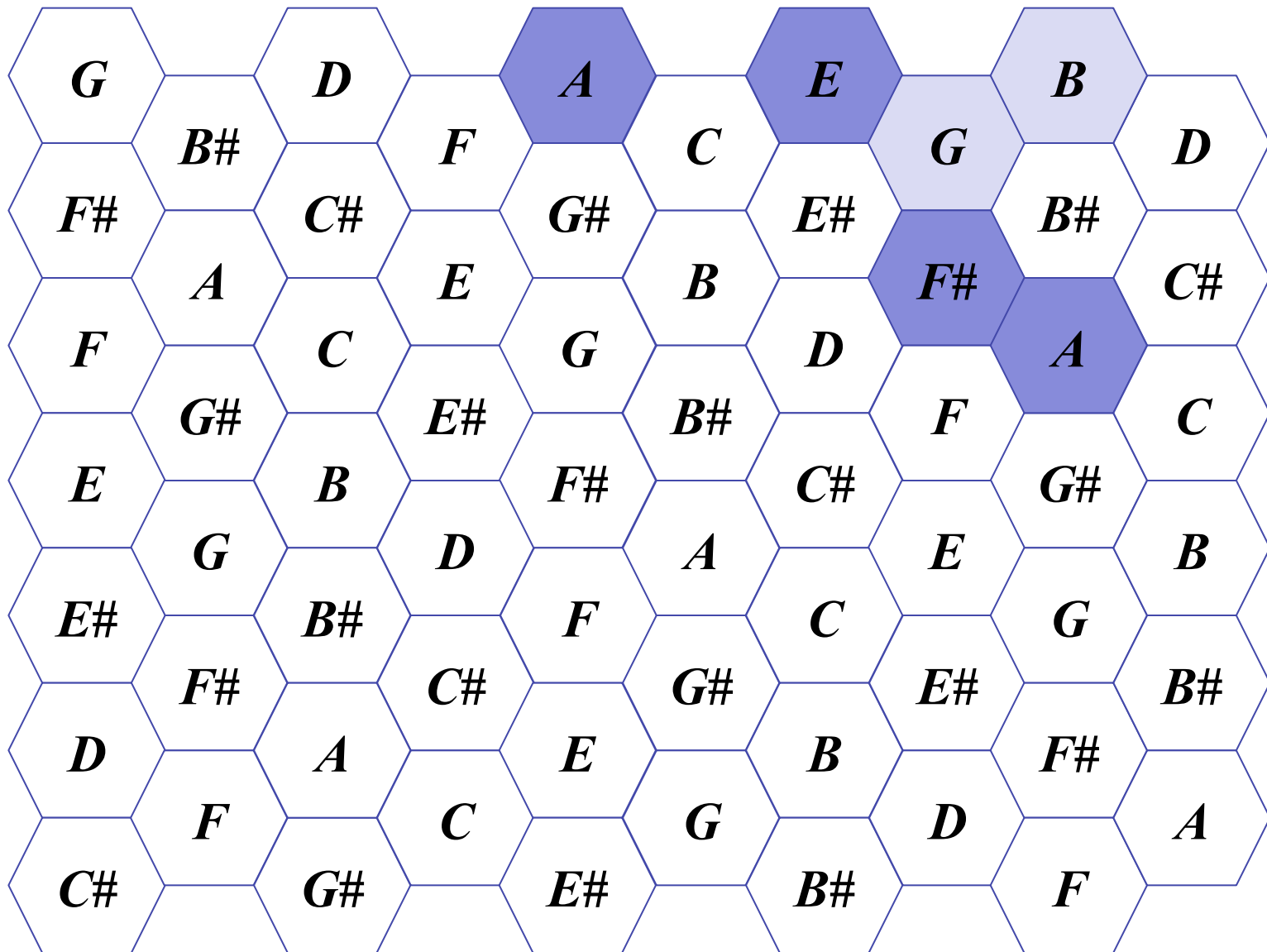
$I = \{m2, m3, M3\}$



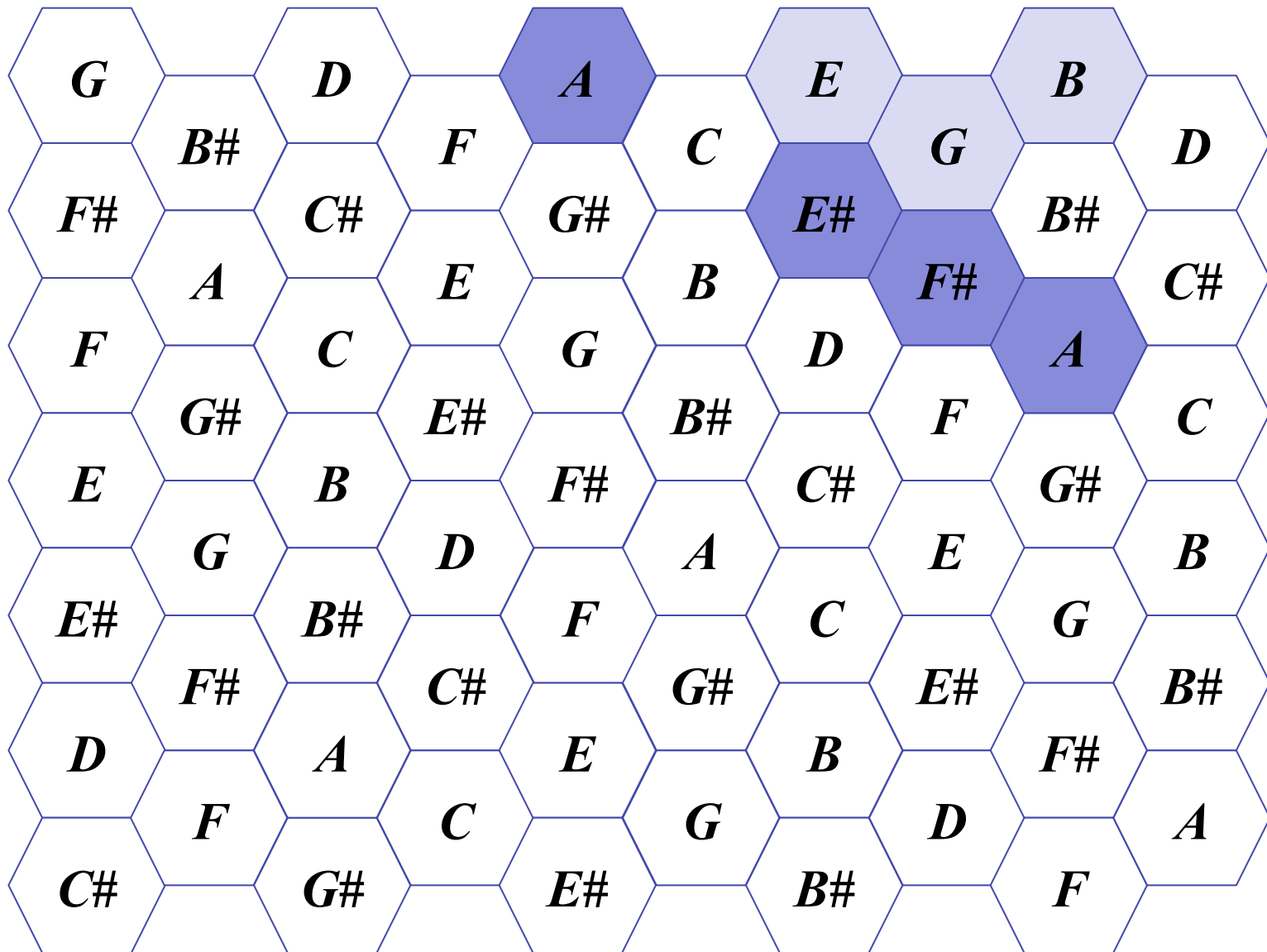
Extract of the Prelude Op.28 N.4 (F. Chopin)



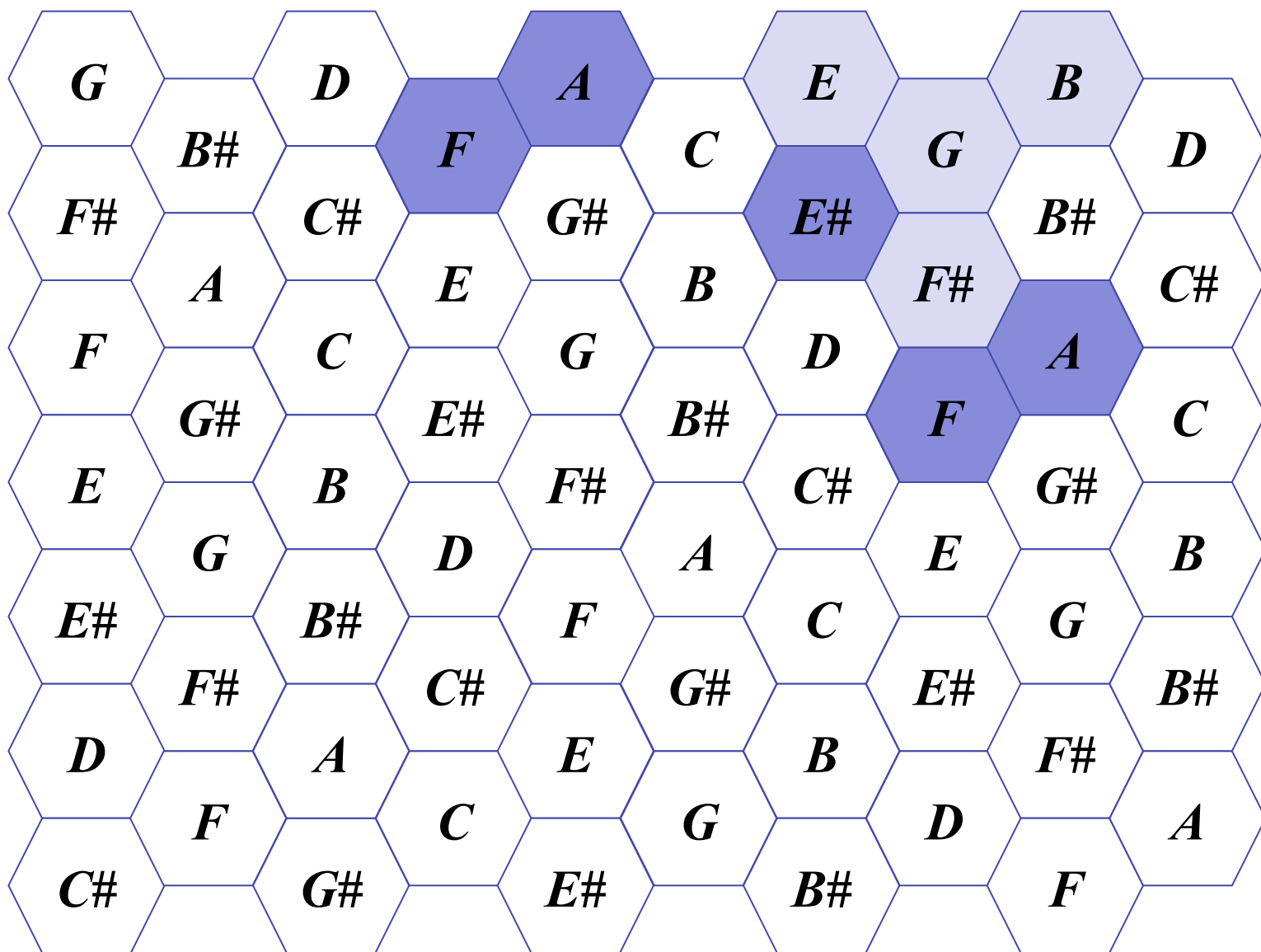
Extract of the Prelude Op.28 N.4 (F. Chopin)



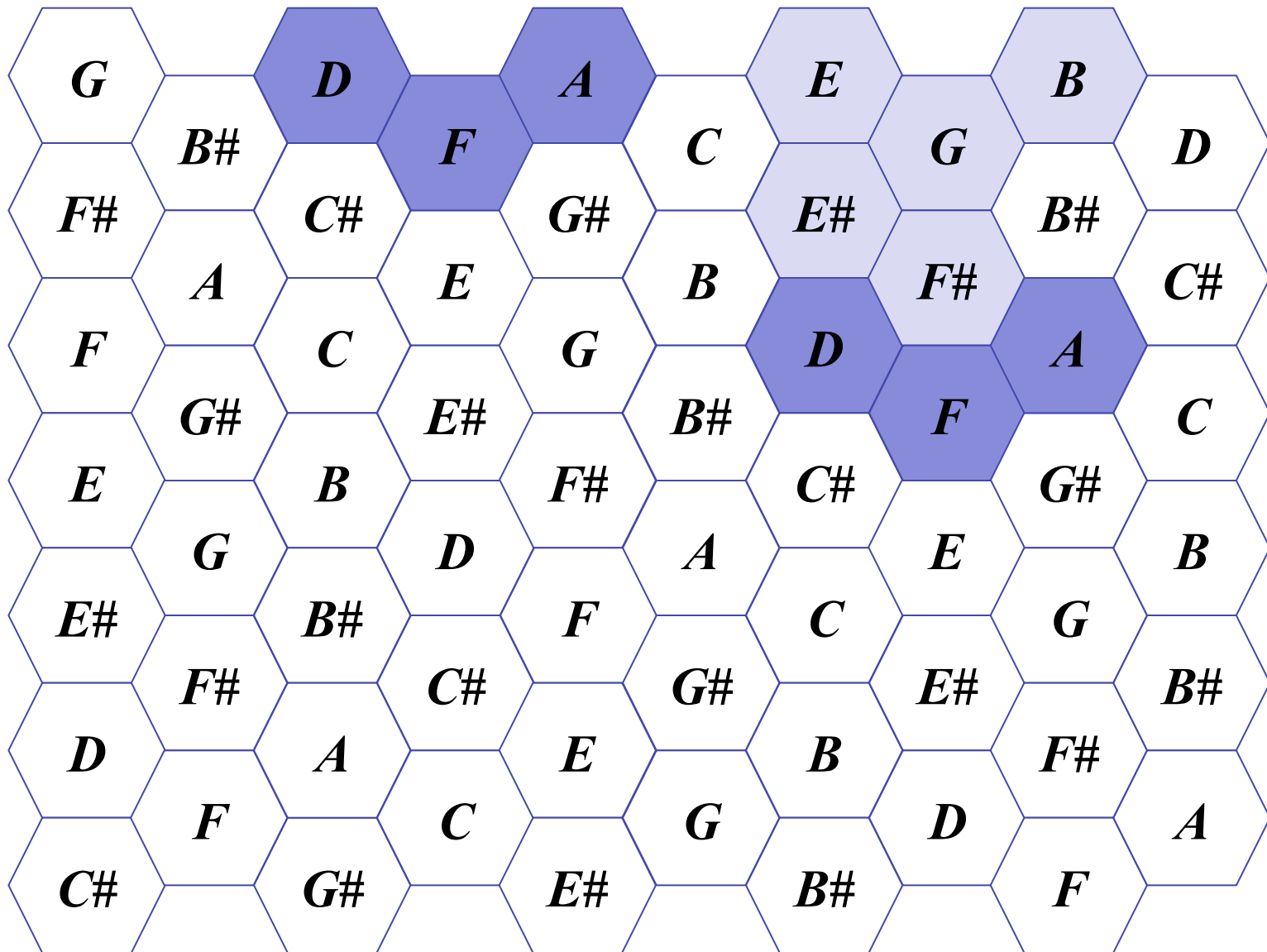
Extract of the Prelude Op.28 N.4 (F. Chopin)



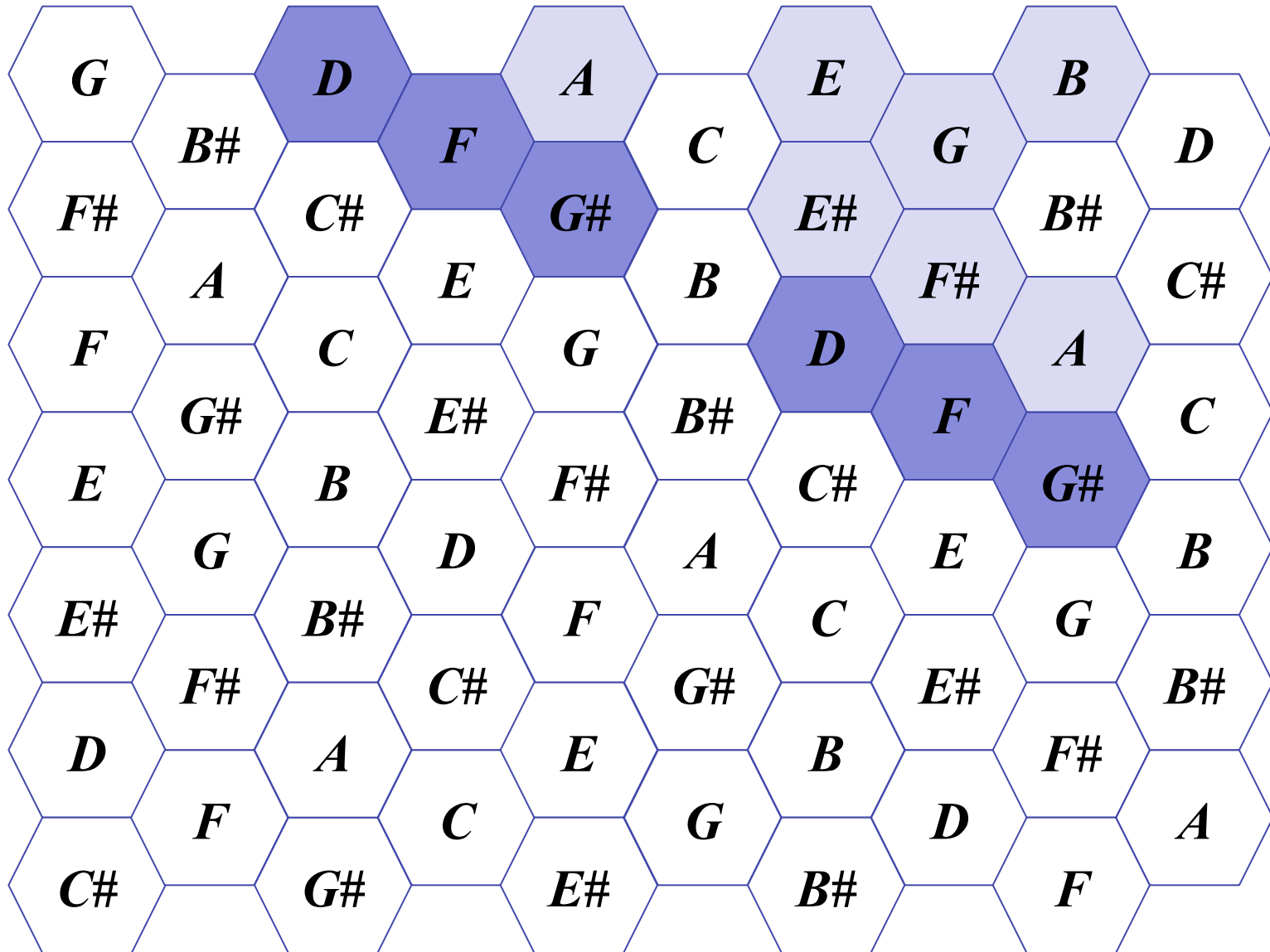
Extract of the Prelude Op.28 N.4 (F. Chopin)



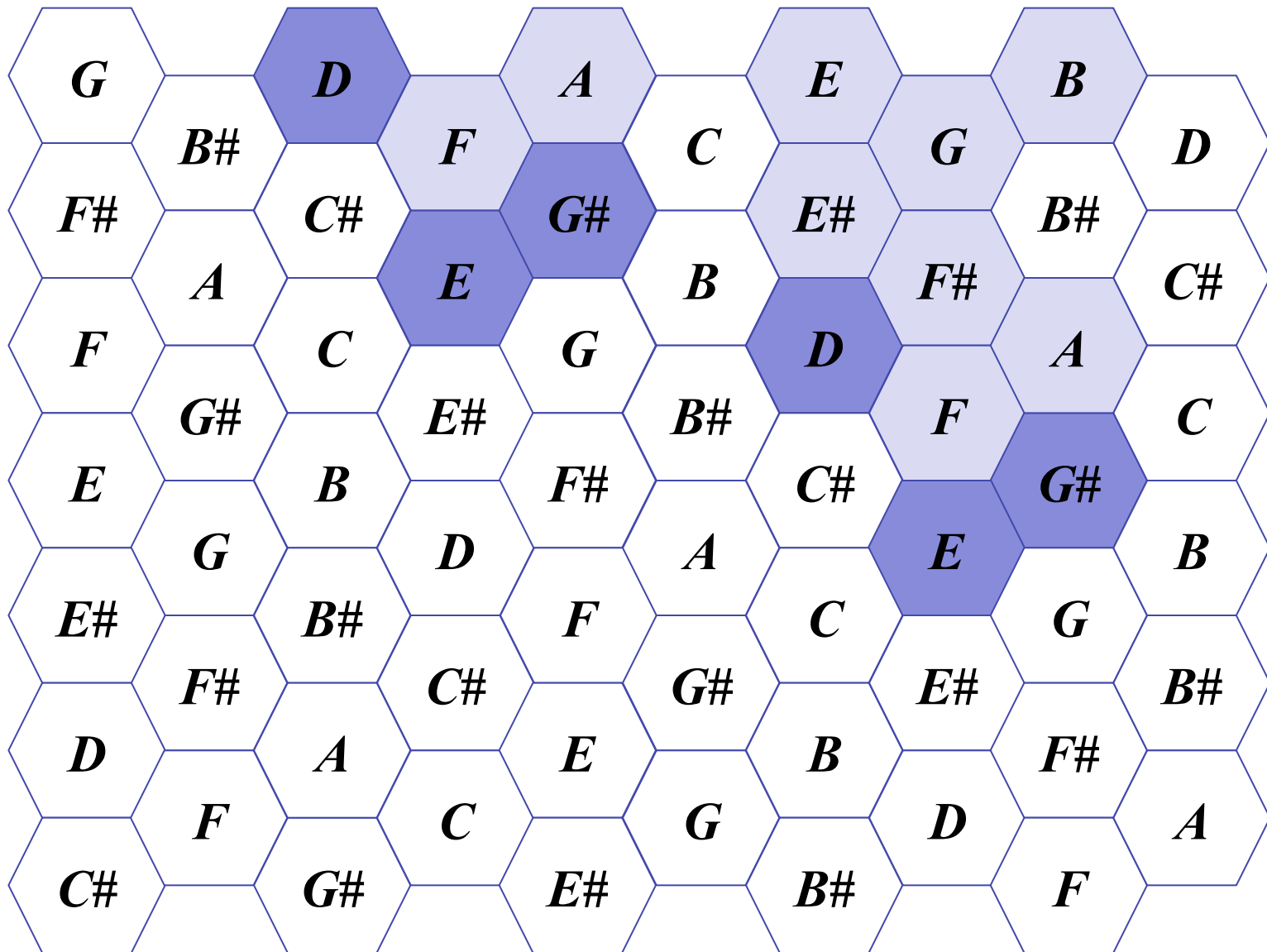
Extract of the Prelude Op.28 N.4 (F. Chopin)



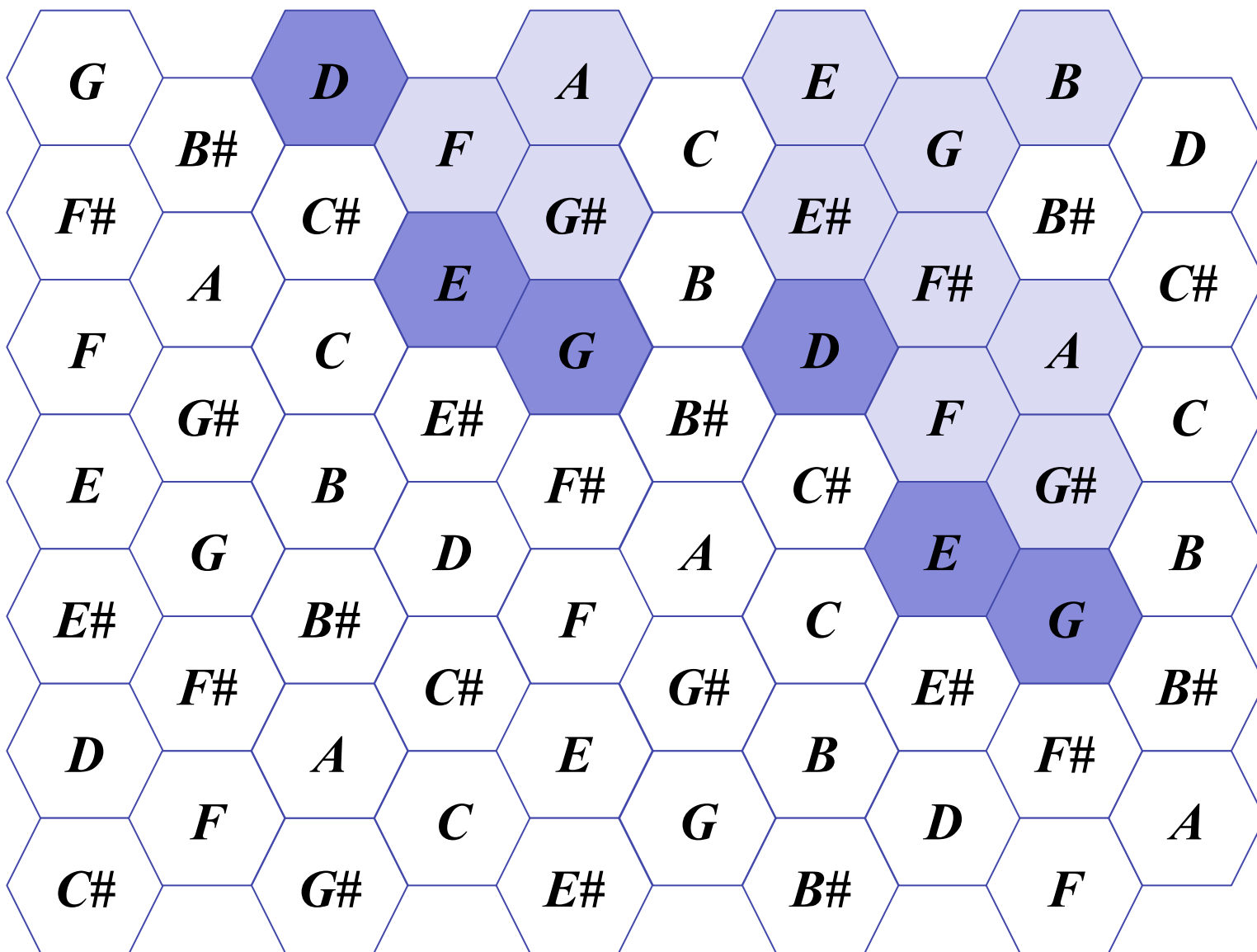
Extract of the Prelude Op.28 N.4 (F. Chopin)



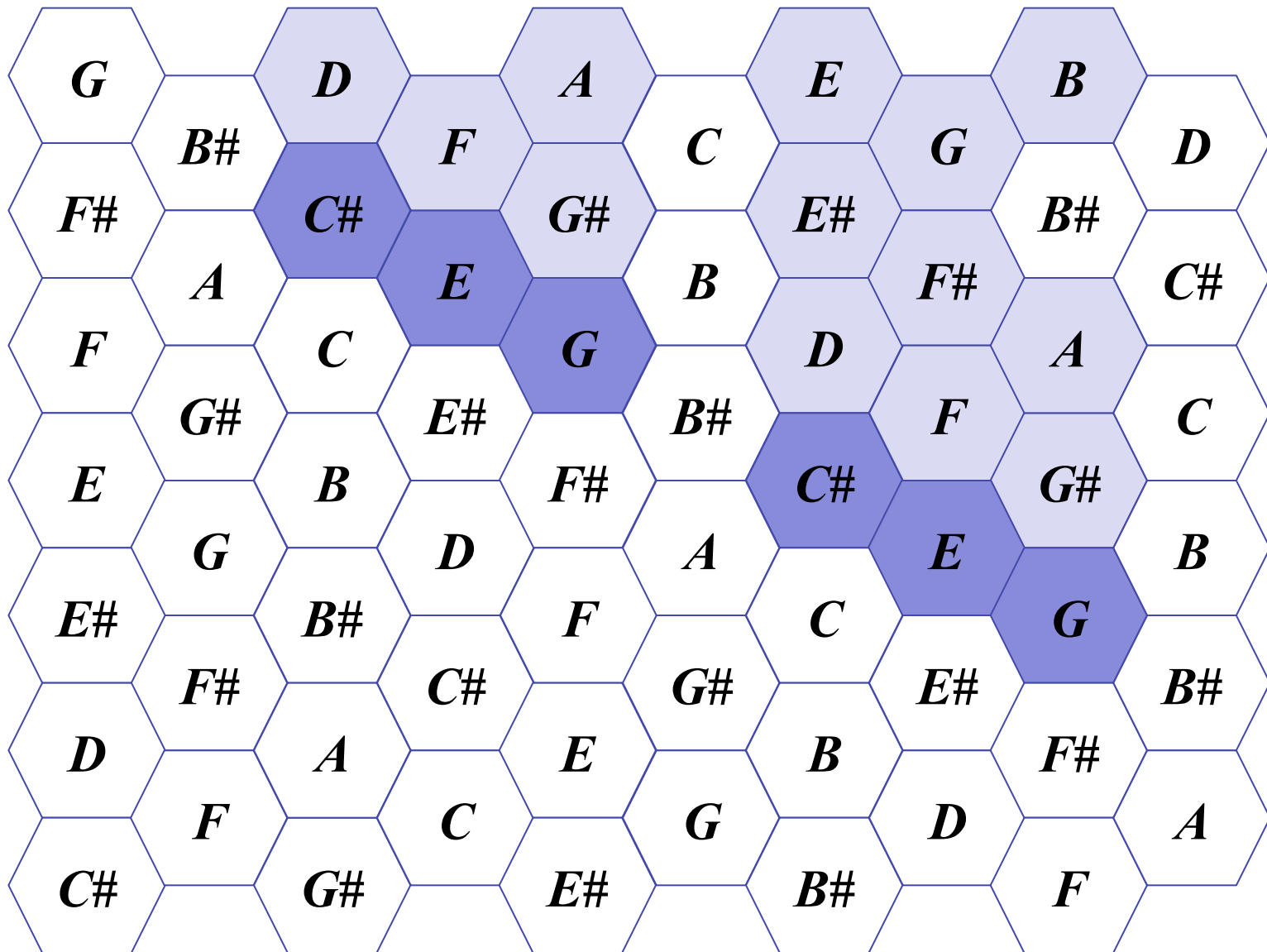
Extract of the Prelude Op.28 N.4 (F. Chopin)



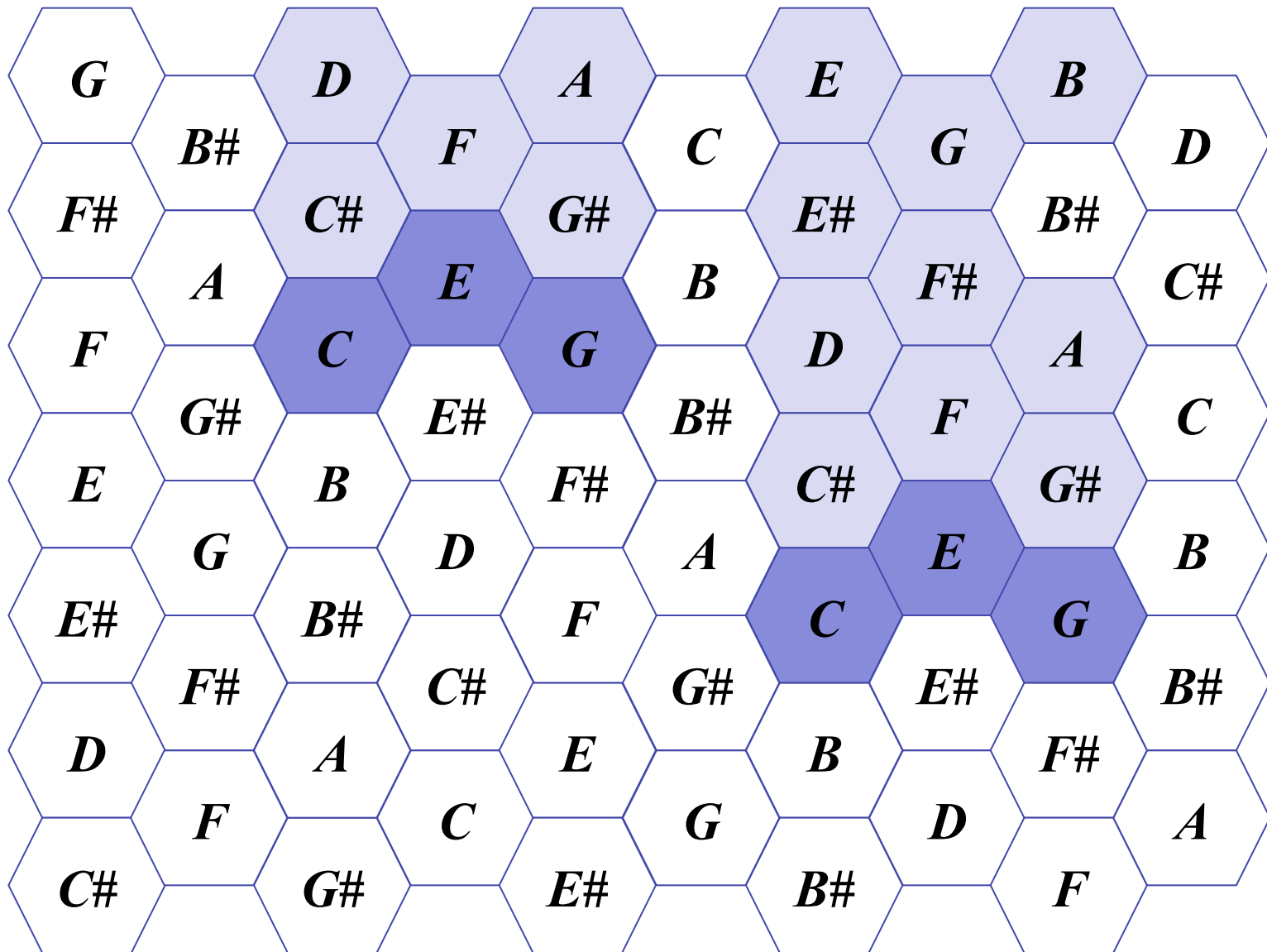
Extract of the Prelude Op.28 N.4 (F. Chopin)



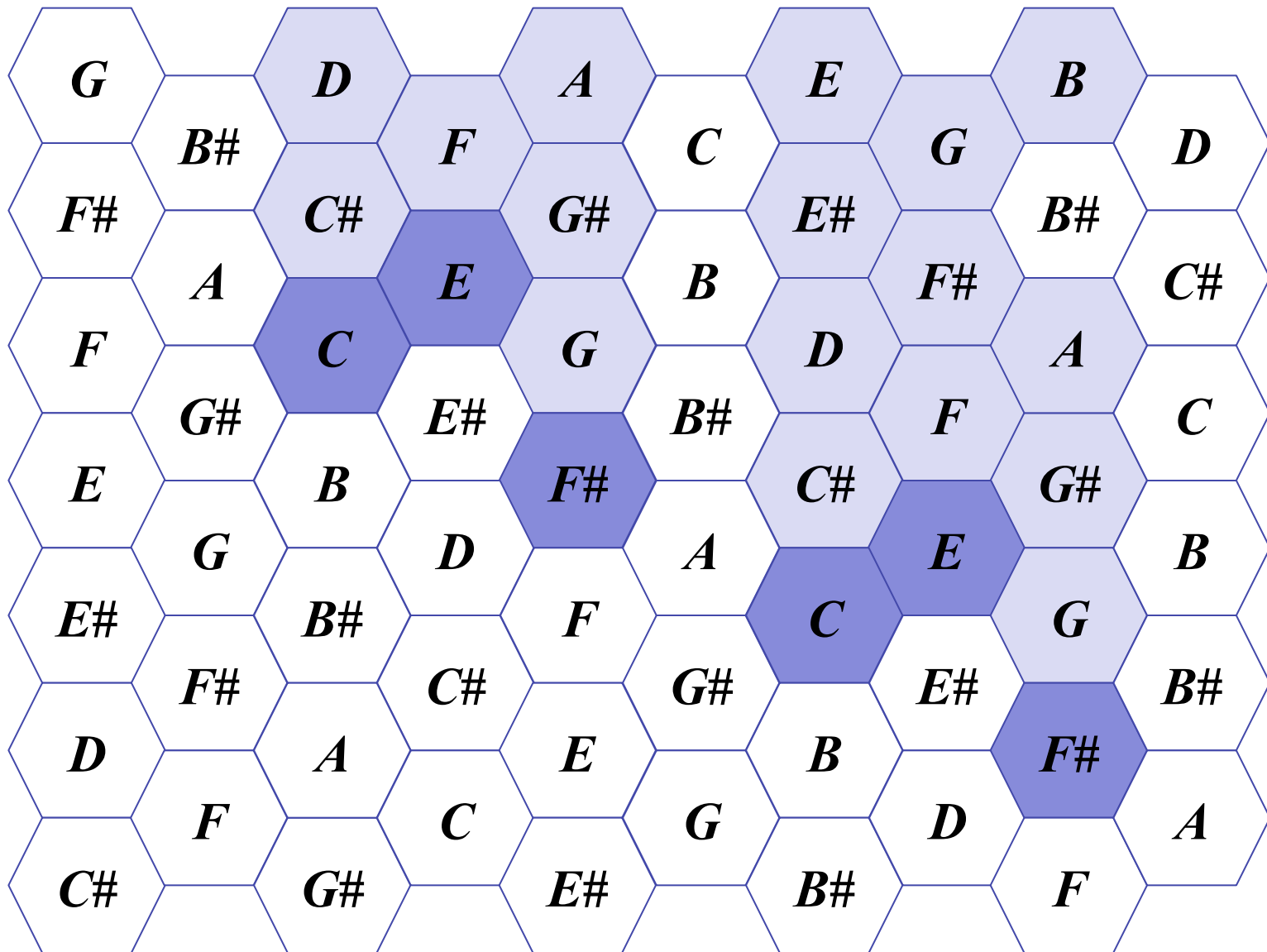
Extract of the Prelude Op.28 N.4 (F. Chopin)



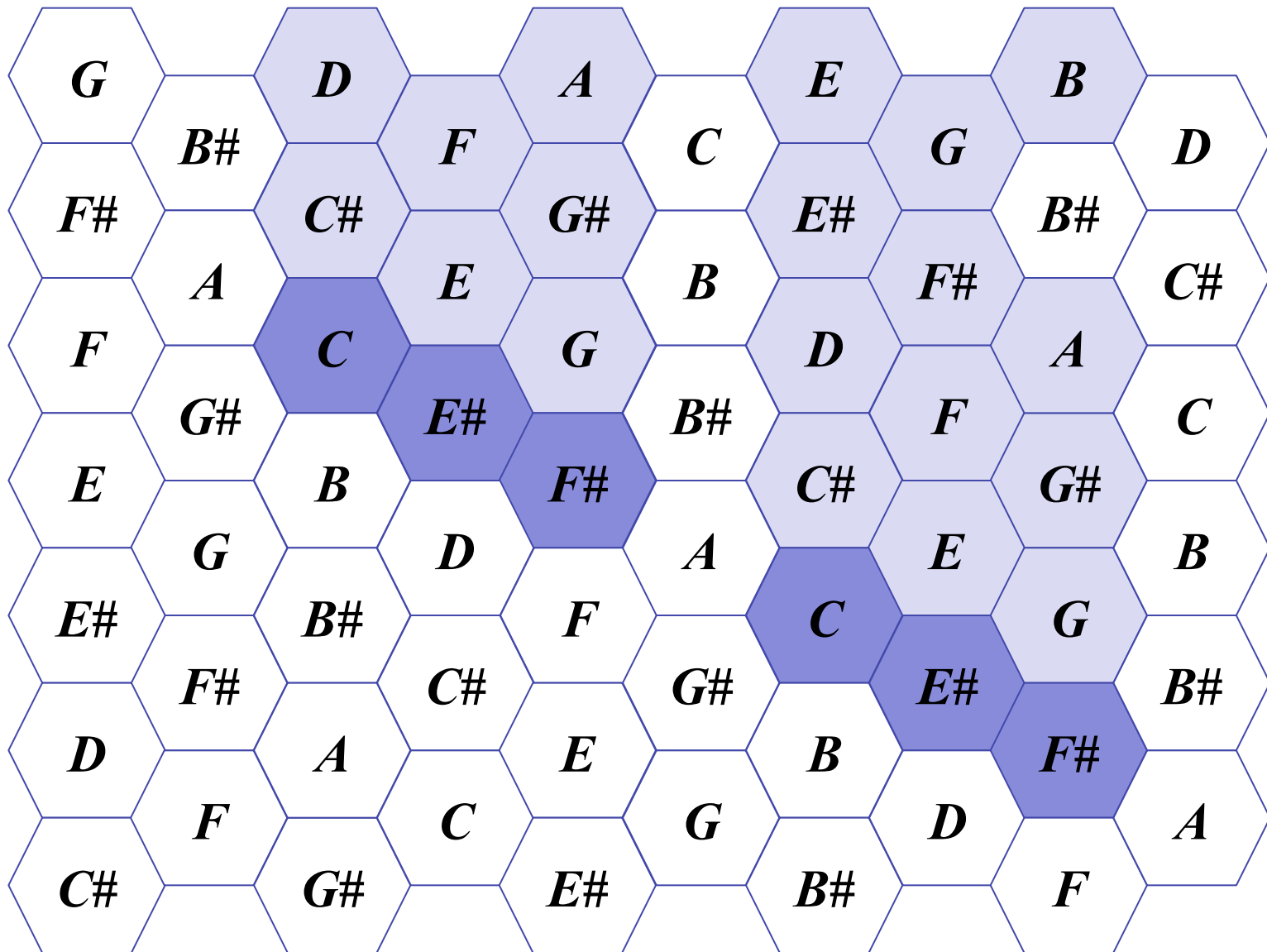
Extract of the Prelude Op.28 N.4 (F. Chopin)



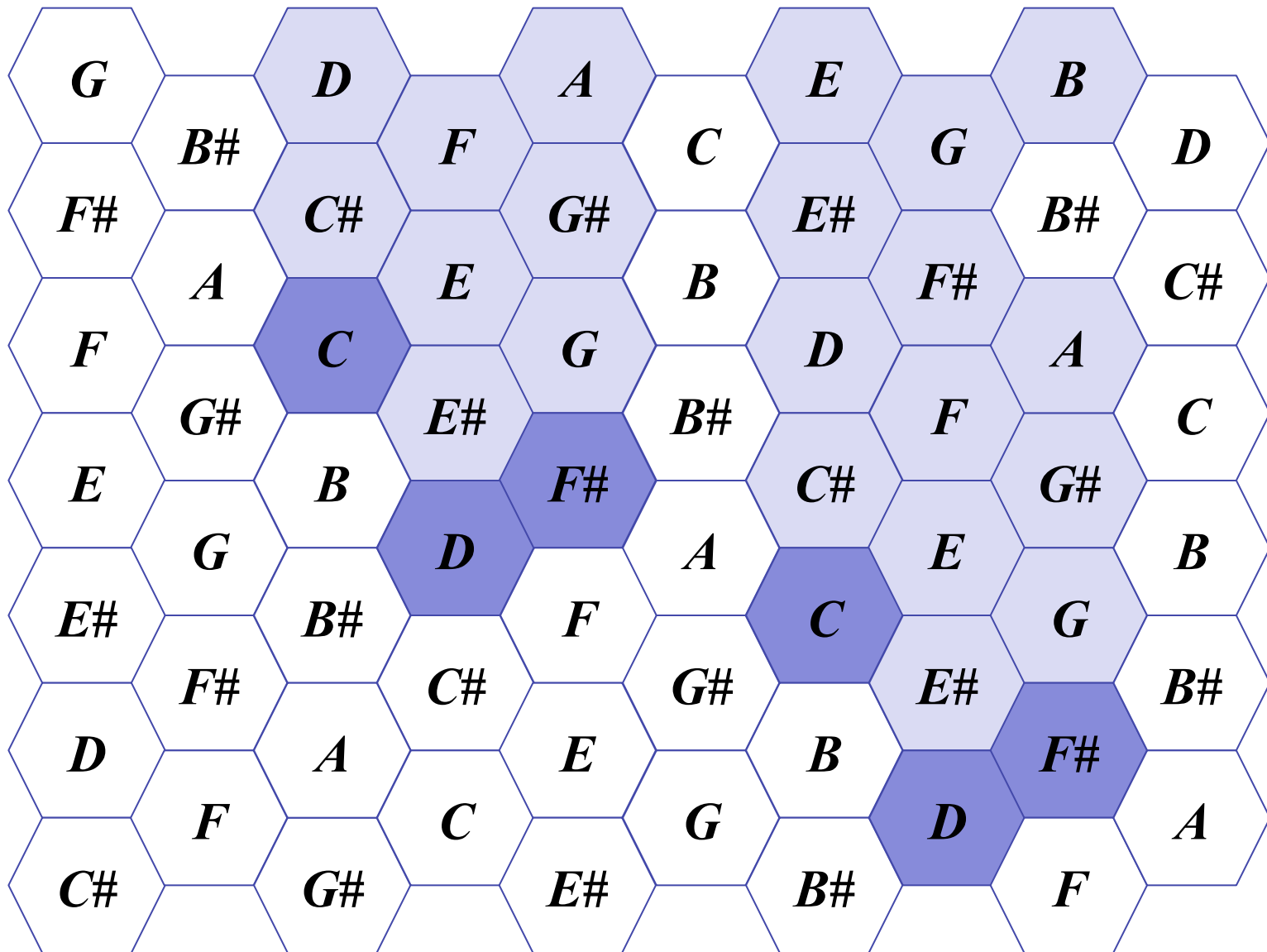
Extract of the Prelude Op.28 N.4 (F. Chopin)



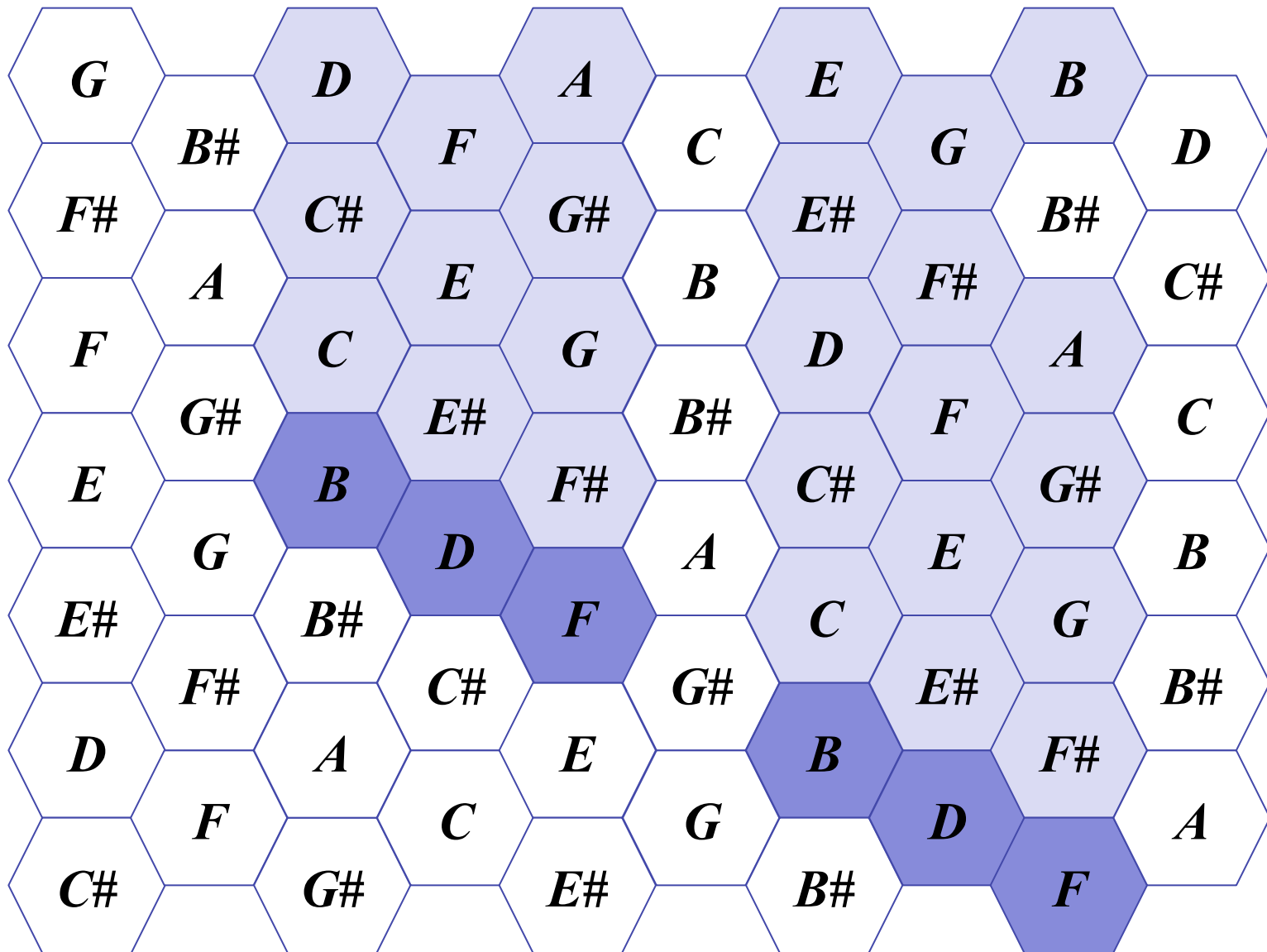
Extract of the Prelude Op.28 N.4 (F. Chopin)



Extract of the Prelude Op.28 N.4 (F. Chopin)

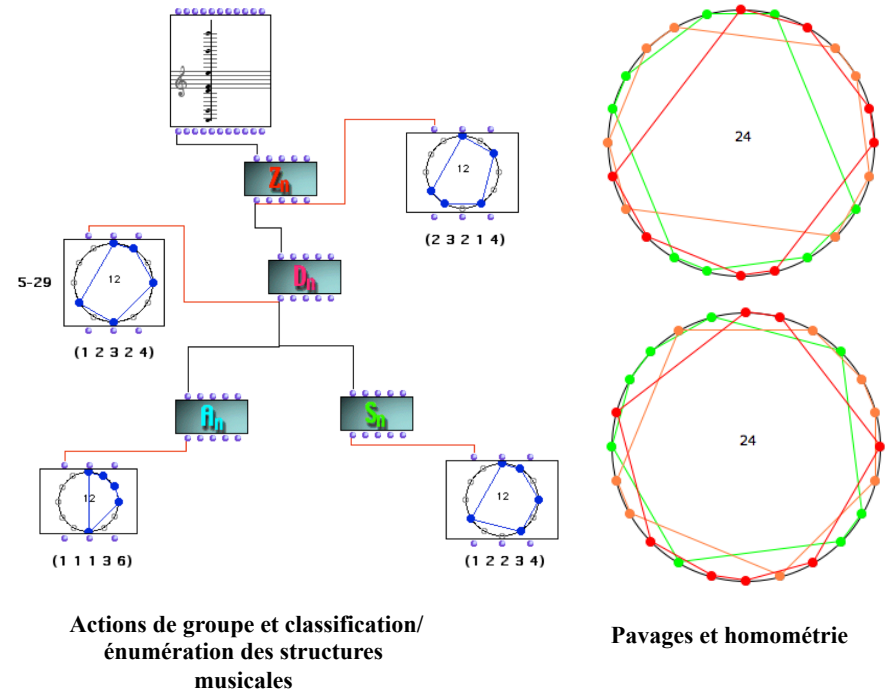
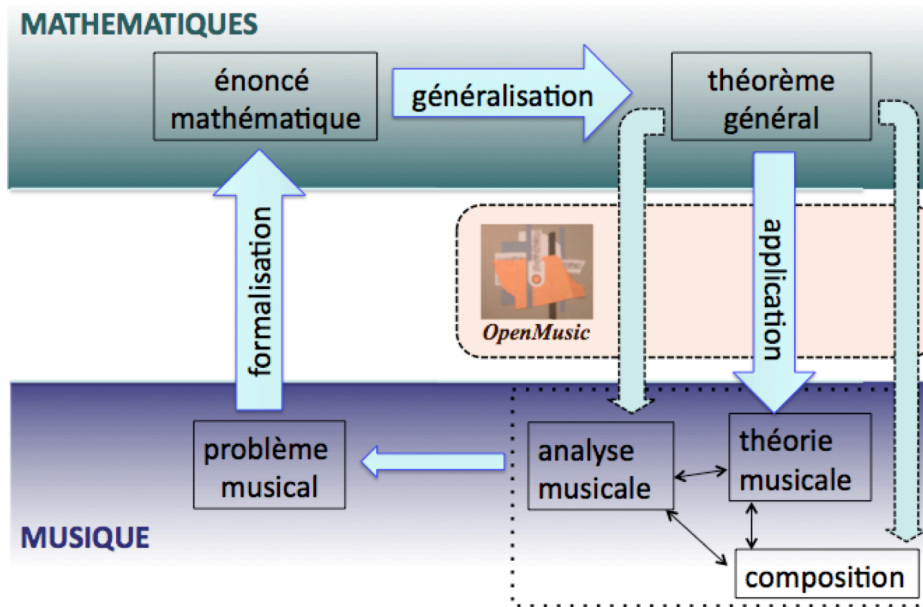


Extract of the Prelude Op.28 N.4 (F. Chopin)



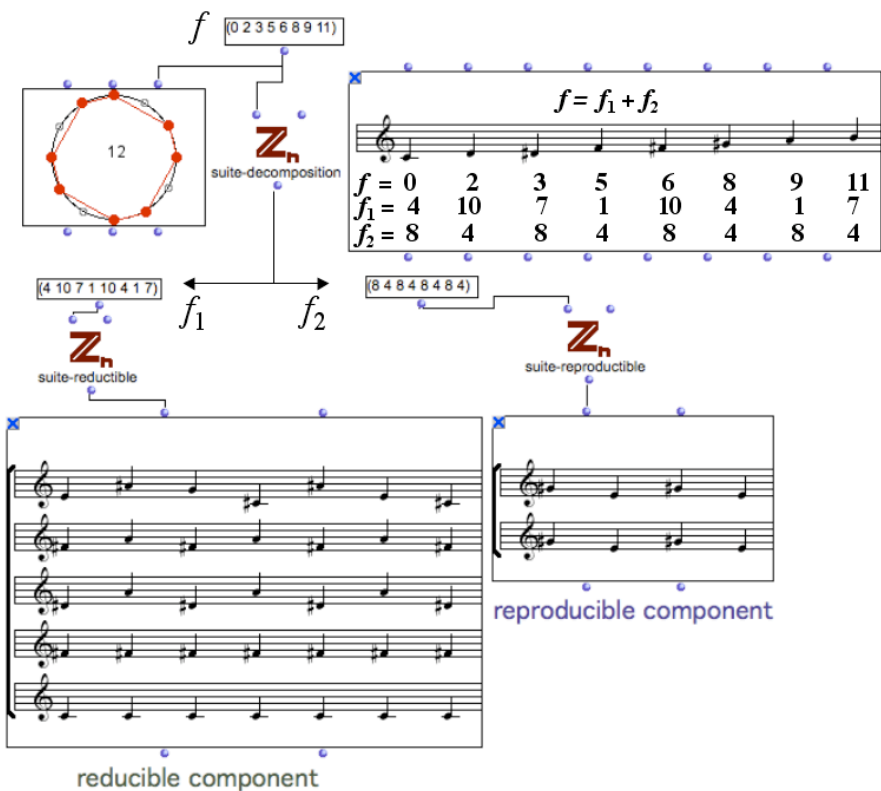


Quelques exemples de problèmes « mathématicaux »

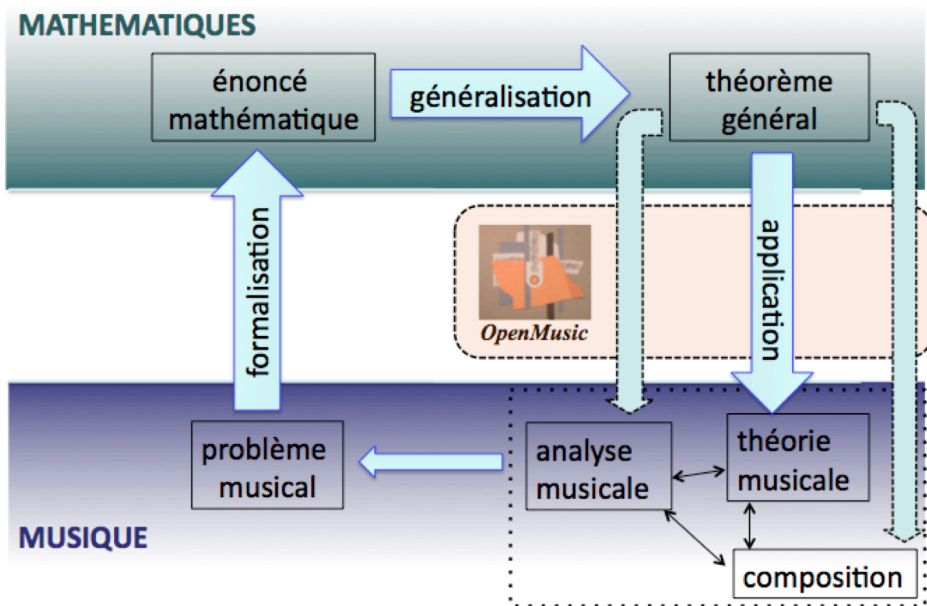


- *Set Theory* et théorie transformationnelle ;
- La construction des mosaïques et des pavages en musique ;
- La relation Z en musique, la DFT et l'homométrie ;
- La théorie des suites périodiques et le calcul des différences finies ;
- Les théories diatoniques et les ensembles maximalelement repartis ;
- La théorie des *block-designs* en composition algorithmique ;
- ...

Suites périodiques et calcul de différences finies



- Théorème de décomposition
- Lemme de Fitting



2001

$$Df(x) = f(x) - f(x-1).$$

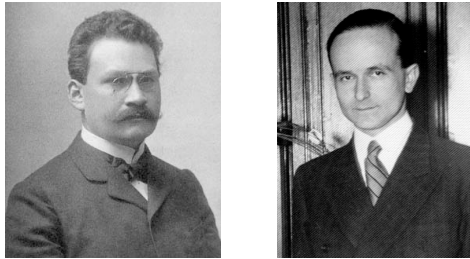
7 11 10 11 7 2 7 11 10 11 7 2 7 11...
 4 11 1 8 7 5 4 11 1 8 7 5 4 11...
 7 2 7 11 10 11 7 2 7 11 10 11...
 7 5 4 11 1 8 7 5 4 11 1 8...

V	0	3	8	7	11	0	11	10	6	9	0	9	1	2	9	8	4	3	6
VIII	0	0	0	0	3	3	7	2	0	0	6	3	3	3	3	4	8	0	0
IV	3	3	4	4	1	11	11	8	3	3	3	4	1	7	11	8	11	3	9
IX	0	0	0	0	0	3	6	8	3	3	3	9	9	0	3	6	[11]	6	6
IV	0	10	3	9	10	0	9	7	0	6	7	9	6	4	9	3	4	6	3

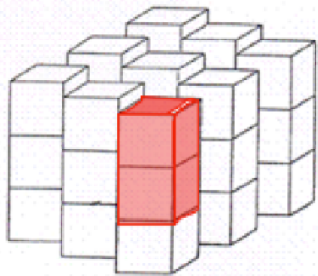
.....

Les canons mosaïques comme problème « mathémusical »

Le problème de Minkowski/Hajos



Dans un pavage simple [*simple lattice tiling*] d'un espace à n dimensions par des cubes unités, il y a au moins un couple de cubes qui ont en commun une face entière de



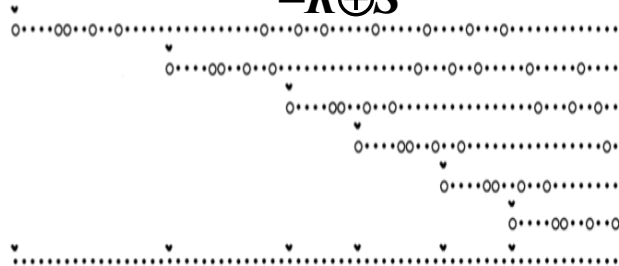
1907-1942

Les canons mosaïques de Vieru/Vuza



Un canon de Vuza est une factorisation d'un groupe cyclique en somme directe de deux sous-ensembles non-périodiques

$$\mathbb{Z}/n\mathbb{Z} = R \oplus S$$



1991

Lien entre Minkowski et Vuza (Andreatta, 1996)

Groupes de Hajós (*good groups*)

$\mathbb{Z}/n\mathbb{Z}$ avec $n \in \{p^\alpha, p^\alpha q, pqr, p^2q^2, p^2qr, pqrs\}$ où p, q, r, s , sont des nombres premiers distincts



Groupes non-Hajós (*bad groups*)

72
 108 120 144 168 180
 200 216 240 252 264 270 280 288
 300 312 324 336 360 378 392 396
 400 408 432 440 450 456 468 480
 500 504 520 528 540 552 560 576 588 594
 600 612 616 624 648 672 675 680 684 696
 700 702 720 728 744 750 756 760 784 792
 800 810 816 828 864 880 882 888...

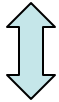


1996

Classification « paradigmatique » des canons mosaïques

Résultat : uniquement deux « types » de canons différents (à une transformation affine près, i.e.

$f: \mathbb{Z}_{72} \rightarrow \mathbb{Z}_{72}$ t.q.
 $f(x) = ax + b$ avec $a \in (\mathbb{Z}_{72})^*$
 et $b \in \mathbb{Z}_{72}$



• R. Tijdeman:
 “Decomposition of the Integers as a direct sum of two subsets”, *Number Theory*, Cambridge University Press, 1995.
 The fundamental Lemma: R pave $\mathbb{Z}_n \Rightarrow aR$ pave \mathbb{Z}_n
 $\langle a, n \rangle = 1$

$\{Z_n\}$
 R (1 3 3 6 11 4 9 6 5 1 3 20)
 (20 3 1 5 6 9 4 11 6 3 3 1)
 (1 4 1 19 4 1 6 6 7 4 13 6)
 (6 13 4 7 6 6 1 4 19 1 4 1)
 (1 5 15 4 5 6 6 3 4 17 3 3)
 (3 3 17 4 3 6 6 5 4 15 5 1)

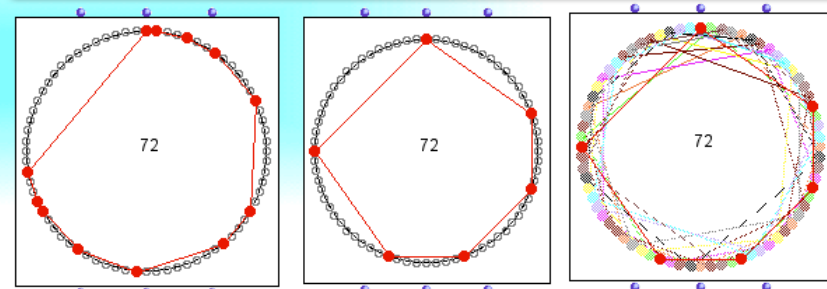
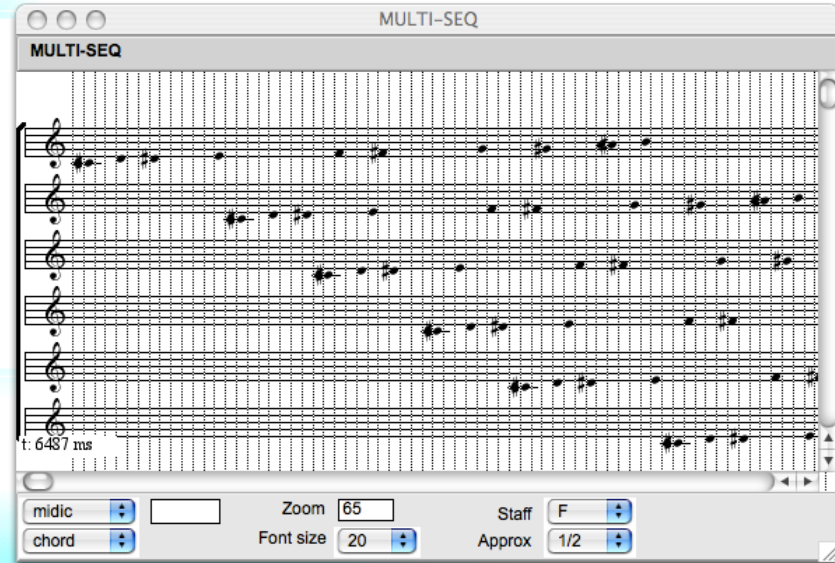
S (8 8 2 8 8 38)
 (16 2 14 2 16 22)
 (14 8 10 8 14 18)

$\{0_n\}$
 R (1 3 3 6 11 4 9 6 5 1 3 20)
 (1 4 1 19 4 1 6 6 7 4 13 6)
 (1 5 15 4 5 6 6 3 4 17 3 3)

S (8 8 2 8 8 38)
 (16 2 14 2 16 22)
 (14 8 10 8 14 18)

$\{Af_n\}$
 R (1 3 3 6 11 4 9 6 5 1 3 20)
 (1 4 1 19 4 1 6 6 7 4 13 6)

S (14 8 10 8 14 18)



$$\mathbb{Z}/72\mathbb{Z} = R \oplus S$$

Equivalence entre GIS et action de groupe

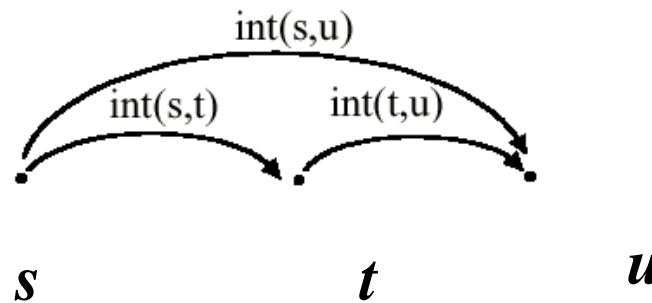
$$\text{GIS} = (S, G, \text{int})$$

S = ensemble

(G, \bullet) = groupe d'intervalles

int = fonction intervallique

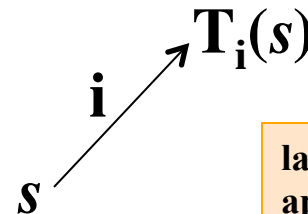
$$S \times S \xrightarrow{\text{int}} G$$



Action
simplement
transitive

1. Pour tout objets s, t, u dans S :
 $\text{int}(s,t) \bullet \text{int}(t,u) = \text{int}(s,u)$

2. Pour tout objet s dans S et tout intervalle i dans G il y a un seul objet t dans S tel que
 $\text{int}(s,t) = i$



la transposition T_i est une application $T_i : S \rightarrow S$ telle que
 $\text{int}(s, T_i(s)) = i$ pour tout élément s dans S

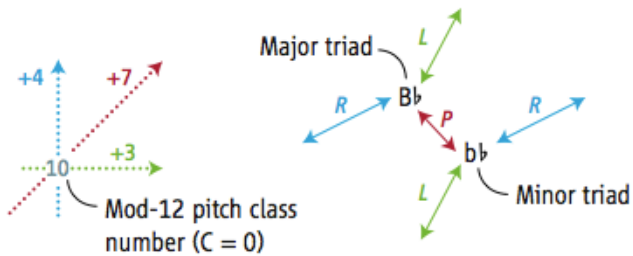
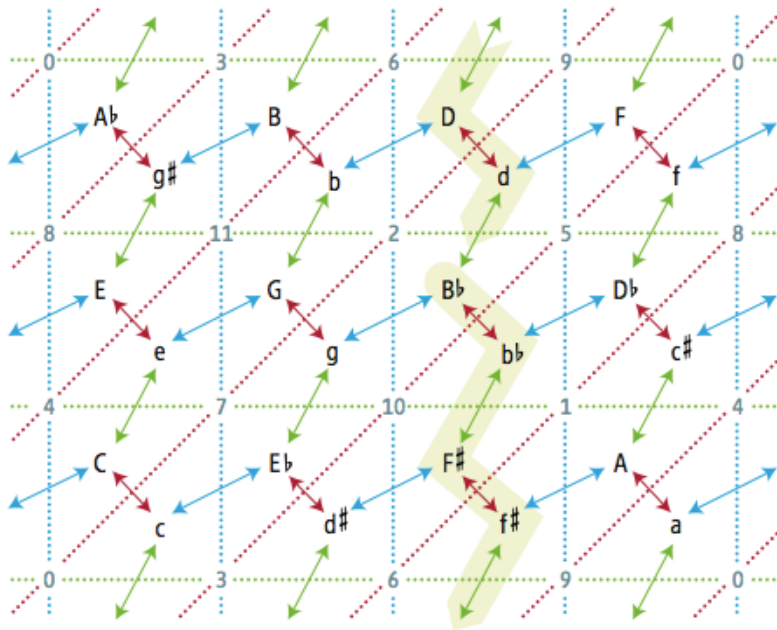
Soit $\tau = \{T_i ; i \in G\}$ le groupe des transpositions

$$\text{GIS} = (S, G, \text{int}) \Leftrightarrow \tau \times S \rightarrow S \text{ telle que } (T_i, s) \rightarrow T_i(s)$$

Terminologies équivalentes :

- Un GIS est un G -torseur à gauche
- S est un ensemble principal homogène [Bourbaki]

Le Tonnetz en tant que GIS



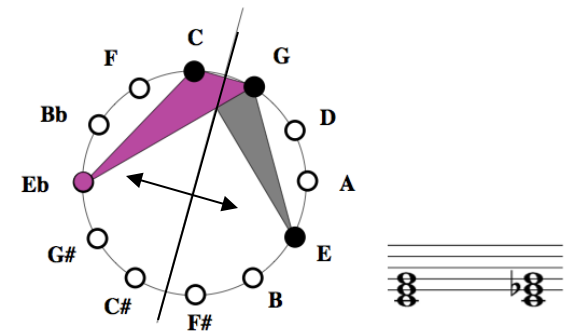
$$\rho = \langle L, R \mid L^2 = (LR)^{12} = 1 ; LRL = L(LR)^{-1} \rangle$$

• ρ opère de façon simplement transitive sur l'ensemble S des 24 triades consonantes

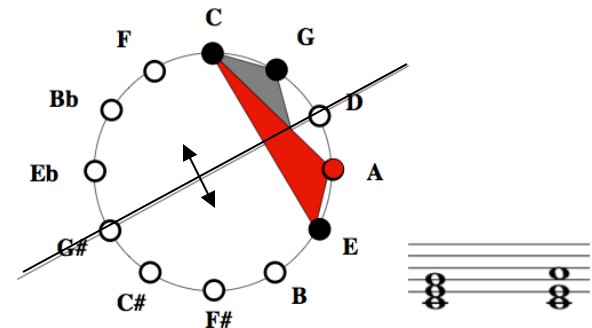
$\Rightarrow (S, \rho, \text{int})$ est un GIS

(Neo-)Riemannian Operation P = „Parallel“

[Noll04]



(Neo-)Riemannian Operation R = „Relative“



(Neo-)Riemannian Operation L = „Leading-Tone“

